

Deutsche Medizinische Wochenschrift

Anschrift für Schriftleitung und Georg Thieme Verlag: 7000 Stuttgart 30, Rüdigerstraße 14

Schriftleitung:

Prof. Dr. P. C. Scriba Lübeck

Prof. Dr. W. Siegenthaler Zürich

Prof. Dr. A. Sturm Herne/Bochum

Prof. Dr. F. Kümmerle Mainz

Dr. R. H. Rosie Stuttgart

Dr. W. Kuhn Stuttgart

Inhaltsverzeichnis für den 109. Jahrgang

1. Halbjahr 1984 Hefte 1–26



Georg Thieme Verlag Stuttgart · New York

Diejenigen Bezeichnungen, die zugleich eingetragene Warenzeichen sind, wurden *nicht* besonders kenntlich gemacht. Es kann also aus der Bezeichnung einer Ware mit dem für diese eingetragenen Warenzeichen nicht geschlossen werden, daß die Bezeichnung ein freier Warenname ist. Ebenso wenig ist zu entnehmen, ob Patente oder Gebrauchsmuster vorliegen.

Alle Rechte, insbesondere das Recht der Vervielfältigung und Verbreitung sowie der Übersetzung, vorbehalten. Kein Teil des Werkes darf in irgendeiner Form (durch Photokopie, Mikrofilm oder ein anderes Verfahren) ohne schriftliche Genehmigung des Verlages reproduziert oder unter Verwendung elektronischer Systeme verarbeitet, vervielfältigt oder verbreitet werden.

Some of the product names, patents and registered designs referred to are in fact registered trademarks or proprietary names even though specific reference to this fact is not always made in the text. Therefore, the appearance of a name without designation as proprietary is not to be construed as a representation by the publisher that it is in the public domain.

All rights, including the rights of publication, distribution and sales, as well as the right to translation, are reserved. No part of this work covered by the copyrights hereon may be reproduced or copied in any form or by any means – graphic, electronic or mechanical including photocopying, recording, taping, or information and retrieval systems – without written permission of the publisher.

Sachverzeichnis¹

A

- Abszeß, subhepatischer und subphrenischer 732
- Achalasie, cricopharyngeale, nach Schlaganfall 792
- Acrodermatitis chronica atrophicans, Spirochäteninfektion 3, 6
- Adenokarzinom, metastasierendes, bei unbekanntem Primärtumor 15
- Aderlaß bei Hyperlipidämie? 235
- Adipositas, Gewichtsreduktion durch Hyperthyreosis factitia? 156
- Adriamycin bei metastasiertem Magenkarzinom 976
- , Myokardinfarkt als Nebenwirkung 684
- Aerobic, kritische Analyse 31
- Ärzte, erhöhtes Hepatitis-B-Risiko 10
- Ätiocholanolinfieber 355, 589
- Ahornsirupkrankheit mit intermittierenden neurologischen Symptomen 520
- AIDS 160
- bei Kindern 558
- , gastrointestinale Symptome 237
- in Afrika 769
- – Haiti 319
- und Bluttransfusion 399
- und Transfusion von anti-HBc-haltigem Blut 766
- Akupunktur, Ohr-, Auslösung bakterieller Endokarditis 320
- Alkalose, gastrische hypokaliämische, Diagnostik 183
- , –, Therapie 186
- Alkohol, Blutdrucksteigerung bei Hypertonie 888
- , Provokation von Herzrhythmusstörungen 595
- und Straßenverkehr 240
- Alkoholismus bei Ärzten in den USA 930
- , erhöhte intestinale Permeabilität 599
- , Leberschädigung 318
- , psychiatrische Störungen bei Leberschäden 519
- Allergie, Nahrungsmittel-, Sellerie-Beifuß-Gewürz-Syndrom 981
- , Nickel- 201
- , Pankreatin-, durch α -Amylase und Trypsin 257
- , Zahnpasta 300
- Alter, Betreuung Sterbender 808
- , Malabsorption 558
- , Operationsindikation von Bauchaortenaneurismen 1032
- , postprandialer Blutdruckabfall 359
- , subklinische Osteomalazie 729
- Aluminium-Magnesium-Hydroxid-Gel, Einfluß auf Digtotoxin 59
- Amenorrhoe, hypothalamische, pulsatile Gn-RH-Therapie 462
- Amiodaron, Lungeninfiltrationen als Nebenwirkung 499
- , Serumspiegelkontrolle bei antiarrhythmischer Therapie 492
- Amöbiasis 931
- α -Amylase, allergenwirksame Komponente von inhaliertem Pankreatin 257
- Amylnitrit-Inhalation, Indikation 925
- Anämie, aplastische, durch chlorierte Kohlenwasserstoffe? 840
- , hämolytische, bei M. Wilson 440
- , sideroachrestische, bei M. Crohn 1023
- Anästhesisten, Medikamentenmißbrauch 599
- Analgetika, Auslösung von Dauerkopfschmerz 369
- Anaphylaxie, Dextran-, Prophylaxe mit Haptendextran 36
- Aneurysma der Bauchaorta, operative Therapie 639
- –, Operationsindikation im Alter 1032
- Angina pectoris, Koronargefäßdilatation mit steuerbaren Ballonkathetern 651
- Angina pectoris instabile, als Zeichen progredienter Koronarsklerose 39
- –, Prognose bei Nikotinabusus 278
- –, Prognose nach koronarem Bypass 199
- –, Wirkung von Nifedipin und Nitroglycerin auf epikardiale Leitungsgefäße 656
- Angiographie bei Nierenkrankheiten 870
- in der Endokrinologie 875
- Angiomyolipom der Niere 77
- Anorexia nervosa 824
- –, hypoglykämisches Koma nach Glucose-Infusion 849
- – in der Pubertät 318
- Antacidum, niedrig dosiertes, bei Ulcus duodeni 517
- Antibiotika, Auslösung von Hämostasestörungen 388
- , Therapie in Praxis und Ambulatorium 834
- , Urinkontrolle auf antibakterielle Aktivität 488
- Antigen, carcinoembryonales, Beurteilung in der Tumornachsorge 276
- Antikoagulantien, orale, Beeinflussung durch Antibiotika 388
- Antikonception bei systemischem Lupus erythematoses 395
- und Geburtenintervalle 929
- Aorta abdominalis, Aneurysma, operative Therapie 553, 639
- –, Operationsindikation im Alter 1032
- Apoplexie, progrediente, postoperative Langzeitprognose 295
- und cricopharyngeale Achalasie 792
- Arbeitsfähigkeit nach aorto-femoraler Bypass-Operation 616
- Arteria carotis interna, Doppler-Frequenzspektrum-Analyse bei Stenosen 947
- Arterienpunktion zur Blutgasanalyse 763
- Arthritis, periphere, bei M. Bechterew 641
- Arthrographie des Kiefergelenks 930
- Arthrose, generalisierte, nach Gelenktrauma 119
- Arzneimittel, Prüfung, wahrscheinlichkeitsstatistische Auswertung klinischer Studien 77
- , Spiegelbestimmung zur Therapiesicherheit 973
- Arztkonsultation, Häufigkeit nach Patientenaufklärung 439
- Arztrecht, Anerkennung einer Tätigkeit als Weiterbildung unter einem nicht weiterbildungsermächtigten Chefarzt 760
- , Anfängeroperationen als ärztlicher Behandlungsfehler 635
- , Bekanntgabe der Namen der behandelnden Ärzte durch das Krankenhaus 314
- , Beschlagnahme von Krankenunterlagen verstorbener Patienten 882
- , Einsichtnahme des Patienten in Arztbriefe und Gutachten 274
- , –, in Krankenunterlagen Verstorbener 191
- , Epileptische Anfälle und Kraftfahrtauglichkeit 922
- , Grenzen der ärztlichen Aufklärungspflicht im westeuropäischen Vergleich 153
- , Verabreichung von Injektionen durch nichtärztliche Mitarbeiter 231
- , Verzicht des Arztes auf Dokumentation auf Verlangen des Patienten? 1044
- Asbest, Mesotheliom-Ursache 363
- Ascaris lumbricoides 362
- Asthma bronchiale, Anerkennung als Berufskrankheit 1005
- –, corticosteroid-induzierte Frakturen 238
- –, Kontraindikation β -blockerhaltiger Augentropfen 395
- –, medikamentöse Langzeittherapie 392
- –, Röntgenuntersuchung beim ersten Anfall? 39
- –, Therapie in der Schwangerschaft 753

¹ Die fettgedruckten Zahlen bedeuten Originalarbeiten, die Kursivzahlen Mediquiz.

- Asthma bronchiale, Verwechslungsmöglichkeit mit pulmonaler Hypertonie 849
- Azites 42
- , Therapie durch peritoneovenösen Shunt 957
- Ataxie, spinale, bei systemischem Lupus erythematoses 1028
- Atemnotsyndrom, akutes, bei Erwachsenen, Therapie 868
- , →, →, auf internistischer Intensivstation 563
- , →, →, Auslösung durch Pankreatitis 454
- , →, →, bei Mykoplasma-Infektion der Lunge, Hämodialysebehandlung 847
- Atemwegserkrankungen durch Pankreatin-Inhalation 257
- , obstruktive, medikamentöse Langzeittherapie 392
- Atomwaffenversuche und Krebshäufigkeit 479
- Ausbildung, klinische, in Großbritannien 472
- B**
- Bacillus Calmette-Guérin bei nicht-kleinzelligem operiertem Bronchialkarzinom 935
- Bacillus-subtilis-Hemmtest zur Medikationskontrolle bei Antibiotikatherapie 488
- Bakterien im Stuhl 243
- Bandscheibenvorfall, lumbaler, Chemonukleolyse 68
- , →, Computertomographie 796
- Bauchmuskellähmung nach intraglutäaler Injektion? 968
- Bauchschmerzen bei Kindern 809
- Beckenkammnadelbiopsie, Diagnostik von Knochen- und Knochenmarkkrankungen 954
- Befruchtung, extrakorporale 480, 547, 600
- Behandlungsverweigerung durch Patienten 439
- Beinschmerzen durch Wirbelsäulenerkrankungen 559
- Benzodiazepin-Antagonist Ro 15-1788 bei Diazepam-Intoxikation 340
- Bewusstlosigkeit, plötzliche, Ursachen und Prognose 238
- Bezafibrat, Auslösung von Rhabdomyolyse bei eingeschränkter Nierenfunktion 157
- Bezoar mit echter und vorge-täuschter Komplikation 426
- Bilharziose, Urogenital-, in Deutschland 136
- Bilirubin, direkt reagierendes, neuentdeckte Fraktion 283
- , Serum-, Fraktionierung 576, 1048
- Bland-White-Garland-Syndrom 2
- Blei, Exposition in Wohnhäusern 848
- , knochengebundenes, in tierischen Nahrungsmitteln 476
- Bleivergiftung, chronische, und Hypertonie 199
- am Schießstand 240
- durch Bleischnurperlen 120
- , Hepatitis 195, 1007
- Block, atrioventrikulärer, Mobitz-Typ I 322
- Blutdruck, Anstieg bei Arztbesuch 848
- , postprandialer Abfall bei alten Menschen 359
- Blutgasanalyse, Arterienpunktion 763
- Bluterinnung, Beeinflussung durch Antibiotika 388
- , → niedermolekulares Heparin 951
- Blutplättchen, Bedeutung bei Mikrozirkulationsstörungen 306
- Blutspende bei Hyperlipidämie? 235
- Bluttransfusion und AIDS 399
- , Verdünnung und Erwärmung von Erythrozytenkonzentraten 236, 478
- von anti-HBc-Trägern und AIDS 766
- Blutung, gastroduodenale, Polidocanol-Injektion 813
- , intrakranielle, Beziehung zwischen Kammerarrhythmie und QT-Intervall 817
- Blutzucker, borsäure-impregniertes Filterpapier zur Probengewinnung 783
- Bronchialkarzinom, kleinzelliges, Diagnostik 910
- , →, Therapie 913
- , →, mit Myokardmetastasen 972
- und nephrotisches Syndrom 437
- , nicht-kleinzelliges operiertes, lokale Immunstimulation 935
- Bronchitis, chronisch obstruktive, medikamentöse Langzeittherapie 392
- Brown-Séquard-Syndrom bei systemischem Lupus erythematoses 1028
- Brucellose in der Westeifel 1048
- , lumbale Spondylitis 436
- Brustschmerzen bei Infektionen des Sternoklavikulargelenks 440
- BT-PABA-Test im Urin und Serum bei chronischer Pankreatitis 718
- Bypass, aorto-femoraler, Arbeitsfähigkeit postoperativ 616
- , koronarer, bei instabiler Angina pectoris, Prognose 199
- C**
- Calcitonin, immunohistochemischer Nachweis in Schilddrüsenkarzinomen zur Differentialdiagnose 767
- , Salm-, bei metastatischen Knochenschmerzen 944
- Calcium-Phosphat-Stoffwechselstörungen bei gastrointestinalen Erkrankungen, Pathophysiologie und Therapie 147
- Calcium, Serum-, ionisiertes oder Gesamt-Ca, diagnostischer Vergleich 527
- Captopril bei Raynaud-Syndrom 857
- Carboxypeptidase N, Serum-, bei Lungensarkoidose 166
- Carcinoembryonales Antigen, Beurteilung in der Tumornachsorge 276
- Carcinoid-Syndrom, Behandlung mit Leukozyten-Interferon 119
- Cardiakarzinom, operative Radikalität und Lebenserwartung 450
- Carmustin bei metastasiertem Magenkarzinom 976
- Carnitinmangel-Myopathie 554
- Carvon, Kontaktallergen in Zahnpasta 300
- Chemonukleolyse bei lumbalem Bandscheibenvorfall 68
- Chirurgie, Qualitätssicherung 43
- Chlamydia trachomatis bei Epididymitis 569
- Cholangiographie, endoskopisch-retrograde, und Pseudomonas-Septikämie 697, 1047
- , postoperative, durch den T-Drain-Kanal 446
- Choledochozystolithiasis, endoskopische Exaktion 1020
- Cholera-Schutzimpfung, akute Myokarditis als Nebenwirkung 197
- Cholezystolithiasis, Diagnostik 429, 597
- Chondropathia patellae, Zohlenschies Zeichen 968
- Chymopapain bei lumbalem Bandscheibenvorfall 68
- Cimetidin bei Ulcus duodeni 927
- Cimetidin, Hemmung der Eisen- und Vitamin-B₁₂-Resorption? 845
- Clonidin, perkutane Applikation bei essentieller Hypertonie 559
- Cobalamin, Resorptionshemmung durch Ranitidin und Cimetidin 845
- Cocain, Lungengranulom bei Schnupfern 400
- Codein, Auslösung akuter Pankreatitis 317, 685
- Coffein, Beurteilung der Leberfunktion 1050
- Coli-Bakterien im Stuhl 243
- Colitis ulcerosa und Rauchen 849
- Colon irritabile, Psychotherapie 279
- Coma hepaticum, Akkumulation von Substanz P 849
- , Diagnostik 501
- , Therapie 503
- Computertomographie bei Echinococcus-Befall des Gehirns 76
- , bei Nierenkrankheiten 870
- bei Schädel-Hirn-Traumen 930
- in der Endokrinologie 875
- , lumbale 796
- Corpus-luteum-Zyste, rupturierte 892
- Corticosteroide, Induktion von Frakturen bei Asthmatikern 238
- Corynebacterium parvum bei nicht-kleinzelligem operiertem Bronchialkarzinom 935
- C-Peptid bei chronischen Leberkrankheiten während oraler Glucosebelastung 253
- Crampi, nächtliche, Ursache und Therapie 34, 887
- C-reaktives Protein, Serum-, Abfall nach körperlichem Training 849
- D**
- Darmkrankheiten, infektiöse, Kreuzimmunität? 595
- Darmspülung, orthograde, bei akuten Vergiftungen 198
- Defibrillator, implantierter automatischer, bei ventrikulärer Tachyarrhythmie 238
- Dens sapiens, kieferchirurgische Entfernung 844
- Depression, larvierte, und Laxantienabusus 194
- Dermatitis, periorale 161
- Desethylamidaron, Serumspiegelkontrolle bei antiarrhythmischer Therapie 492
- Desinfektionsmittel, viruzide, Prüfungsrichtlinien 809

- Desoxyribonucleinsäure, impulszytophotometrische Messung an malignen Tumoren **738**
- Dextran-Anaphylaxie, Prophylaxe mit Haptendextran **36**
- Diabetes mellitus, Beurteilung von Kohlenhydraten, speziell von Zucker, in der Diät **1043**
- , Blutglucose-Selbstkontrolle mit Reflux **991**
- , insulinpflichtiger, zweimal wöchentliche Glucose-Selbstkontrolle **174**
- , jugendlicher, in Remission, Therapie **926**
- , –, Wirkung von CAPD und CCPD bei terminaler Niereninsuffizienz **941**
- , Kraftfahrtauglichkeit **1045**
- , Lactacidose nach Metformin? **236**
- , Myokardhypertrophie bei Fetopathie **162**
- , MODY-Typ, Therapie **354**
- , nicht insulinabhängiger, im frühen Lebensalter **733**
- , Risiko der Insulin-Infusionspumpenbehandlung **768**
- , Rückbildung der Neuropathie durch Stoffwechselnormalisierung? **1013**
- , Therapie mit Humaninsulin **385**
- , Wege und Ziele der Therapie **916**
- , Typ I mit Nephropathie, Nierenspende **559**
- , –, und Schwangerschaft, Komplikationen und genetisches Risiko **315, 480** (Berichtigung), **765**
- , Typ II, Insulin- und Sulfonylharnstoff-Therapie **419**
- , –, Vergleich von Euglucon 5 und Euglucon N **210**
- Diarrhoe, chronische, Behandlung mit Loperamid **844**
- und Hypokaliämie **73**
- Diazepam, verlängertes Koma bei beatmeten Patienten, Pharmakokinetik und Therapie **340**
- Digitalis, Verbrauch in Münchener Bevölkerung **412**
- Digitalisglykoside und β -Sympathikomimetika, kardiale Wirksamkeit **683**
- Digitalisierung präoperativ? **638**
- Digitoxin, Beeinflussung durch Aluminium-Magnesium-Hydroxid-Gel **59**
- , Indikation bei Hämodialyse-Patienten **290**
- Dioxin, Zusammenhang mit M. Behçet? **74**
- Diskusprolaps, lumbaler, Chemonukleolyse **68**
- , –, Computertomographie **796**
- Dobutamin und Digitalisglykoside, kardiale Wirksamkeit **683**
- Dopamin und Digitalisglykoside, kardiale Wirksamkeit **683**
- Doppler-Frequenzspektrum-Analyse extrakranieller Carotis-Stenosen **947**
- Doxorubicin bei metastasierendem Magenkarzinom **976**
- , Myokardinfarkt als Nebenwirkung **684**
- Drogenabhängigkeit, Urinkontrolle nach Langzeitentwöhnungstherapie **115**
- Drogenkurieren, Identifizierung und Behandlung **685**
- »Dysbakterie« **243**
- »Therapie 727
- »Dysbiose«-Therapie **727**
- Dysphagie durch kalte Getränke **889**
- E**
- Echinococcus cysticus, Befall des Gehirns **76**
- Echinokokkose, Therapie **586**
- Echokardiographie, transösophageale, diagnostische Möglichkeiten **722**
- , Verlaufsbeobachtung bei Herzscheiden durch stumpfe Gewalt **218, 928**
- Einmal-Überschuhe im Krankenhaus, Zweckmäßigkeit **728**
- Eisen, Resorptionsstörung bei M. Crohn **1023**
- , Mangel durch Histaminantagonisten? **845**
- Eczem, atopisches, T-Zell-Defekt **320**
- , endogenes juveniles **771**
- Elektrokardiogramm, QT-Verlängerung bei spontanen intrakraniellen Blutungen **817**
- Embolia cutis medicamentosa **786, 800**
- Endokarditis, bakterielle, nach Ohr-Akupunktur **320**
- Endokrinologie, Diagnostik mit bildgebenden Verfahren **875**
- Endoskopie am Gallengangssystem und Pseudomonas-Septikämie **697, 1047**
- Enzephalitis, Herpes-simplex-, Diagnostik und Therapie **1000**
- Ependymom **361**
- Epicondylitis humeri, Ätiologie und Therapie **805**
- Epididymitis, Ätiologie und Pathogenese **569**
- Epiglottitis, akute, im Kindesalter, Diagnostik **303**
- , –, Therapie **304**
- Epilepsie, Kraftfahrtauglichkeit **922**
- Epithelioma calcificans **81**
- Ergometrie, Häufigkeit lebensbedrohlicher Komplikationen **123**
- Ernährung, parenterale, Dosierungsgrenzen für Xylit **1047**
- , und kolorektale Karzinome **968**
- , vegetarische, und Östrogenausscheidung im Stuhl **120**
- Ertrinken, Beinahe-, Reanimation **557**
- Erythema chronicum migrans, Spirochäteninfektion **3, 6, 92**
- Erythrozytenkonzentrat, Verdünnung und Erwärmung vor Bluttransfusion **236, 478**
- Etindin bei Ulcus duodeni **886**
- Extrasystolie, ventrikuläre, Provokation durch psychischen Belastungstest **532**
- , –, und QT-Intervall bei intrakraniellen Blutungen **817**
- , –, Wirkung von Mexiletin und Propranolol **330**
- F**
- Felty-Syndrom, unvollständige Trias **320**
- Fetopathia diabetica, Myokardhypertrophie **162**
- α -Fetoprotein, Serum-, bei primärem Leberzellkarzinom **360**
- Fette, gehärtete, und Morbus Crohn **515**
- Fettleber **932**
- Fibrose, retroperitoneale **522**
- Fisch als Sepsisursache **889**
- Flatulenz, Therapie **113**
- Flecainid, paradoxe Reaktion **117**
- Floxuridin, lokale Infusion bei Lebermetastasen kolorektaler Karzinome **523**
- Fluorouracil, lokale Infusion bei Lebermetastasen kolorektaler Karzinome **523**
- bei metastasierendem Magenkarzinom **976**
- Flush-Anfälle, Therapie **805**
- Frakturen, corticosteroid-induzierte, bei Asthmatikern **238**
- Fremdkörperaspiration bei Kindern **810**
- Fructose-Intoleranz, angeborene, Wachstumsverzögerung **319**
- G**
- Galaktoseresorption und Katarakt **768**
- Gallenblasensteine, endoskopische Exzision **1020**
- Gallengangskarzinom, hochsitzendes, endoskopische intraduktale Strahlentherapie **422**
- Gallensteine, Diagnostik **429, 597**
- Gallenwegsobstruktion, asymmetrische, im Leberhilus **602**
- Gammopathien, maligne, Diagnostik **24**
- , –, Therapie **26**
- Gastrektomie, partielle, Gastrinwerte im Serum **806**
- Gastrin, Serum-, nach partieller Gastrektomie **806**
- Gastritis, endoskopische Diagnose **511**
- Geburten, längere Intervalle durch Antikonception **929**
- Geburtsgewicht und Zigarettenkonsum in der Schwangerschaft **730**
- Gefäßchirurgie, Arbeitsfähigkeit nach großen Eingriffen **616**
- Geldstück, verschlucktes **156, 317**
- Gelenktrauma und spätere generalisierte Arthrose **119**
- Geophagie **476**
- Gesellschaft für Tauch- und Überdruckmedizin **119**
- Glaucoma chronicum simplex, Wirkungsvergleich von Pindolol- und Timolol-Augentropfen **180**
- Glibenclamid und Insulin bei Sekundärsäuren der Sulfonylharnstofftherapie? **419**
- , Vergleich von zwei galenischen Zubereitungen bei Typ-II-Diabetes **210**
- Glucose, Blut-, Bestimmung mit Reflocheck **97**
- , –, borsäure-impregniertes Filterpapier zur Probengewinnung **783**
- , –, Selbstkontrolle mit Reflux **991**
- Glykoside, Verbrauch in Münchener Bevölkerung **412**
- Glykosidtherapie bei Herzinsuffizienz **198**
- Gonadotropin-Releasing-Hormon, pulsatile Applikation bei hypogonadotropem Hypogonadismus **432**
- –, pulsatile Therapie bei hypothalamischer Amenorrhoe **462**
- Gonarthrit, atypische, als Rezidivform eines Non-Hodgkin-Lymphoms **397**
- Granulosazell-Tumoren, Klinik und Therapie **755**
- –, postoperative Behandlung **750**
- Großbritannien, klinische Ausbildung **472**
- Guar, Einfluß auf exokrine Pankreasfunktionen **250**

H

- Haar, Mineralstoffanalyse 967
- Haarzell-Leukämie, Milzbestrahlung 597
- –, Wirkung von α -Interferon 888
- Habilitationen im Jahre 1982 360
- Hämatom im linken Nierenlager 772
- –, verkalktes, nach Nierenruptur 1012
- Hämodialyse, chronische, Indikation zur Digitalisierung 290
- –, Karpaltunnelsyndrom als Spätkomplikation 285
- bei akutem Atemnotsyndrom und Mykoplasmainfektion der Lunge 847
- , Mitralklappenverkalkung 170
- Hammerzehe, Therapie 194, 438
- Haptendextran, Prophylaxe der Dextran-Anaphylaxie 36
- Harnverhaltung, akute, nach Weinkonsum 764
- Hauff, Bruno, zum Gedenken anlässlich seines 100. Geburtstages 272
- Heparin, niedermolekulares, Einfluß auf Blutgerinnung 951
- Heparin-Calcium, Plasma-Heparinspiegel und Gerinnungspotential nach zweimal 7500 IE/d subkutan 993
- Hepatitis, alkoholtoxische 318
- durch Bleivergiftung 1007
- , granulomatöse 226, 438
- und Herzrhythmusstörungen 727
- A 110
- –, Antikörper der IgM-Klasse, Nachweis und Vorkommen bei Deutschen und Ausländern 902
- B, aktive Immunisierung mit Hevac B Pasteur 246
- –, Epidemiologie und Prognose 483
- –, Marker bei Ärzten und medizinischem Personal 10
- –, Risiko bei Krankentransport und Stadtreinigung 763
- – und primäres Leberzellkarzinom 889, 930
- Be-Antigen und anti-HBe, Nachweis mit Mikrotiter-Enzymimmunoassay 864
- Hepatom, malignes, Regeneration der Leber nach Resektion 581
- Heroin und Nephropathie 358
- Herpes-simplex-Enzephalitis, Diagnostik und Therapie 1000
- Herpes simplex recidivans, Behandlung mit Thymopoetin-Pentapeptid 496
- Herzinsuffizienz, Einfluß von Aluminium-Magnesium-Hydroxid-Gel auf Digitoxin 59
- –, Glykosidtherapie 198
- und ventrikuläre Tachykardie, Therapie 596
- Herzkrankheit, koronare, Ergebnisse der transluminalen Dilatation 675
- –, Gefäßdilatation mit steuerbaren Ballonkathetern 651
- –, nicht-invasive Diagnostik 403
- –, primäre Prävention durch Beeinflussung der Lipide 965
- –, Prognose bei Nikotinabusus 278
- –, Reboundphänomene nach Absetzen von β -Blockern 465
- –, und Blutfette 513
- –, Wirkung von Nifedipin und Nitroglycerin auf epikardiale Leitungsgefäße 656
- –, Wirkung von Nitroglycerinpfaster 714
- Herz-Kreislauf-Stillstand, medikamentöse Therapie 350
- Herzmuskelerkrankung, thyreogene 203
- Herzrhythmusstörungen, Auflösung durch Alkohol 595
- bei Hepatitis 727
- beim Mitralklappenprolaps 661
- in der Gravidität, Therapie 959
- , nächtliche, bei Schlafapnoe-Syndrom 853
- , ventrikuläre tachykarde, Provokation durch psychischen Belastungstest 532
- –, und QT-Intervall bei intrakraniellen Blutungen 817
- Herzschäden infolge stumpfer Gewalt, echokardiographische Verlaufsbeobachtung 218, 928
- Herzschrittmacher, Beeinflussung durch Ultraschallgeräte? 682
- Therapie mit steroidhaltiger Elektrode 671
- Herztod, plötzlicher, nach körperlicher Belastung 889
- Herzvorhof, linker, Größenbestimmung bei Mitralklappen 666
- Histoplasmose, akute disseminierte, Ähnlichkeit mit Miliartuberkulose 240
- HLA-B27 bei Spondylitis ankylosans 885
- Hodentumoren, maligne, lokale Wärmebehandlung bei Rückenschmerzen? 396
- »Holiday Heart«-Syndrom 595
- Holzschutzmittel, PCP-haltige, Ursache von Gesundheitsschäden? 155
- Humaninsulin, Therapie 385
- Hypercalcämie, Diagnostik durch Bestimmung von ionisiertem Ca und Gesamt-Ca, Vergleich 527
- Hypercholesterinämie, Therapie 884
- Hyperinsulinämie bei Malaria tropica 685
- Hyperinsulinismus bei chronischen Leberkrankheiten 253
- Hyperlipidämie, Aderlaßtherapie und Blutspendemöglichkeit? 235
- Hyperlipoproteinämie und koronare Herzkrankheit 513
- Hyperoxie, Ursache alveolärer Fröhlschädigung 159
- Hyperthyreose, Basedow-, präoperative Jodbehandlung 398
- und Kardiomyopathie 203, 316
- Hyperthyreose factitia zur Adipositasbehandlung? 156
- Hypertonie, arterielle, bei chronischer Bleivergiftung 199
- –, Blutdrucksteigerung durch Alkohol 888
- –, Therapie mit Calciumantagonisten 933
- –, Therapie und Prognose 114
- –, essentielle, transdermale Clonidin-Therapie 559
- Hypochromie und Mikrozytose ohne Anämie, Differentialdiagnose 235
- Hypoglykämie bei Malaria tropica 685
- Hypogonadismus, hypogonadotroper, pulsatile Gn-RH-Therapie 432
- Hypokaliämie und Diarrhoe 73
- Hysterektomie bei Uterus myomatosis 1005
- I
- Iktus, Diagnostik 139
- –, Verschuß-, nicht-chirurgische Drainagemassnahmen 145, 477
- Immundefektsyndrom, erworbenes 160
- –, in Afrika 769
- –, bei Kindern 558
- –, durch Bluttransfusion 399
- –, gastrointestinale Symptome 237
- –, in Haiti 319
- und Transfusion von anti-HBc-haltigem Blut 766
- Immunstimulation, lokale, bei nicht-kleinzelligem operiertem Bronchialkarzinom 935
- Immunsystem und Prüfungsbelastung 199
- Impulszytrophotometrie, DNS-Messung an malignen Tumoren 738
- Infektionskrankheiten, meldepflichtige, im zweiten Quartal 1983 79
- –, im dritten Quartal 1983 239
- –, im Jahre 1983 1009
- Infertilität, Verlauf ohne und mit Behandlung 809
- Informationsflut 240
- Injektion, intraglutäale, Bauchmuskellähmung als Komplikation? 968
- , intramuskuläre, Embolia cutis medicamentosa 786, 800
- Insemination, ambulante künstliche 278
- Insuffizienz, zerebrovaskuläre, Stadium III, postoperative Langzeitprognose 295
- Insulin bei chronischen Leberkrankheiten während oraler Glucosebelastung 253
- , Human-, Therapie 385
- -Infusionspumpe, tragbare, Behandlungsrisiken 768
- und Sulfonharnstoff bei Sekundärversagen der Sulfonharnstofftherapie? 419
- Insult, zerebrovaskulärer progredienter, postoperative Langzeitprognose 295
- α -Interferon bei Haarzell-Leukämie 888
- α_2 -Interferon, Leukozyten-, re-kombiniertes, Unwirksamkeit bei metastasierten kolorektalen Karzinomen 779
- Interferon, Leukozyten-, bei Carcinoid-Syndrom 119
- Intrauterinpeppars als Streuherd? 1005
- Isopropylalkohol, Kanzerogenität und Hepatotoxizität 763
- Isosorbiddinitrat und -mononitrat, hämodynamische Adaptation 163
- Isotretinoin, diffuse Hyperostose als Nebenwirkung 160
- Ixodes-ricinus-Spirochäte bei Acrodermatitis chronica atrophicans 3, 6
- – – bei Erythema chronicum migrans 92
- J
- Jacket-Kronen, Indikation und Mundpflege 926

Jod, alimentäre Versorgung und Ausscheidung bei Neugeborenen **773**
 Joghurt bei Lactose-Intoleranz **559**

K

Kardiomyopathie, endokrine, bei Hyperthyreose **316**
 -, kongestive **1011**
 -, thyreotoxische **203**
 Karpaltunnelsyndrom, Spätkomplikation bei chronischer Dialyse **285**
 Karzinom, kolorektales, lokale Infusions-Chemotherapie bei Lebermetastasen **523**
 -, -, metastasiertes, Unwirksamkeit von Leukozyten- α_2 -Interferon **779**
 -, -, und Ernährung **968**
 Katarakt, senile, Therapie **64**
 - und Galaktoseresorption **768**
 Katheter, Venen-, Gefahren durch Manipulation mit nicht armetierten Metallklappen **374**
 Kawasaki-Syndrom **281**, **561**
 Keloide, Therapie **435**
 Keratoakanthom **321**
 Kernspintomographie bei Nierenerkrankheiten **870**
 - in der Endokrinologie **875**
 Kiefergelenk, Arthrographie **930**
 Kindstod, plötzlicher, und Legionella-Infektion **1050**
 Klimakterium, Schweißausbrüche, Therapie **113**
 Knochen, Endokrinologie **875**
 Knochenmarkbiopsie, Diagnostik von Knochen- und Knochenmarkserkrankungen **954**
 Knochenmarktransplantation, autologe **265**
 -, nosokomiale Pneumonie durch Legionella pneumophila **160**
 Knochenschmerzen, metastatische, analgetische Wirkung von Salm-Calcitonin **944**
 Kohlenwasserstoffe, chlorierte, und Panmyelopathie **840**
 -, halogenierte aliphatische, Diagnostik akuter Vergiftungen **541**
 -, -, Therapie akuter Vergiftungen **543**
 Kollagenase bei lumbalem Bandscheibenvorfall **68**
 Kolon, akute Pseudoobstruktion, Diagnostik **622**
 - Kontrasteinlauf nach Rektoskopie mit Biopsie, Zeitintervall **553**
 Kolonkarzinom, adjuvante Therapie **1049**

Kolonpolypen und Stielwarzen **641**
 Kolorektales Karzinom, lokale Infusions-Chemotherapie bei Lebermetastasen **523**
 -, -, metastasiertes, Unwirksamkeit von Leukozyten- α_2 -Interferon **779**
 Koma, verlängertes, durch Diazepam bei beatmeten Patienten, Therapie **340**
 Kombinationssystolen bei einfacher AV-Dissoziation **644**
 Kontrastmittelreaktionen, Prophylaxe und Therapie **514**, **766**, **1008**
 Kopfschmerz durch Analgetika **369**
 Koronardilatation, transluminale, Ergebnisse **675**
 Koronarspasmus und Myokardinfarkt **439**
 Koronarstenose, progrediente, bei instabiler Angina pectoris **39**
 Krankheiten, meldepflichtige übertragbare, im zweiten Quartal **1983** **79**
 -, -, im dritten Quartal **1983** **239**
 -, -, im Jahre **1983** **1009**
 Krebshäufigkeit und Atomwaffenversuche **479**
 Krebs und Vitamine (A und E) **928**
 Kreuzimmunität bei infektiösen Darmkrankheiten? **595**

L

Lactacidose nach Metformin? **236**
 Lactose-Intoleranz, Behandlung mit Joghurt **559**
 -, Malabsorption und Katarakt **768**
 Laryngitis, stenosierende, im Kindesalter, Diagnostik **303**
 -, -, Therapie **304**
 Laxantien und larvierte Depression **194**
 Lebenserwartung, hypothetische, und Todesursachen **969**
 Leber, intrahepatische Raumforderungen, szintigraphische Differentialdiagnostik **861**
 -, Regeneration nach Hemihepatektomie **581**
 -, Sonographie **769**
 Leberfunktion, Prüfung mit Coffein **1050**
 Leberkoma, Akkumulation von Substanz P **849**
 Leberkrankheiten, chronische, Insulin und C-Peptid bei oraler Glucosebelastung **253**

Lebermetastasen kolorektaler Karzinome, lokale Infusions-Chemotherapie **523**
 -, Nachweis durch Sonographie **326**
 Leberschädigung, alkoholtoxische **318**
 -, -, mit psychiatrischen Störungen **519**
 Leberzellkarzinom, primäres, Diagnostik **460**
 -, -, Früherkennung durch α -Fetoproteinbestimmung **360**
 -, -, und Hepatitis B **889**, **930**
 Leder-Imprägniersprays, Vergiftungen **75**
 Legionella pneumophila, Pneumonie-Erreger nach Knochenmarktransplantation **160**
 -, -, und plötzlicher Kindstod **1050**
 Leukämie, akute lymphoblastische, Spätfolge nach Atombombenabwurf **520**
 -, -, myeloische, präleukämische Phase, Diagnostik **506**
 -, -, Retina-Infiltrat nach Remission **357**, **555**
 -, chronische myeloische, Chromosomenanomalien **596**
 -, -, lymphoide Blastenkrise **20**
 -, Haarzell-, Milzbestrahlung **597**
 -, -, Wirkung von α -Interferon **888**
 -, Hypoperfusion der Kapillaren **160**
 LeVein-Shunt, Axillaris- und Subclavia-Thrombose als Komplikation **36**
 Licht-Reflexions-Rheographie, phlebologische Diagnostik **997**
 Lidocain bei Herzinsuffizienz und ventrikulärer Tachykardie **595**
 Lipide, Serum-, und koronare Herzkrankheit **513**
 Loperamid bei chronischer Diarrhoe **844**
 Lunge, Mikrolithiasis **440**
 Lungenembolie, akute, lokale Thrombolyse mit Urokinase **55**
 Lungenemphysem mit Bronchialobstruktion, medikamentöse Langzeittherapie **392**
 Lungenfunktion bei Kindern von Raucherinnen **808**
 Lungengranulom bei Cocainsnupfern **400**
 Lungenkarzinom, Zunahme bei Frauen **809**
 Lungsarkoidose, Carboxypeptidase N im Serum **166**
 Lungenschäden durch akute tryptische Pankreatitis **454**

Lungenversagen, akutes, auf internistischer Intensivstation **563**
 Lupus erythematoses, systemischer, Antikonzepktion und Gravidität **395**
 -, -, neurologische Symptome als einzige Manifestation **1028**
 Lymphangioma circumscriptionum **521**
 Lymphom, Non-Hodgkin-, Diagnostik **221**
 -, -, Rezidiv in Form atypischer Gonarthritiden **397**
 -, -, Therapie **261**

M

Magenkarzinom, metastasiertes, Fluorouracil-Carmustin-Kombination mit und ohne Doxorubicin **976**
 Magenresektion, partielle, Gastrinwerte im Serum **806**
 Malabsorption im Alter **558**
 Malaria tropica, Hypoglykämie und Hyperinsulinämie **685**
 Maltafieber, lumbale Spondylitis **436**
 Maltase, saure, adulte Manifestation des Mangels (M. Pompe) als progressive spinale Muskelatrophie **537**
 Mammakarzinom nach gutartigen Brustveränderungen **641**
 -, metastasierendes, Bedeutung der Prolactin-Bestimmung **62**
 -, -, orale hochdosierte Gestagen-therapie **46**
 -, operables, adjuvante Chemotherapie **1034**
 -, subkutane Mastektomie **50**
 Mammographie, Indikation **34**
 Margarine und Morbus Crohn **515**
 Mastektomie, subkutane, Bedeutung der histopathologischen Aufarbeitungstechnik **50**
 Mediastinalphlegmone **812**
 Medikamente, Spiegelbestimmung zur Therapiesicherheit **973**
 Medroxyprogesteron, hochdosierte orale Therapie bei metastasierendem Mammakarzinom **46**
 Melanom, malignes, Entdeckung durch gründliche Hautinspektion **360**
 Melphalan und Prednisolon bei multiplem Myelom **1015**
 Memantin, Wirkung auf Parkinson-Symptomatik **987**
 Meningitis, rezidivierende, infolge kongenitaler Innenohrmißbildung mit Liquorfistel **120**

- Meningokokkensepsis 401, 481, 807
- Menstruation, Symptomenwandel der chronischen Polyarthritiden 78
- Mesotheliom durch Asbest 363
- Metformin, Lactacidose-Auslösung? 236
- Methotrexat, hochdosierte Therapie im Kindesalter, klinisch-pharmakologische Untersuchung 127
- Metoclopramid, extrapyramidale Reaktionen 38
- Mexiletin und Propranolol, Wirkung bei ventrikulären Extrasystolen 330
- Migräne und Tauchen 114
- Mikrolithiasis, pulmonale alveoläre 440
- Mikrozirkulationsstörungen, Bedeutung der Thrombozyten 306
- Mikrozytose und Hypochromie ohne Anämie, Differentialdiagnose 235
- Milzbestrahlung bei Haarzell-Leukämie 597
- Mineralstoffanalyse des Haars 967
- Misoprostol bei Ulcus duodeni 640
- Mitralklappenprolaps-Syndrom, Herzrhythmusstörungen 661
- im Kindesalter 1046
- Mitralringverkalkung bei Dialysepatienten 170
- Mitralvitium, Größe des linken Vorhofs 666
- Mononukleose 643, 1006
- Morbus Basedow, präoperative Jodidbehandlung 398
- Bechterew, Diagnostik 382
- – und HLA-B27 885
- – und periphere Arthritis 641
- Behçet durch Dioxin? 74
- Creutzfeld-Jakob, orale Übertragungsmöglichkeit 769
- Crohn, Analfistel und Plattenepithelkarzinom 618
- –, Genese von Hyposiderinämie und Anämie 1023
- –, Reaktion auf Nahrungsmittel 116
- –, Thrombozytose 159
- – und gehärtete Fette 515
- Mondor 121
- Ormond 522
- Osgood-Schlatter, Therapie 1046
- Parkinson, On-off-Phänomene 969
- –, Wirkung von Memantin 987
- Pompe, adulte Form, mit progressiver spinaler Muskelatrophie 537
- Morbus Schönlein 811
- Waldenström, Diagnostik 24
- –, Therapie 26
- Whipple, Differentialdiagnose bei Polyarthritiden und Fieber 906
- Wilson, hämolytische Anämie als Frühsymptom 440
- Morphologische Kriterien zum Wachstumsverhalten des Pankreaskarzinoms 702
- Mucoviscidose, Broschüre 320
- Muskelatrophie, progressive spinale, bei adulter Form des M. Pompe 537
- Muskeldystrophie, Typ Duchenne, mit erhöhten Transaminasewerten 556
- Muskelkrämpfe, nächtliche, Ursache und Therapie 34, 887
- Mycoplasma hominis bei Epididymitis 569
- Myelodysplastische Syndrome, Diagnostik 506
- Myelom, multiples, Diagnostik 24
- –, Therapie 26
- –, zytostatische Therapie 1015
- Myeloproliferatives Syndrom, lymphoblastäre Verlaufsform 20
- Myelose, megakaryozytäre, Therapie von Blastenschüben 556
- Mykoplasma-Infektion der Lunge mit akutem Atemnotsyndrom, Hämodialysebehandlung 847
- Myokardhypertrophie bei Fethopathia diabetica 162
- Myokardinfarkt, akuter, intrakoronare Thrombolyse? 678
- bei Phäochromozytom 159
- –, erster, Wiederaufnahme der Arbeit, Mitwirkung von Arbeitsmedizinern 158
- durch Koronarspasmus 439
- , intrakoronare Streptokinastherapie 519
- , Langzeitprognose 808
- nach Adriamycin 684
- , Prognose bei Nikotinabusus 278
- , Rehabilitation 645, 689
- , Thrombozytenfunktionsstörungen 359
- und Rauchen 889
- Myokarditis, akute, nach Cholera-Schutzimpfung 197
- , tuberkulöse 519
- Myom, Uterus-, Hysterektomie 1005
- Myopathie, Carnitinmangel- 554
- N
- Naevus, epidermaler 971
- Naevus, inflammatorischer linearer verruköser epidermaler 41
- Naftidrofuryl bei arterieller Verschlusskrankheit 745
- Nahrungsmittelallergie, Sellerie-Beifuß-Gewürz-Syndrom 981
- Nebennierenrindenkarzinome, endokrin-aktive, Diagnostik 345
- –, Therapie 347
- Nephropathie, diabetische, und Nierenspende 559
- bei Heroinabhängigkeit 358
- Nephrotisches Syndrom 851
- – und Bronchialkarzinom 437
- Neugeborene, Einfluß von Tryptophan auf Schlaf 399
- Neuroblastom, Entfernung von Tumorzellen aus dem Knochenmark 599
- Neurodermitis, Lokalbehandlung mit Corticosteroiden? 193
- , T-Zell-Defekt 320
- Neuroleptika 196
- – Syndrom, malignes 378
- Neuropathie, diabetische, Rückbildung durch Stoffwechselnormalisierung? 1013
- Nickel-Allergie 201
- Nicolau-Syndrom 786, 800
- Niere, Angiolipom 77
- Nieren, normale, Ultraschallschnittbild 75
- Nierenarterienverschluss, akuter, regionale Streptokinase-Infusion 356
- Nierenbeckentumor 282
- Nierenkrankheiten, Diagnostik mit bildgebenden Verfahren 870
- Niereninsuffizienz, terminale, bei juvenilem Diabetes, Wirkung von CAPD und CCPD 941
- Nierentransplantation, serologische Zytomegalie-Diagnostik 214
- von Spendern mit diabetischer Nephropathie 559
- Nierenversagen, chronisches, durch proteinarme Diät 359
- Nifedipin in der Hochdrucktherapie 933
- , Wirkung auf epikardiale Leitungsgefäße bei koronarer Herzkrankheit 656
- Nikotinabstinenz bei instabiler Angina pectoris und nach Myokardinfarkt 278
- Nitrate, Adaptationsphänomene 163
- Nitroglycerin, Pflasterbehandlung bei koronärer Herzkrankheit 714
- Nitroglycerin, Wirkung auf epikardiale Leitungsgefäße bei koronarer Herzkrankheit 656
- Non-Hodgkin-Lymphom, Rezidiv in Form atypischer Gonarthritiden 397
- Non-Hodgkin-Lymphome, Diagnostik 221
- , Therapie 261
- O
- Ösophaguskarzinom, Operabilität 603
- , operative Radikalität und Lebenserwartung 450
- –, Therapie 606
- Ösophaguspapillom, Vorstufe des Plattenepithelkarzinoms? 613
- Ösophagusvarizen, Blutflußmessung mit endoskopischem Ultraschall-Doppler 817
- Ösophagusvarizenblutung, Langzeitsklerosierung 709
- Östrogene im Stuhl bei vegetarischer Ernährung 120
- Omeprazol bei Ulcus duodeni 118
- Operationsräume, Luft- und Bodenkeime 928
- Osgood-Schlattersche Krankheit, Therapie 1046
- Osteoarthritis, Heberdensche Knoten 729
- Osteomalazie, subklinische, im Alter 729
- Osteoporose, Therapie mit Fluorid und Calcitonin 74
- P
- Pankreasfunktion, lipolytische und proteolytische, Beeinflussung durch Guar 250
- Pankreasinsuffizienz, exokrine, Therapie 720
- Pankreaskarzinom, Sonographie bei Lebermetastasen 807
- , Wachstumsverhalten und Prognose 702
- Pankreatin, allergische Atemwegserkrankungen bei Inhalation 257
- Pankreatitis, akute, durch Codeinpräparate 317, 685
- –, tryptische, und Lungenschäden 454
- –, chronische, BT-PABA-Urintest und -Serumtest 718
- Panmyelopathie durch Umweltchemikalien? 840
- Papillom der Speiseröhre, Vorstufe des Plattenepithelkarzinoms? 613

- Paraproteinämie, Immunpathogenese der Polyneuropathien **828**
- Parkinson-Syndrom, On-off-Phänomene **969**
- –, Wirkung von Memantin **987**
- Patientenaufklärung und Häufigkeit von Arztkonsultationen **439**
- Pentachlorphenol, Toxikologie **155**
- Periduralanästhesie und Patientenaufklärung **638**
- Perikarditis, familiäre **440**
- Peritonealdialyse, kontinuierlich ambulante und kontinuierlich zyklische, Wirkungsvergleich bei terminaler Niereninsuffizienz juveniler Diabetiker **941**
- Personal, medizinisches, erhöhtes Hepatitis-B-Risiko **10**
- Pest in den USA **849**
- Phäochromozytom als Myokardinfarkt-Ursache **159**
- –, intermittierende Halsschwellung **240**
- Pica **476**
- Pilomatrixom **81**
- Pindolol, lokale Anwendung bei Glaucoma cronicum simplex **180**
- Plasmapherese bei chronischer Polyarthrit **160**
- Plasmozytom, malignes, Diagnostik **24**
- –, Therapie **26**
- –, zytostatische Therapie **1015**
- Pleuraerguß bei Myokardinsuffizienz **562, 927**
- Pneumonie durch Legionella pneumophila nach Knochenmarktransplantation **160**
- Polidocanol bei Ösophagusvarizenblutung **709**
- zur Blutstillung bei gastro-duodenalen blutenden Ulcera **813**
- Poliomyelitis als »Einschlepp-Krankheit« **151**
- Polyarteriitis nodosa, Diagnose und Therapie **833**
- Polyarthrit, chronische, Diagnostik **105**
- –, Einfluß von Basistherapeutika auf Gelenkveränderungen **237**
- –, Heberdensche Knoten **729**
- –, Plasmapherese **160**
- –, Symptomenwandel während Menstruationszyklus **78**
- –, Therapie **108**
- –, und Schwangerschaft **159**
- –, Wirkung von Salazosulapyridin **479**
- Polyneuropathie bei Paraproteinämie, Immunpathogenese **828**
- Polyneuropathie im höheren Lebensalter **735**
- –, periphere, bei systemischem Lupus erythematodes **1028**
- Polypektomie, gastrokopsche **443**
- Präinfarktsyndrom **316**
- Präleukämie, Diagnostik **506**
- Prednisolon und Melfalan bei multiplem Myelom **1015**
- Prolactin, Blut-, bei metastasierendem Mammakarzinom **62**
- Propranolol, Reboundphänomene nach abruptem Absetzen **465**
- und Mexiletin, Wirkung bei ventrikulären Extrasystolen **330**
- Prostaglandin-E₁-Analog (Misoprostol) bei Ulcus duodeni **640**
- Protrusio dorsalis, lumbale Computertomographie **796**
- Prüfungsbelastung und Immunsystem **199**
- Pseudomonas aeruginosa, Sepsis nach ERC **697, 1047**
- Pseudoobstruktion akute, des Kolons, Diagnostik **622**
- Pseudoxanthoma elasticum **1**
- Psychose, paranoid-halluzinatorische, orale Wasserintoxikation **845**
- Psychotherapie bei Colon irritabile **279**
- Pubertät, verzögerte, durch Nahrungseinschränkung **318**
- Pylorusstenose **687**
- Pyonephrose **688**
- Pyridoxin, neurotoxische Wirkung hoher Dosen **78**
- Raynaud-Syndrom, Captopril-Behandlung **857**
- –, der Lunge **1009**
- Reanimation, medikamentöse Therapie **350**
- nach Beinahe-Ertrinken **557**
- Reflocheck zur Blutglucosebestimmung **97**
- Reflox zur Blutglucose-Selbstkontrolle **987**
- Rehabilitation nach aorto-femorale Bypass-Operation **616**
- nach Herzinfarkt **645, 689**
- Reizkolon, Psychotherapie **279**
- Rektoskopie mit Biopsie und Kolon-Kontrasteinlauf, Zeitintervall **553**
- Retina-Infiltrat, leukämisches, bei akuter myeloischer Leukämie in Remission **357, 555**
- Reye-Syndrom bei Erwachsenen **132, 323**
- –, Häufigkeit in den USA **600**
- –, mit Pankreatitis und hypoxischer Hirnschädigung **101**
- β-Rezeptorenblocker, extrakardiale Nebenwirkungen **434**
- –, in Augentropfen, Glaukombehandlung bei Asthma bronchiale? **395**
- –, Reboundphänomene nach abruptem Absetzen **465**
- Rhabdomyolyse durch Bezafibrat bei eingeschränkter Nierenfunktion **157**
- Röntgenaufnahmen des Thorax, präoperative **118**
- Rollstuhlfahrer, betagte **1050**
- Romano-Ward-Syndrom **82**
- Rückenschmerzen bei malignen Hodentumoren, lokale Wärmebehandlung? **396**
- Q**
- Qualitätssicherung in der Medizin **43**
- Quecksilbervergiftung, Symptomähnlichkeit mit amyotrophischer Lateralsklerose **360**
- R**
- Radiodermatitis, chronische **884**
- Ranitidin bei Ulcus duodeni **886, 927**
- –, Hemmung der Eisen- und Vitamin-B₁₂-Resorption? **845**
- Rauchen, passives, von Kindern, Einfluß auf Lungenfunktion **808**
- und Colitis ulcerosa **849**
- und Geburtsgewicht **730**
- und Myokardinfarkt **889**
- Schilddrüsenkarzinome, immunhistochemische Hormonuntersuchung zur Differentialdiagnose **767**
- Schlaf Neugeborener, Einfluß von Tryptophan **399**
- Schlafapnoe-Syndrom und nächtliche Herzrhythmusstörungen **853**
- und Testosteron **80**
- Schlaganfall, progredienter, postoperative Langzeitprognose **295**
- und cricopharyngeale Achalasie **792**
- Schluckstörung durch kalte Getränke **889**
- nach Schlaganfall **792**
- Schmerz, Knochen-, bei Tumormetastasen, analgetische Wirkung von Salm-Calcitonin **944**
- Schock, toxischer, nach Insulin-Infusion **320**
- Schocklunge bei Erwachsenen, Therapie **868**
- bei Mykoplasma-Infektion der Lunge, Hämodialysebehandlung **847**
- Schutzimpfung, Cholera-, akute Myokarditis als Nebenwirkung **197**
- –, orale, gegen Typhus **592**
- Schwangerschaft bei systemischem Lupus erythematodes **395**
- nach extrakorporaler Befruchtung **480**
- –, Rauchen und Geburtsgewicht **730**
- –, telemetrische Überwachung **80**
- –, Therapie bei Herzrhythmusstörungen **959**
- und Asthmatherapie **753**
- und chronische Polyarthrit **159**
- und Typ-I-Diabetes, Komplikationen und genetisches Risiko **315, 480** (Berichtigung), **765**
- Schwangerschaftsabbrüche im Jahr 1983 **849**
- Schweißausbrüche im Klimakterium, Therapie **113**
- Schwindel, vestibulärer, Übungsprogramme **240**
- Selbstmord, Zunahme in den USA **40**
- Sellerie-Beifuß-Gewürz-Syndrom **981**
- Sepsis durch A-Streptokokken **899**
- –, Fisch **889**
- Sexualdifferenzierung, Endokrinologie **875**
- Shunt, LeVeen-, Axillaris- und Subclavia-Thrombose als Komplikation **36**
- S**
- Salazosulapyridin bei chronischer Polyarthrit **479**
- Salmonellen-Ausscheidung, Therapie **156**
- Sarkoidose, Lungen-, Carboxypeptidase N im Serum **166**
- Saturnismus, Hepatitis **195**
- Sauerstoff, hohe Konzentration, alveoläre Frischschädigung **159**
- Schädel-Hirn-Trauma, Computertomographie **930**
- Scharlach **731, 891**
- Schenkelhalsfrakturen, unterschiedliche Prognosen **278**
- Schichtungsphänomen im Röntgenbild **482**
- Schilddrüsenkarzinome, differenzierte, Radikalität der therapeutischen Strategie **626**

- Shunt, peritoneo-venöser, bei Aszites **957**
- Sinusknotendysfunktion, Diagnostik durch autonome Blockade **87**
- Skilanglauf, Unfallursachen und Verletzungen **319**
- Ski-Unfälle **240**
- Somatostatin, immunhistochemischer Nachweis in Schilddrüsenkarzinomen zur Differentialdiagnose **767**
- Sonnenbrillen-Syndrom **80**
- Sonographie bei Lebermetastasen des Pankreaskarzinoms **807**
- bei Nierenkrankheiten **870**
 - Doppler-, endoskopische, zur Blutflußmessung in Ösophagusvarizen **817**
 - direkte, extrakranieller Carotis-Stenosen **947**
 - in der Endokrinologie **875**
 - Leber- **769**
 - Nachweis von Lebermetastasen **326**
 - normaler Nieren **75**
 - Verlaufskontrolle bei präoperativer Jodidbehandlung der Basedow-Hyperthyreose **398**
- Spirochäte, Ixodes-ricinus-, bei Acrodermatitis chronica atrophicans **3, 6**
- bei Erythema chronicum migrans **92**
- Splenomegalie **83**
- Spondylitis ankylosans, Diagnostik **382**
- und HLA-B27 **885**
 - und periphere Arthritis **641**
- Spondylitis, lumbale, bei Brucellose **436**
- Squash, plötzliche Todesfälle **888**
- Stenokardie ohne Koronarstenose **358**
- Sterilität, extrakorporale Befruchtung **547**
- Sternoklavikulargelenk, Brustschmerzen bei Infektion **440**
- Stielwarzen und Kolonpolypen **641**
- Stimmbandlähmung infolge tuberkulöser Lymphknotenvergrößerung **80**
- Streptokinase, intrakoronar, bei Myokardinfarkt **519**
- regionale Infusion bei akutem Nierenarterienverschluss **356**
- Streptokokken A, Septikämie bei Erwachsenen **899**
- Struma, kongenitale Hypothyreose, Begründung der Jodsalzprophylaxe **773**
- Subarachnoidalblutung, Beziehung zwischen Kammerarrhythmie und QT-Intervall **817**
- Substanz P, Plasma-, im Leberkoma **849**
- Sulfonylharnstoff und Insulin bei Sekundärversagen der Sulfonylharnstofftherapie? **419**
- β-Sympathikomimetika und Digitalisglykoside, kardiale Wirksamkeit **683**
- Syndrom, Atemnot-, Auslösung durch Pankreatitis **454**
- akutes, auf internistischer Intensivstation **563**
 - Bland-White-Garland 2
 - Brown-Séquard-, bei systemischem Lupus erythematosus **1028**
 - Carcinoid-, Behandlung mit Leukozyten-Interferon **119**
 - der engen oberen Thoraxapertur, Therapie **334**
 - des kranken Sinusknotens, Diagnostik durch autonome Blockade **87**
 - des toxischen Schocks nach Insulin-Infusion **320**
 - Felty-, unvollständige Trias **320**
 - »Holiday Heart«- **595**
 - Immundefekt-, erworbenes, bei Kindern **558**
 - durch Bluttransfusion **399**
 - gastrointestinale Symptome **237**
 - in Afrika **769**
 - in Haiti **319**
 - und Transfusion von anti-HBc-haltigem Blut **766**
 - Karpaltunnel-, Spätkomplikation bei chronischer Dialyse **285**
 - Kawasaki- **281, 561**
 - Mitralklappenprolaps-, Herzrhythmusstörungen **661**
 - myelodysplastisches, Diagnostik **506**
 - myeloproliferatives, lymphoblastäre Verlaufsform **20**
 - nephrotisches **851**
 - und Bronchialkarzinom **437**
 - Neuroleptika-, malignes **378**
 - Nicolau- **786, 800**
 - Parkinson-, On-off-Phänomene **969**
 - Wirkung von Memantin **987**
 - Präinfarkt- **316**
 - Raynaud-, Captopril-Behandlung **857**
 - der Lunge **1009**
 - Reye-, Häufigkeit in den USA **600**
 - im Erwachsenenalter **132, 323**
- Syndrom, Reye-, mit Pankreatitis und hypoxischer Hirnschädigung **101**
- Romano-Ward- **82**
 - Schlafapnoe-, und nächtliche Herzrhythmusstörungen **853**
 - Sellerie-Beifuß-Gewürz **981**
 - Sonnenbrillen- **80**
 - »Thoracic-outlet«-, Therapie **334**
 - Turcot-, **187**
 - Turner-, Therapie **35**
- Synkope, Ursachen und Prognosen **238**
- Szintigraphie bei Nierenkrankheiten **870**
- in der Endokrinologie **875**
 - Leber-, Differentialdiagnose intrahepatischer Raumforderungen **861**
- ## T
- Tachyarrhythmie, Auslösung durch Alkohol **595**
- ventrikuläre, automatischer Defibrillator **238**
- Tachykardie, supraventrikuläre, mit konstantem Linkschenkelblock und intermittierendem Rechtsschenkelblock **442**
- ventrikuläre, Provokation durch psychischen Belastungstest **532**
 - rezidivierende, Therapie mit Amiodaron, Kontrolle durch Serumspiegelbestimmung **492**
 - und Herzinsuffizienz, Therapie **596**
- Tätowierung bei Schülern **642**
- Tauchen und Migräne **114**
- Testosteron und Schlafapnoe **80**
- Tetanusprophylaxe **279**
- Tetracyclin, Einlagerung in Milchzähne **480**
- Thalassämie, Röntgenveränderungen **852**
- Thermonekrosen durch Ultraschallschweißen **360**
- »Thoracic-outlet«-Syndrom, Therapie **334**
- Thorax-Röntgenaufnahmen, präoperative **118**
- Thrombose, Subclavia- und Axillaris-, bei LeVeen-Shunt **36**
- Thrombolyse, intrakoronare, beim akuten Myokardinfarkt **678**
- Thrombozyten, Bedeutung bei Mikrozirkulationsstörungen **306**
- Beeinflussung durch Antibiotika **388**
 - bei Myokardinfarkt **359**
- Thrombozytose bei M. Crohn **159**
- Thymopoetin-Pentapeptid bei Herpes simplex recidivans **496**
- Thyreotoxikose und Kardiomyopathie **203**
- Timolol, lokale Anwendung bei Glaucoma chronicum simplex **180**
- Tod, gewaltsamer, in den USA **810**
- plötzlicher, beim Squash-Spiel **888**
 - in der ärztlichen Praxis **893**
- Todesursachen und (hypothetische) Lebenserwartung **969**
- Toxikose bei Enteritis **601**
- Transaminasen, erhöhte Aktivität bei Muskeldystrophie Typ Duchenne **556**
- Trichinose, Epidemie **205**
- Trimming **130**, kritische Analyse **31**
- Trypsin, allergenwirksame Komponente von inhaliertem Pankreatin **257**
- Tryptophan, Einfluß auf Schlaf Neugeborener **399**
- Tuberculosis cutis verrucosa **441**
- Tuberkulose, Häufigkeit **1982, 600**
- Tumoren, endokrine, Diagnostik und Therapie **875**
- Granulosazell-, Klinik und Therapie **755**
 - postoperative Behandlung **750**
 - maligne, impulszytophotometrische DNS-Messung **738**
- Tumormetastasen, Knochen-, Schmerztherapie mit Salm-Caltonin **944**
- Turcot-Syndrom **187**
- Turner-Syndrom, Therapie **35**
- Typhus, orale Immunisierung **592**
- ## U
- Überschuhe, Einmal-, im Krankenhaus, Zweckmäßigkeit **728**
- Ulcus duodeni, Behandlung mit Misoprostol **640**
- Heilung mit Omeprazol **118**
 - Therapie mit niedrig dosiertem Antacidum **517**
 - Wirkung von Etindin und Ranitidin **886**
 - Wirkungsvergleich von Ranitidin und Cimetidin **927**
- gastroduodenales blutendes, Polidocanol-Injektion **813**
- Unfälle, Ski- **240**
- bei Skilanglauf **319**

Unfälle durch Senkvorrichtung an Krankenhausbetten 320
 Ureaplasma urealyticum bei Epididymitis 569
 Ureter, retrocavaler 402
 Ureterocele 122
 Urogenital-Bilharziose in Deutschland 136
 Urographie bei Nierenkrankheiten 870
 Urokinase, lokale Thrombolyse bei akuter Lungenembolie 55
 Uterus myomatosus, Hysterektomie 1005

V

Vaskulitis, nekrotisierende 241
 Venenkatheter, Gefahren durch Manipulation mit nicht armierten Metallklemmen 374
 Venenkrankheiten, Licht-Reflexions-Rheographie zur Diagnostik 997
 Verapamil in der Hochdrucktherapie 933

Verbrennungen, Epidermis-, Transplantate aus allogener Zellkultur 237
 – in den USA 400
 Vergiftung, akute, durch halogenierte aliphatische Kohlenwasserstoffe, Diagnostik 541
 –, –, –, –, Therapie 543
 –, Blei-, chronische, und Hypertonie 199
 –, –, durch Bleischnurperlen 120
 –, –, Hepatitis 195, 1007
 –, –, Schießstand 240
 –, durch Leder-Imprägniersprays 75
 –, Quecksilber-, Symptomähnlichkeit mit amyotrophischer Lateralsklerose 360
 Vergiftungen, akute, orthograde Darmspülung 198
 – im Kindesalter 889
 Verschlussikterus, nicht-chirurgische Drainagemassnahmen 145, 477
 Verschlusskrankheit, arterielle, Wirkung von Naftidrofuryl 745

Virus-A-Hepatitis 110
 Vitamin B₆, neurotoxische Wirkung hoher Dosen 78
 – B₁₂, Resorptionshemmung durch Ranitidin und Cimetidin 845
 – D₃ und Vitamin-D-Metaboliten bei Ca-P-Stoffwechselstörungen infolge gastrointestinaler Erkrankungen 147
 Vitamine, hochdosierte Anwendung 78
 – A und E und Krebs 928
 Vorhofrhythmus, rechts-atrialer superiorer 242

W

Wachstumsverzögerung bei angeborener Fructose-Intoleranz 319
 Wasserintoxikation, orale, bei paranoid-halluzinatorischer Psychose 845
 Weinkonsum und akute Harnverhaltung 764

Weisheitszähne, kieferchirurgische Entfernung 844
 Wiederbelebung, medikamentöse Therapie 350

X

Xylit, Dosierungsgrenzen bei parenteraler Ernährung 1047

Z

Zähne, primäre, Tetracyclin-Einlagerung 480
 Zahnpasta-Allergie 300
 Zohlensches Zeichen bei Chondroptasia patellae 968
 Zystennieren 202
 Zytomegalie, serologische Diagnostik nach Nierentransplantation 214

Verhandlungsberichte

Aktuelle Probleme in der Endokrinologie – Bildgebende Verfahren in der Endokrinologie – Endokrinologie des

Knochens – Endokrinologie der Sexualdifferenzierung – Tumorendokrinologie

Symposium der Deutschen Gesellschaft für Endokrinologie vom 7. bis 10. 3. 1984 in Heidelberg 875

Mediquiz

Fall 1135

Pseudoxanthoma elasticum. – Diesem Krankheitsbild liegt eine genetisch determinierte, fehlerhafte Synthese der elastischen Fasern mit Calcifizierungstendenz zugrunde. Diese pathologischen elastischen Fasern treten in der Haut, der Retina sowie in der Elastica der Arterien auf. Man kann heute vier Formen dieses Krankheitsbildes unterscheiden, von denen zwei autosomal rezessiv und zwei weitere autosomal dominant vererbt werden. Sie unterscheiden sich bezüglich der Schwere der Veränderungen und der Betonung der einzelnen genannten Organsysteme.

Das klinische Bild bei der hier gezeigten Patientin ist typisch.

Internistische Veränderungen sind Herabsetzung des Visus («angioïd streaks» am Augenhintergrund), Magenblutungen (Befall der Magenarterien), Angina pectoris (Beteiligung der Koronargefäße) sowie Claudicatio intermittens (Befall peripherer Arterien mit radiologisch nachweisbarer Verkalkung).

Eine spezifische Therapie ist derzeit nicht möglich.

Privatdozent Dr. W. Sterry, Universitäts-Hautklinik Köln

Fall 1136

Bland-White-Garland-Syndrom. – Bei diesem Syndrom handelt es sich um eine angeborene Anomalie der Koronararterien. Dabei entspringt die Arteria coronaria sinistra fehlortig aus dem Hauptstamm der Pulmonalarterie. Hieraus resultiert eine erhebliche Minderperfusion des Versorgungsgebiets dieses Herzkranzgefäßes, meist unter dem Bild eines Vorderseitenwandinfarktes in dem hierfür ungewöhnlichen Säuglingsalter. Pathognomonisch sind tiefes Q und negatives T in I und aVL, RS-Form in V₁ bis V₃, erhöhter Abgang von ST und negatives T in V₃ und V₄, tiefes Q, konvexbogige ST-Senkung und negatives T in V₅ und V₆.

Chirurgisch werden sowohl Umpflanzungs- als auch Bypass-Operationen versucht. Dies war im vorliegenden Fall wegen zweier großer »älterer« Infarktbezirke an der Vorderwand und der Vorderseitenwand nicht mehr erfolgreich.

Literatur: Wesselhoft, H., J. S. Fawcett, A. Johnston: Anomalous origin of the left coronary artery from the pulmonary trunc. *Circulation* 38 (1968), 403.

Privatdozent Dr. H. E. Ulmer, Abteilung Kinderkardiologie, Universitäts-Kinderklinik Heidelberg

Fall 1137

Inflammatorischer linearer verruköser epidermaler Naevus. – Dieses Krankheitsbild ist als eigene Entität erst 1971 abgegrenzt worden und zeigt ein charakteristisches klinisches und histologisches Bild. Im Mittelpunkt der subjektiven Symptomatik steht der konstante Juckreiz, morphologisch zeigt sich eine Rötung mit geringer Schuppung bei konstant bleibender Ausdehnung der Herde. Histologisch findet man in stetigem Wechsel normale und parakeratotisch verhornende Epidermisabschnitte; offenbar sind in den befallenen Bereichen Inseln von Epidermiszellklonen eingestreut, die eine pathologische Verhornung aufweisen.

Bei diesem epidermalen Naevus können therapeutisch operative Maßnahmen, etwa hochtouriges Schleifen, herangezogen werden; in den meisten Fällen wird man sich jedoch auf symptomatische Maßnahmen beschränken.

Privatdozent Dr. W. Sterry, Universitäts-Hautklinik Köln

1 Fall 1138

Aszites. – Auch durch die computertomographische Untersuchung konnte das Krankheitsbild nicht geklärt werden. Die Aufnahme zeigt jedoch eine riesige, sich bis zum Becken erstreckende Aszitesmenge, in der die Darmschlingen frei schwimmen. So ist zum Beispiel ventral rechts das Colon ascendens zu erkennen, während die eigenartige, aus zwei konzentrischen Kreisen hervorgerufene Figur in der Mitte durch eine U-förmig aufgestellte und schwimmende Dünndarmschlinge entstand.

Durch Laparoskopie mit Gewebsentnahme konnte eine diffuse Peritonealtuberkulose bei unbekanntem Primärherd gesichert werden.

Dr. med. habil. H. Treugut, Radiologisches Institut des Katharinenhospitals Stuttgart

Fall 1139

Pilomatrixom (Epithelioma calcificans Malherbe). – Es handelt sich um einen Tumor, der sich in Richtung von Haarmatrixzellen, in besonderen solcher Matrixzellen, die den Haarkortex bilden, differenziert. Der Tumor ist gutartig, fast immer im Gesicht, gelegentlich auch an den Extremitäten lokalisiert, im allgemeinen 0,5 bis 3 cm groß; er kommt fast immer solitär vor. Das Pilomatrixom kann grundsätzlich in jedem Lebensalter auftreten, wenngleich Kinder und Jugendliche bevorzugt betroffen sind. Die Therapie besteht in der einfachen Exzision im Gesunden.

Privatdozent Dr. W. Sterry, Universitäts-Hautklinik Köln

Fall 1140

Romano-Ward-Syndrom. – Es handelt sich um die ausgeprägte Form eines »langen QT-Syndroms«. Bereits im Phonokardiogramm ist neben einem akzidentellen Systolikum zu erkennen, daß die T-Welle weit über das Ende des zweiten Herztons hinaus verlängert ist. Bei normaler mechanischer Systolendauer (350 ms) liegt somit eine erhebliche QT-Verlängerung vor. Die QT-Zeit ist in Ruhe mit 0,54 s um 30% der frequenzbezogenen Norm (0,44 s) verlängert und liegt weit außerhalb des Streubereichs der Norm (0,37–0,46 s). Nach Belastung stieg die QT-Verlängerung auf 40% der Norm an.

Auch bei der Mutter fand sich eine um 35% verlängerte QT-Zeit. Da bei dem Jungen keine Schwerhörigkeit besteht, muß unter Berücksichtigung der Familienanamnese das autosomal dominant vererbliche Romano-Ward-Syndrom angenommen werden. Todesursachen sind ventrikuläre Tachykardien und Kammerflimmern. Mit Propranolol bereits in niedriger Dosierung kann die Letalität von unbehandelt 73% auf 6% gesenkt werden.

Literatur: Schwartz, P. J., M. Periti, A. Malliani: The long QT-syndrome. *Amer. Heart J.* 89 (1975), 378.

Privatdozent Dr. H. E. Ulmer, Abteilung Kinderkardiologie, Universitäts-Kinderklinik Heidelberg

Fall 1141

Mondorsche Krankheit. – Bei dieser Krankheit handelt es sich mit großer Wahrscheinlichkeit um eine Lymphangitis und nicht, wie früher angenommen, um eine Phlebitis (sklerosierende Periphlebi-

42

81

82

121

tis); die Diskussion hierüber ist jedoch noch nicht vollständig abgeschlossen. Die Ätiologie ist unklar. Betroffen ist hauptsächlich die Altersgruppe zwischen 30 und 60 Jahren, und bei Frauen ist die Krankheit dreimal häufiger als bei Männern. Neben der lateralen Thoraxwand ist der Sulcus coronarius eine weitere Prädispositionsstelle.

Die Mondorsche Krankheit geht nicht mit Allgemeinsymptomen einher. Meistens ist die Veränderung nur einige Zentimeter lang, gelegentlich aber bis zu 40 cm. Komplikationen sind nicht bekannt, eine Therapie ist nicht erforderlich.

Privatdozent Dr. W. Sterry, Universitäts-Hautklinik Köln

Fall 1142

122

Ureterocele. – Die linke Aufnahme zeigt eine quer verlaufende Doppelung des Blasenbodens mit nahezu rundem dorsalem Lumen und einem bogig darüberliegenden ventralen Lumen. Das dorsale Lumen gehört zu einer großen Ureterocele, in die der untere gestaute, zu einer Doppelnier links gehörende Ureter (duplex) einmündet.

Nach Kontrastmittelgabe erfolgte nur eine Kontrastierung des Blasenhauptlumens, während in die gestaute Ureterocele hinein keine Ausscheidung erfolgte. Durch die zunehmende Füllung des Hauptlumens wurde die Ureterocele nach links dorsal komprimiert.

Dr. med. habil. H. Treugut, Radiologisches Institut des Katharinenhospitals Stuttgart

Fall 1143

161

Periorale Dermatitis. – Dieses Krankheitsbild ist erst nach dem Zweiten Weltkrieg häufig geworden; beobachtet wird es fast ausschließlich in westlichen Ländern. Betroffen sind überwiegend Frauen zwischen 20 und 40 Jahren. Charakteristisch ist die periorale und periorbikuläre Lokalisation, wobei im typischen Fall ein schmaler Saum um die Lippen von den Veränderungen ausgespart bleibt. Im Gegensatz zur Rosacea, von der sich die periorale Dermatitis durch eine Reihe von Punkten unterscheidet, sind die Papeln und Pusteln deutlich kleiner.

Ätiologisch wurden zahlreiche Faktoren angenommen; gesichert ist, daß die längere Anwendung von lokalen fluoridierten Corticosteroiden in diesem Bereich das Entstehen der perioralen Dermatitis begünstigt. Die Therapie besteht daher im Absetzen der fluoridierten Corticosteroide und in der konsequenten Durchführung einer austrocknenden Lokaltherapie. Den Patientinnen muß mitgeteilt werden, daß es zu Beginn der austrocknenden Therapie zu einer Verschlechterung des Krankheitsbildes kommen kann; im allgemeinen sind die Hautveränderungen unter einem derartigen Vorgehen aber innerhalb von einem Monat vollständig abgeklungen.

Privatdozent Dr. W. Sterry, Universitäts-Hautklinik Köln

Fall 1144

162

Myokardhypertrophie bei Fetopathia diabetica. – Nach klinischem Bild und Anamnese bestand der dringende Verdacht auf eine Fetopathia diabetica. Bei intensiverem Nachfragen stellte sich ein leichter, aber während der Schwangerschaft schlecht eingestellter Diabetes mellitus der Mutter heraus. Kinder diabetischer Mütter haben im Vergleich zu Kindern nicht-diabetischer Mütter ein siebenfach höheres Risiko für strukturelle Herzfehlbildungen, und in bis 40% der Fälle entwickelt sich intrauterin eine ausgeprägte Myokardhypertrophie. Dementsprechend finden sich postpartal neben den allgemeinen Zeichen der diabetogenen Fetopathie röntgenologisch eine Kardiomegalie, im Elektrokardiogramm eine ausgeprägte Hypervoltage unter Bevorzugung der septumnahen Brustwandableitungen V₂ bis V₄ sowie Repolarisationsstörungen in den rechtspräkordialen Ableitungen. Echokardiographisch erscheint das Myokard von linkem Ventrikel und Septum erheblich verdickt,

in einzelnen Fällen besteht eine asymmetrische Septumhypertrophie mit linksventrikulärer Ausflußbahnobstruktion entsprechend einer sekundären Kardiomyopathie vom hypertrophisch-obstruktiven Typ. Digitalisierung ist daher absolut kontraindiziert und zum Teil lebensbedrohlich. Die Veränderungen im Elektrokardiogramm haben sich meist nach 6–8 Wochen zurückgebildet, die Myokardveränderungen sind meist innerhalb von 6 Monaten vollständig reversibel.

Literatur: Way, G. L., R. R. Wolfe, E. Eshaghpour, R. L. Bender, R. B. Jaffe, H. D. Ruttenberg: The natural history of hypertrophic cardiomyopathy in infants of diabetic mothers. J. Pediatr. 95 (1979), 1020.

Privatdozent Dr. H. E. Ulmer, Abteilung Kinderkardiologie, Universitäts-Kinderklinik Heidelberg

Fall 1145

201

Nickel-Allergie (Jeansknopf-Dermatitis). – Nickel-Allergien zählen mit zu den häufigsten Kontaktsensibilisierungen überhaupt. Typischerweise geben die überwiegend weiblichen Patienten eine Unverträglichkeit von Modeschmuck an; auch Klammern von Büstenhaltern und Strumpfhaltern werden dann nicht getragen.

Nickel ist ebenfalls in zahlreichen Knöpfen an Kleidungsstücken enthalten; bei der Gewohnheit, Jeans ohne Unterhemd direkt auf der Haut zu tragen, kommt es bei Sensibilisierten zu einem umschriebenen Kontaktekzem im Bereich des Bauchnabels, das bereits klinisch als Antriebsdiagnose erkannt werden kann. Die Sicherung erfolgt durch eine Epikutantestung.

Privatdozent Dr. W. Sterry, Universitäts-Hautklinik Köln

Fall 1146

202

Zystennieren. – Es liegt das typische Bild von Zystennieren vor, bei dem die Nieren stark vergrößert und mit flüssigkeitsgefüllten, von dünnen Parenchymsäumen umgebenen Hohlräumen ausgefüllt sind. Die linke Niere, besonders in ihrem dorsolateralen Anteil, enthält hier etwas mehr Parenchym als die rechte. Ein Hämatom oder andere zusätzliche Schädigungen sind nicht zu erkennen.

Dr. med. habil. H. Treugut, Radiologisches Institut des Katharinenhospitals Stuttgart

Fall 1147

241

Nekrotisierende Vaskulitis. – Die kutane nekrotisierende Vaskulitis gehört zu den Immunkomplex-Erkrankungen. Die Immunkomplexe, die aus unterschiedlichen Gründen entstehen können und die Vielfalt des Krankheitsbildes verursachen, lagern sich in den Blutgefäßen, den Gelenken sowie in den Glomerula der Nieren ab. Dort kommt es dann zur Komplementaktivierung und zum Ablauf eines stereotypen Entzündungsmusters mit Anlockung von Granulozyten. Die Granulozyten zerfallen im Rahmen des entzündlichen Geschehens: Dieser Prozeß wird als Leukozytoklasie bezeichnet. Ein typisches Beispiel für eine nekrotisierende Vaskulitis ist die Purpura Schönlein-Henoch, die nach Streptokokkeninfekten auftritt; Streptokokkenantigene verbinden sich mit den entsprechenden Antikörpern zu Immunkomplexen. Diese lagern sich in den angegebenen Vorzugslokalisationen ab und führen zu dem charakteristischen klinischen Bild.

Unter Corticosteroid-Therapie lassen sich die nekrotisierenden Vaskulitiden der Haut innerhalb einiger Wochen zum Rückgang bringen. Die Therapie sollte stets so lange fortgeführt werden, bis im Urinsediment keine Erythrozyten mehr nachweisbar sind.

Privatdozent Dr. W. Sterry, Universitäts-Hautklinik Köln

Fall 1148

242

Rechtsatrialer superiorer Vorhofrhythmus. – Die P-Wellen sind in den Ableitungen I, II, III, aVF sowie V₁, V₅ und V₆ positiv, in V₂, V₃ negativ. Wie besonders in den Ableitungen I, aVL, V₃ und V₆ zu

erkennen, sind die P-Zacken doppelgipflig. Die PQ-Zeit beträgt bei einer Frequenz von 52/min 0,10 s. Diese Konstellation der Vorhoff-erregung weist auf ein im rechten oberen Vorhof liegendes Erregungsbildungszentrum hin.

Dr. J. Szentklary, Sanatorium der Barmherzigen Brüder, Bad Reichenhall

Fall 1149

281

Kawasaki-Syndrom. – Die Simplex-Form der angeborenen Epidermolyse kann tatsächlich erst nach 1–2 Lebensjahren an den dann stärker beanspruchten Handtellern und Fußsohlen auftreten. Dieser Patient ist sechs Jahre alt und weist keine chronische, sondern eine akute Anamnese auf. Das spricht gegen einen Scharlach. Eine Interdigitalmykose würde überhaupt keine Allgemeinanamnese aufweisen, das Lyell-Syndrom dagegen eine ganz kurze, vielleicht nur Stunden dauernde, jedoch hochakute. Es bleiben Hautschuppungen im Anschluß an plantare und palmare Erytheme. Sie sind für das Kawasaki-Syndrom typisch.

Prof. Dr. P. Sachtleben, Kinderklinik der Kliniken St. Elisabeth, Neuburg/Donau

Fall 1150

282

Nierenbeckentumor. – Von den differentialdiagnostisch genannten Strukturen im Nierenbecken zeigt nur der Nierenbeckentumor eine solche leichte Dichteanhebung. Die Ursache liegt in der meist spärlichen, aber im Gegensatz zu Konkrementen und Koageln immer vorhandenen Vaskularisation eines Nierenbeckentumors. Etwa 85% der Nierenbeckenkarzinome sind vom »Transitional-cell«-Typ, etwa 15% sind Plattenepithelkarzinome.

Dr. med. habil. H. Treugut, Radiologisches Institut des Katharinenhospitals Stuttgart

Fall 1151

321

Keratoakanthom. – Die Diagnose wurde gesichert durch das histologische Bild: pseudokarzinomatöse, nicht-invasive Epithelhyperplasie mit zentralem Hornpfropf. Der Hornpfropf und das rasche Wachstum sprechen für ein Keratoakanthom, nicht jedoch für ein Plattenepithelkarzinom. Der Tumor kann sich spontan ebenso rasch zurückbilden, wie er entstanden ist. Ein Molluscum contagiosum ist in diesem Alter ungewöhnlich. Das Granuloma pyogenicum (pediculatum) ist weich, rot und vulnerabel.

M. A. Everett, M. D.; D. A. Weigand, M. D., Professor of Dermatology, University of Oklahoma Medical School

Fall 1152

322

AV-Block II. Grades, Typ Mobitz 1, mit wechselndem Blockierungsgrad. – Die PQ-Zeit verlängert sich von 0,22 s zunehmend auf 0,34 s, und nach der vierten P-Zacke ist kein Kammerkomplex zu finden. Die nächste PQ-Dauer beträgt 0,22 s. Nach der darauffolgenden P-Welle fällt die Kammerstole wieder aus. Im Endteil der EKG-Aufzeichnung ist ein dem Anfang entsprechendes Bild zu beobachten.

Es besteht ein AV-Block II. Grades, Typ Mobitz 1 mit 4 : 3- und 2 : 1-Überleitungen im Wechsel. Die Vorhoffrequenz beträgt 72/min, die arrhythmische Kammerfrequenz zwischen 37/min und 68/min. Bei einer ausschließlichen 2 : 1-Blockierung ist eine Differentialdiagnostik zwischen einem Typ Mobitz 1 und 2 nicht möglich. Eine Änderung des Blockierungsgrades, wie auch in diesem Fall, läßt bei einem 2 : 1-Block auf eine Wenckebachsche Periodik schließen.

Im Elektrokardiogramm ist auch ein linksanteriorer Hemiblock zu erkennen (überdrehter Linkstyp). Obwohl im Oberflächen-EKG nur bedingt Hinweise auf eine Lokalisation des AV-Blockes zu gewinnen sind, weist die zusätzliche ventrikuläre Reizleitungsstörung auf eine vom AV-Knoten distal liegende Blockierung hin.

Dr. J. Szentklary, Sanatorium der Barmherzigen Brüder, Bad Reichenhall

Fall 1153

361

Ependymom. – Dieser vergleichsweise seltene Tumor wächst oft im oder benachbart zum Ventrikelsystem. Im Gegensatz zu den meisten anderen Gliomen sind die Ependymome überwiegend gut abgegrenzte Tumoren, die benachbarte Strukturen eher verdrängen als infiltrieren.

Sydney S. Schochet, Jr., M. D., Professor of Pathology, University of Oklahoma Health Sciences Center; William F. McCormick, M. D., Department of Pathology, University of Texas Medical Branch, Galveston

Fall 1154

362

Parasitose: Ascaris lumbricoides. – Auf dem Röntgenbild ist ein Ascaris-Wurm im kontrastierten Dünndarm an einem bandförmigen, 3–5 mm breiten und 5–30 cm langen Füllungsdefekt zu erkennen, der bei Palpation Eigenbewegung zeigen kann. Hat der Wurm das Kontrastmittel aufgenommen, sieht man einen nur 1–3 mm breiten, dem Darmkanal entsprechenden Streifen.

Die Würmer sind meist im Jejunum und Ileum zu finden, aufgrund der Motilität auch gelegentlich im Duodenum und Magen. Bei starkem Befall ist das Darmlumen vollgestopft, was besonders bei Kleinkindern einen mechanischen Ileus zur Folge haben kann.

Dr. med. habil. H. Treugut, Radiologisches Institut des Katharinenhospitals Stuttgart

Fall 1155

401

Meningokokkensepsis. – Auffällig ist die im wahrsten Sinne des Wortes unheimlich rasche Progredienz zu einem schweren Krankheitsbild. Schnakenstiche bei Grippe und Skabies sind damit unvereinbar. Beim toxischen Scharlach müßten akute Tonsillitis, Enanthe des weichen Gaumens und schließlich auch eine andere Morphe des Exanthems vorliegen, wenn auch die Morphe beim heutigen Scharlach oft nicht typisch ist. Gegen toxische Insektenstiche spricht das schwere Allgemeinbild bei geringem Lokalfund. Für Meningokokken sprechen aber die rasche Zunahme der Krankheit (die innerhalb von weniger als einem Tag zum Tode im septischen Schock oder infolge Verbrauchskoagulopathie führen kann), die hochverdächtigen Hautflecken, bei denen es sich um septische Embolien handelt, und schließlich die Somnolenz. Bei Prüfung auf Meningismus ist das Brudzinski-Nackenzeichen nur fraglich positiv, das Kernigische Zeichen angedeutet. Bei der Lumbalpunktion entleerte sich eitrig Liquor mit massenhaft Meningokokken.

Prof. Dr. P. Sachtleben, Kinderklinik der Kliniken St. Elisabeth, Neuburg/Donau

Fall 1156

402

Fehlbildung: retrocavaler Ureter. – Das Computertomogramm entstand in Bauchlage des Patienten, nachdem durch eine Kontrastmittelinjektion die Ureteren kontrastiert worden waren. Man erkennt, daß der weite rechte Ureter hinter die Vena cava inferior zieht und dort ein deutlich schmaleres Lumen aufweist.

Der retrocavale Ureter ist mit einer Häufigkeit von etwa 1% bei Sektionen nicht so selten, wie meist vermutet, und verursacht nur bei Harnstauung gelegentlich klinische Symptome. Er entsteht, wenn bei der Ausbildung der unteren Hohlvene aus den drei longitudinalen Venenzügen die Vena postcardinalis persistiert, damit zur Vena cava inferior wird und so den Ureter hinter sich bringt.

Dr. med. habil. H. Treugut, Radiologisches Institut des Katharinenhospitals Stuttgart

Fall 1157

441

Tuberculosis cutis verrucosa. – Bei dem Patienten wurde eine aktive Lungentuberkulose festgestellt. Die Hautbiopsie ergab ein tuberkulöses Granulom mit säurefesten Stäbchen. Die Hautläsion verschwand während systemischer Tuberkulosebehandlung rasch.

S. D. Lantis, M. D., Associate Clinical Professor of Medicine, University of Wisconsin, Madison

Da bei der Patientin jedoch kurz nach der stationären Aufnahme sonographisch der Verdacht auf ein kleines Solitärkonkrement im Ductus cysticus bestand, das sich zum Zeitpunkt der hier dargestellten Untersuchung aber nicht mehr auffinden ließ, mußte ein Steinabgang vermutet werden. Die Patientin konnte beschwerdefrei die Klinik verlassen.

Dr. med. habil. H. Treugut, Radiologisches Institut des Katharinenhospitals Stuttgart

Fall 1158

442

Supraventrikuläre Tachykardie mit konstantem komplettem Linksschenkelblock und intermittierendem Rechtsschenkelblock. – Es besteht ein regelmäßiger Sinusrhythmus mit einer Frequenz von 104/min bei ständigem Wechsel von Mittellage- und Steiltyp. Konstante PQ-Zeit mit 0,20 s, grenzwertig zum AV-Block I. Grades. Auffällig ist ein konstanter Wechsel zwischen einem kompletten Linksschenkelblock (QRS 0,13 s, OUP in V_1 0,02 s, OUP in V_6 0,07 s) und einem kompletten Rechtsschenkelblock vom Wilson-Typ (QRS 0,15 s, OUP in V_1 0,1 s, OUP in V_6 0,07 s) mit entsprechenden Erregungsrückbildungsstörungen. Der VVI-Schrittmacher ist bei hoher Ventrikelfrequenz blockiert.

Wegen der regelmäßigen Vorhofaktionen mit festem AV-Intervall kommt eine ventrikuläre Extrasystolie oder Tachykardie nicht in Betracht. Bei einer bidirektionalen Tachykardie wäre ein konstanter Rechtsschenkelblock mit zusätzlichem Wechsel zwischen LAHB und LPHB, im übrigen ein Frequenzbereich von 160 bis 220/min zu erwarten.

In diesem Fall handelt es sich um einen asymmetrischen inkompletten trifasikulären Block bei supraventrikulärer Tachykardie (SVT). Da bei allen Kammerkomplexen eine konstante Verzögerung des OUP in V_6 von 0,07 s besteht, liegt ein konstanter kompletter Linksschenkelblock mit vermutlicher Lokalisation im Hauptstamm vor. Hinzu kommt ein intermittierender Rechtsschenkelblock (II. Grades), wahrscheinlich infolge tachykardiebedingter Ermüdung der Erregungsleitung im rechten Tawara-Schenkel. Nach Behebung der Tachykardie zeigte sich ein konstanter kompletter Linksschenkelblock mit AV-Block I. Grades (PQ-Zeit 0,22 s) als Hinweis auf eine zwischen I. (bei Normalfrequenz) und II. (bei SVT) Grad wechselnde Blockierung des rechten Schenkels.

Dr. W. Abenhardt und Dr. L. Böning, Medizinische Klinik III der Universität München im Klinikum Großhadern

Fall 1161

521

Lymphangioma circumscriptum. – Herpes simplex und Herpes zoster können rezidivieren, sie bleiben jedoch nicht andauernd bestehen. Beide gehen außerdem mit einem deutlichen Erythem einher. Dermatitis herpetiformis im Kindesalter bleibt selten so lokalisiert oder dauert selten so lange an. Beim Lymphangioma circumscriptum, einem benignen, lokalisierten Tumor der Lymphgefäße, sind bis zur Pubertät Rezidive nach Behandlung sehr häufig; danach sind Spontanremissionen möglich.

M. A. Everett, M. D., Professor of Dermatology; D. A. Weigand M. D., Professor of Dermatology, University of Oklahoma Medical School

Fall 1162

522

Morbus Ormond. – Der hier vorliegende Befund ist diskret: Sowohl Aorta als auch Vena cava inferior sind von weichteildichtem Gewebe dünn umhüllt, was vor allem zu einem Verstreichen der Zwickel zwischen den Gefäßen untereinander und zur Wirbelsäule geführt hat. Die retroperitonealen Gefäße erscheinen wie »eingebettet«. Die Ureteren sind auf der Aufnahme nicht kontrastiert und nicht sicher zu erkennen.

Beim Morbus Ormond (retroperitoneale Fibrose) führt eine ätiologisch unklare sklerosierende Entzündung des retroperitonealen Gewebes zur Medialverziehung und Stenosierung von Organen, Gefäßen und anderen Gangstrukturen, was bei den Ureteren eine Abflußbehinderung mit entsprechenden klinischen Symptomen zur Folge haben kann.

Dr. med. habil. H. Treugut, Radiologisches Institut des Katharinenhospitals Stuttgart

Fall 1163

561

Kawasaki-Syndrom. – Für Scharlach fehlt die hochrote, für Mononukleose die livid-rote Angina. Da die Schleimhäute nicht atrophisch sind und noch dazu hochrot, ist ein Plummer-Vinson-Syndrom recht unwahrscheinlich. Für eine Verbrühung gibt es aus der Anamnese keinen Anhalt. Für das Kawasaki-Syndrom sprechen die »Lacklippen« und die Himbeerzunge. Es besteht meist noch eine Konjunktivitis, die auf dem Bild aber nur schwach erkennbar ist. Die kutanen Zeichen sind atypische Exantheme und Plantar-Palmar-Erythem. Die Ursache der Krankheit ist unbekannt. Infolge der Ausbildung koronarer Aneurysmen kann es zum plötzlichen Tod der Patienten kommen.

Prof. Dr. P. Sachtleben, Kinderklinik der Kliniken St. Elisabeth, Neuburg/Donau

Fall 1164

562

Pleuraerguß bei Myokardinsuffizienz. – Neben dem vergrößerten Herzen mit den Zeichen der pulmonal-venösen Stauung (große unscharfe Hili, aufgeweitete Oberlappengefäße, einzelne, diffus verteilte alveoläre Stauungsinfiltrate) erkennt man einen linksseitigen Pleuraerguß (basale Verdichtung ohne Abgrenzbarkeit des Zwerchfells, Flüssigkeitslamelle lateral zwischen den Pleuraablättern und perikardial). Auch die Verdichtungszone, die schräg über die linke Lunge verläuft und scharf nach medial, unscharf nach lateral begrenzt ist, wird durch den Pleuraerguß hervorgerufen. Sie entsteht durch Ansammlung von Ergußflüssigkeit im Interlobium, dessen Pleurablätter hilusnah fest aufeinanderliegen können. Das

Fall 1159

481

Meningokokkensepsis. – Die rasche Progredienz bis zum Stupor spricht gegen seborrhoische Dermatitis. Aber auch eine Insulations-Dermatitis mit meningealer Reizung kann nicht vorliegen, weil es Spätherbst ist. Für Masern ist der Verlauf zu foudroyant, außerdem fehlen Konjunktivitis, Rhinitis und Bronchitis. Der Rachen des Kindes war reizlos, ein Scharlach damit ausgeschlossen. Die Lumbalpunktion ergab eitrigen Liquor mit Meningokokken. Die verlängerte Blutungszeit mit Thrombozytenverminderung und die verlängerte Gerinnungszeit kündigten eine entstehende Verbrauchs-koagulopathie an. Ein septischer Schock lag nicht vor, der Kreislauf war glücklicherweise stabil.

Prof. Dr. P. Sachtleben, Kinderklinik der Kliniken St. Elisabeth, Neuburg/Donau

Fall 1160

482

Artefakt. – Es handelt sich um ein stark ausgeprägtes Schichtungsphänomen, entstanden durch unzureichende Mischung von Nativ- und Kontrastgalle. Das Vorliegen multipler »schwebender« kleiner, nicht schattengebender Konkreme konnte durch die Sonographie ausgeschlossen werden, die keinerlei Schallschatten, sondern nur die typische dorsale Schallverstärkung zeigte.

führt dazu, daß die von lateral nach zentral in das Interlobium eindringende Flüssigkeit nur bis zu dieser »Klebestelle« vordringen kann und somit die Dichte abrupt abbricht.

Das Röntgen-Thoraxbild konnte somit keinen Hinweis auf einen fieberhaften Prozeß erbringen.

Dr. med. habil. H. Treugut, Radiologisches Institut des Katharinenhospitals Stuttgart

Fall 1165

601

Toxikose bei Enteritis. – Enzephalitis und Meningitis wurden durch Lumbalpunktion ausgeschlossen. Gegen einen Ileus spricht die Tatsache der häufigen Stühle. Sicher handelt es sich um eine schwere akute Enteritis, als deren Ursache eine Appendizitis nicht sicher ausgeschlossen werden kann. Jedenfalls weist dieses Kind das sicherste Zeichen eines Wasser-Salz-Mangels (Exsikkose) auf: Es ist hohläugig infolge Schwunds der Substanz (des Wassers) aus den Unterlidern. Es ist nicht dystroph: runde Kinnpartie, gepolsterte Subcutis. Augenlider sind im Kindesalter brauchbare Hydrometer.

Prof. Dr. P. Sachtleben, Kinderklinik der Kliniken St. Elisabeth, Neuburg/Donau

Fall 1166

602

Asymmetrische Gallenwegsobstruktion im Leberhilus mit bevorzugter Kompression des linken Hepaticusgabel-Bereiches. Im rechten Leberlappen ist nur die Erweiterung eines großen Hepaticusgabel-Astes nachweisbar, während im linken Leberlappen auch zahlreiche kleine und kleinste intrahepatische Gallenwege dilatiert sind (rechte Bildhälfte). Bemerkenswert ist der geometrisch imponierende sprunghafte Wechsel der Reflexibilität des Leberparenchyms, der in diesem Falle ausnahmsweise eine exakte sonographische Abgrenzung zwischen rechtem und linkem Leberlappen zuläßt. Die Diagnose wurde in der perkutan-transhepatischen Cholangiographie bestätigt. Die bei der Laparotomie gefundenen kleinen Lymphknotenmetastasen eines Adenokarzinoms im Leberhilus waren sonographisch nicht differenzierbar. Der Patient wurde mit einer intrahepatischen bilidigestiven Anastomose versorgt.

Dr. L. Greiner und Dr. P. Prohm, Innere Abteilung und Chirurgische Abteilung des Krankenhauses St. Josef, Wuppertal

Fall 1167

643

Mononukleose. – Bei Mumps wären die Schwellungen vor, nicht hinter den Kieferwinkeln. Masern müßten das katarrhalische Vorstadium wenigstens in irgendeiner Andeutung gezeigt haben. Leukämie verursacht Hautblutungen. Da die Flecken des Exanthems aber wegdrückbar sind, muß es sich um Maculae handeln, nicht um Petechien. Scharlach verläuft heute atypisch, ein so ausgeprägtes Exanthem an den Extremitäten bei weitgehender Aussparung des Stammes wäre aber doch recht ungewöhnlich, zudem waren die Tonsillen nicht hochrot geschwollen, sondern nur livid-schleimig. Im Blutausstrich fanden sich reichlich typische Pfeiffer-Zellen; sie sehen wie große Lymphozyten aus, haben aber zum Unterschied von ihnen eine retikuläre Kernstruktur wie die von Monozyten, und ihr Kern ist nie gelappt. Zudem ist das Plasma transparenter und weist nur am Rande der Zelle einen blauen Verdichtungsstreifen auf.

Prof. Dr. P. Sachtleben, Kinderklinik der Kliniken St. Elisabeth, Neuburg/Donau

Fall 1168

644

Kombinationssystolen bei einfacher AV-Dissoziation. – Es besteht eine Sinusarrhythmie, die Vorhoffrequenz liegt zwischen 37 und 48/min. Die PQ-Zeit variiert zwischen 100 und 190 ms, im vierten Schlag erscheint die P-Zacke hinter dem QRS-Komplex. Neben dem Sinusrhythmus ist ein AV-Knoten-Rhythmus mit einer Eigen-

frequenz von 43/min vorhanden. Bei rechtzeitigem Auftreten wird die Vorhoferregung übergeleitet, bei Abfall der Sinusfrequenz schlagen die Kammern in der Frequenz des AV-Erregungszentrums. Im Falle des zweiten und dritten Schläges trifft die übergeleitete Vorhoferregung auf die in der Kammer schon entspringende Kammererregung. Aus der Interferenz der zwei Erregungswellen entstehen formkritisch unterschiedliche QRS-Komplexe. Statt eines Indifferenztyps ist ein überdrehter Linkstyp zu erkennen. Aus der Interferenz, die auf Ventrikel Ebene stattgefunden hat, ist eine Kombinationssystole entstanden.

Der Nachweis eines Kombinationschlages ist ein wichtiger Hinweis auf eine inkomplette AV-Dissoziation.

Dr. J. Szentklaray, Sanatorium der Barmherzigen Brüder, Bad Reichenhall

Fall 1169

687

Pylorusstenose. – Dieses Kind ist dystroph (spitzes Kinn, fast kein Unterhautfett). Das heutzutage häufige Überfütterungssyndrom kann also nicht vorliegen. Der angeborene Verschluss des Duodenum würde schon in den ersten Lebenstagen zu Symptomen geführt haben. Auch das adrenogenitale Syndrom beginnt schon in der Postnatalzeit. Die Malrotationssyndrome äußern sich mehr in attackenweisem Erbrechen, sind letztlich jedoch nur durch Röntgenuntersuchungen zu differenzieren. Als wahrscheinlichste Diagnose bleibt die hypertrophe Pylorusstenose. Dieses Kind zeigt nicht die Symptome des Wasser-Salz-Mangels (Exsikkose), sondern des Nahrungsmangels (Dystrophie).

Prof. Dr. P. Sachtleben, Kinderklinik der Kliniken St. Elisabeth, Neuburg/Donau

Fall 1170

688

Pyonephrose. – Im Computertomogramm fiel neben den Veränderungen der linken Niere (Rotation, Nierenbeckenstein) keine grobe Veränderung der Morphologie der rechten Niere auf, man beobachtete jedoch eine identische Dichte des Nierenbeckens und des Nierenparenchyms. Somit muß eine Auffüllung des Hohlraumsystems mit solidem Gewebe statt mit Flüssigkeit vorliegen.

Operativ bestätigte sich die Diagnose einer Pyonephrose auf dem Boden einer chronisch abszedierenden Pylonephritis. Es wurde eine Nephrektomie durchgeführt.

Dr. med. habil. H. Treugut, Radiologisches Institut des Katharinenhospitals Stuttgart

Fall 1171

731

Scharlach. – Das Abdomen zeigt sich auch auf dem Bild eingefallen, es war weich und druckindolent. Peritonitis und Gastroenteritis sind damit schon unwahrscheinlich, ebenso die akute Gastritis nach Einnahme von unverträglicher Nahrung, der »verdorbene Magen«. Die Racheninspektion zeigt hochrote, glasig geschwollene Tonsillen mit weiß-gelblichen Flecken; dies muß eine bakterielle Tonsillitis sein. Die (virale) Grippe scheidet damit ebenfalls aus. Es bleibt der Scharlach, bei dem die zunächst weiß belegte »Porzellanzone« ebenso typisch ist wie das hier gezeigte Exanthem. Es ist in der Einzeleffloreszenz klein fleckig, 1–2 mm im Durchmesser, neigt zu Konfluenz (»Scharlachröte«) und ist, wenn man mit dem Finger darüberstreicht, infolge follikulärer Schwellungen »chagriniert«, ähnliche einer Gänsehaut. An diesem Tastbefund kann man auch bei Negern ein Scharlachexanthem diagnostizieren.

Prof. Dr. P. Sachtleben, Kinderklinik der Kliniken St. Elisabeth, Neuburg/Donau

Fall 1172

732

Abszesse. – Der Luft-Flüssigkeits-Spiegel im rechten Oberbauch ist nicht der rechten Flexur zuzuordnen (sie ist pelottiert und leicht nach kaudal-medial abgedrängt), sondern zeigt einen einschmelzenden Prozeß an. Die vereinzelt kleinen Spiegelbildungen von

Dünn- und Dickdarm deuten auf eine noch nicht massiv ausgeprägte Tonusstörung (»Subileus«) hin.

Intraoperativ fand sich neben dem subhepatischen Abszeß rechts auch ein riesiger subphrenischer Abszeß links, die »Magenblase« der Röntgenaufnahme entsprach somit auch einer Einschnürlungshöhle. Eine Ursache der multiplen Abszedierungen wurde nicht gefunden. Die Hüftkopfnekrose rechts war bekannt.

Dr. med. habil. H. Treugut, Radiologisches Institut des Katharinenhospitals Stuttgart

Fall 1173

Endogenes juveniles Ekzem. – Das Fehlen jeglicher Mund- und Rachenbefunde spricht gegen Masern und Scharlach. Skabies würde örtlich gehäufte und verschiedene große Effloreszenzen hervorrufen. Das perakute Lyell-Syndrom führt zur Ablösung der Epidermis und zu Blasen wie nach Verbrennungen. Für ein Ekzem sprechen der starke Juckreiz (Kratzspuren) und die Infiltration der Haut durch winzige Knötchen.

Prof. Dr. P. Sachtleben, Kinderklinik der Kliniken St. Elisabeth, Neuburg/Donau

Fall 1174

Hämatom. – Man erkennt im Bereich der früheren linken Niere eine rundliche Struktur von etwa 7 cm Durchmesser, die einzelne Areale höherer Dichte aufweist und mit einer Infiltration der links lateral-dorsalen Abdominalwand in Verbindung steht. Die hohe Dichte ist typisch für ein frisches Hämatom, da durch die Resorption des Blutplasmas der prozentuale Anteil der korpuskulären und dichteren Blutbestandteile zunächst ansteigt.

Operativ fand sich ein Hämatom im linken Nierenlager mit älteren und frischen Blutungen, dessen Ursache nicht geklärt werden konnte. Eine Infektion des Hämatoms konnte ausgeschlossen werden.

Dr. med. habil. H. Treugut, Radiologisches Institut des Katharinenhospitals Stuttgart

Fall 1175

Morbus Schönlein. – Die Serumkrankheit ist durch Ausschluß vorausgegangener Seruminjektionen, der Morbus Werlhof und die Leukämie sind schon durch die Art der Hautflecken unwahrscheinlich. Diese zeichnen sich durch die Gemeinsamkeit von Macula (Kapillarerweiterung, wegdrückbar) und Purpura (kutane Blutung, nicht wegdrückbar) aus. Bei Thrombopenie dominiert die reine Purpura. Ob sich hier eine chronische Polyarthrit entwickelt, kann letztlich nur der weitere Verlauf zeigen; zu erwarten ist es aber nicht, denn dem Exanthem fehlen die Merkmale des Erythema exsudativum multiforme. Es ist aber typisch für Morbus Schönlein: Er bevorzugt die Extremitäten und hier die Streckseiten, ist mehr oder weniger symmetrisch und am sichersten am Gesäß zu finden. Das Typische der Einzeleffloreszenz ist die Mischung von Macula und Pettechie. Die (flüchtigen) Gelenkschwellungen, bei dieser Patientin besonders des rechten Knies, sind eine bekannte Komplikation (»rheumatoide Purpura«), ebenso die Bauchkoliken (Morbus Henoch) infolge Darmblutung. So verwundert es nicht, wenn das Kind noch am Abend des gleichen Tages begann, Teerstühle zu entleeren.

Prof. Dr. P. Sachtleben, Kinderklinik der Kliniken St. Elisabeth, Neuburg/Donau

Fall 1176

Mediastinalphlegmone. – Hier liegen die klassischen Röntgenveränderungen einer Mediastinitis bzw. Mediastinalphlegmone vor: Verbreiterung und unscharfe Begrenzung des Mediastinums mit Auflockerung der Strukturen, partielle Gewebeeinschmelzung mit Spiegelbildung, Pleuraerguß, Weichteilemyxem.

771

Auch die erneute Intubation des Patienten zu Beginn der Intensivbehandlung erwies sich aufgrund der bestehenden anatomischen Verhältnisse als schwierig. Nach operativer Eröffnung des Mediastinums und unter antibiotischer Therapie wurde die zunächst prognostisch ungünstig beurteilte Infektion beherrscht.

Dr. med. habil. H. Treugut, Radiologisches Institut des Katharinenhospitals Stuttgart

Fall 1177

Nephrotisches Syndrom. Konjunktivitis verlangt Rötung der Konjunktiven. Schlaufen sind nur nach dem Schlaf und nur gering geschwollen. Quincke-Ödeme sind flüchtiger, gegebenenfalls besteht auch Familiarität. Im Harn dieses Patienten zeigte sich eine ungewöhnlich starke Proteinurie (20%). Bei einer Nephritis wäre sie weniger ausgeprägt, dazu bestünde eine deutliche Erythrozyturie, die hier nur gering vorhanden war. Es handelt sich also um Lidödeme bei nephrotischem Syndrom. Hierfür spricht auch das Kleinkindesalter. Außerdem traten schließlich auch periphere Ödeme auf, ja selbst ein Pleuraranderguß wurde gefunden.

Prof. Dr. P. Sachtleben, Kinderklinik der Kliniken St. Elisabeth, Neuburg/Donau

Fall 1178

Anämie: Thalassämie. – Bei der Thalassämie liegt eine hereditäre Störung der Hämoglobinsynthese mit konsekutiver Anämie vor. Die Thalassaemia major, auch mediterrane Thalassämie oder Cooley-Anämie genannt, ist dabei die homozygote, die Thalassaemia minor die heterozygote Form.

Bei der Thalassaemia major erreichen nur wenige Kinder das Adoleszentenalter. Sie weisen Mißbildungen des Gesichts und innerer Organe sowie Entwicklungs- und Reifestörungen auf. Bei der Thalassaemia minor bestehen unterschiedliche klinische Symptome und Befunde, die zwischen minimalen Erythrozytenanomalien und einer schweren Anämie variieren.

Die Röntgenveränderungen entstehen durch eine erythroide Hyperplasie des Knochenmarks mit Erweiterung der Markräume und Verdünnung durch Druckatrophie des Cortex. Typischerweise erkennt man in der unteren Brustwirbelsäule neben der Osteoporose die rechteckigen Depressionen der Grund- und Deckplatten ohne Beteiligung der ventralen und dorsalen Wirbelkörperanteile, hervorgerufen durch Ischämie im Zentrum der Knochenplatte.

Dr. med. habil. H. Treugut, Radiologisches Institut des Katharinenhospitals Stuttgart

Fall 1179

Scharlach. – Es handelt sich um eine »Übergangszunge«, von der weiß belegten Porzellanzunge zur rot-follikulären Himbeerzunge, also um Scharlach. Hierfür sprechen Fieber und besonders die Rachenbefunde, wenn auch das Exanthem sich nur flüchtig darstellt und das Exanthem ganz fehlt. Scharlach verläuft heute oft atypisch. Er wird wahrscheinlich auch gelegentlich einmal übersehen. Glücklicherweise kommt es kaum noch zu den früher so gefürchteten Komplikationen Karditis und Nephritis.

Prof. Dr. P. Sachtleben, Kinderklinik der Kliniken St. Elisabeth, Neuburg/Donau

Fall 1180

Ruptur einer Corpus-luteum-Zyste. – Das Röntgenbild des Abdomens ist unauffällig bis auf einen typischen Befund im kleinen Becken. Man erkennt hier, beiderseits der Blase anliegend, annähernd dreieckige Verdichtungen (»Hundeohren«), die einer Auffüllung und Verbreiterung der paravesikalen Peritonealrecessus durch Flüssigkeit entsprechen. Im Uteruscavum befindet sich eine Metallschleife.

851

852

891

892

Bei der Operation wurde eine rupturierte Corpus-luteum-Zyste gefunden, aus der 1,5 l Blut in die Peritonealhöhle ausgetreten waren. Es wurde eine Zystenexstirpation aus dem linken Ovar mit Adhäsiolyse durchgeführt.

Corpus-luteum-Zysten erreichen eine Größe von mehr als 10 cm und führen bei ihrer Ruptur, wie in diesem Fall, gelegentlich zu schweren Blutungen mit Kreislaufkollaps. Die Symptome und Befunde können eine ektope Schwangerschaft vortäuschen.

Dr. med. habil. H. Treugut, Radiologisches Institut des Katharinenhospitals Stuttgart

Fall 1181

931

Amöbiasis. – In den ulzerösen Nekrosen der Rektumbiospie wie auch im Lumen der Appendix finden sich zahlreiche Amöben (*Entamoeba histolytica*). Die Protozoen sind größer als menschliche Makrophagen, bei Hämatoxylin-Eosin-Färbung blaß eosinophil, deshalb in der Übersicht schwer erkennbar, bei PAS-Färbung jedoch kräftig positiv (a). Die mit dem durchgängigen Stuhl ausgeschiedene vegetative Form (Durchmesser 15–50 µm) ist gegen Austrocknung und proteolytische Verdauung im Darm extrem empfindlich, daher nicht sehr infektiös. Charakteristisch ist für sie die Phagozytose von Erythrozyten (b). Bei den Rindfleisch-Zellen des Typhus handelt es sich dagegen um kleinere, wirtseigene Makrophagen, die Erythrozyten inkorporieren. Die zweite infektiöse Form, die vom Träger und Rekonvaleszenten abgegeben wird (Durchmesser 10–20 µm), enthält vier Kerne. Eine Zystenwand schützt sie vor Austrocknung und Andauung. Sie wird durch kontaminiertes Wasser und Nahrungsmittel übertragen; im Dünndarm wird ihre Wand aufgelöst; bevorzugt in Coecum und Colon ascendens, an zweiter Stelle in Sigma und Rektum, verursacht sie Ulzerationen. Die Parasiten wandern durch die Schleimhautkrypten in die Lamina propria, vor der Muscularis mucosae werden sie meist aufgehalten. Durch seitliches Ausschwärmen entstehen unterminierende Ulcera. Perforationen der Darmwand kommen gelegentlich vor. Die entzündliche Reaktion ist histologisch auffallend spärlich, wenn nicht durch sekundäre bakterielle Infektion modifiziert. Die Amöben können in Blutgefäße eindringen und, in die Leber verschleppt, Abszesse verursachen. Lungenabszesse entstehen infolge Perforation von der Leber aus oder direkt hämatogen. Im vorliegenden Falle wurde postoperativ sono- und computertomographisch ein großer Abszeß in der Leber entdeckt. Die Amöbiasis ist keineswegs eine exotische Tropenkrankheit: Dieser Patient hatte seinen Sommerurlaub in Norditalien verbracht.

Pathologisches Institut, Katharinenhospital, Stuttgart

Fall 1182

932

Fettleber. – Im Computertomogramm wurden –16 Hounsfield-Einheiten, entsprechend 60% Fetteinlagerung, gemessen. Unter Alkoholkarenz kam es zu einer völligen Normalisierung der Befunde.

Vermutlich infolge toxischer Hemmung der Phagozytose im retikuloendothelialen System (RES) der Leber ergibt das Kolloidszintigramm nicht selten bei deutlicher Steatosis hepatis eine inhomogene, verminderte Speicherung. Gegen eine Zirrhose sprechen die deutliche Vergrößerung der Leber ohne verplumpende Deformierung, die normal große Milz und das Fehlen einer vikariierenden Speicherung im RES des Skelettes. Die differentialdiagnostische Abgrenzung gegen eine diffus-kleinfleckige Metastasierung ist szintigraphisch nicht sicher möglich.

Dr. M. Zieger, Radiologisches Institut des Katharinenhospitals, Stuttgart

Fall 1183

971

Epidermaler Naevus. – Dieser Naevus der Epidermis ist im vorgestellten Fall linksseitig als genetisches Mosaik determiniert. Da die Haut während der Embryonalphase streifenförmig auswächst und

die auswachsenden Streifen nur teilweise die genetische Fehlinformation des Naevus tragen, kommt es zu diesem parallel verlaufenden Wechsel zwischen erkrankten und gesunden Hautarealen. Dabei wird das streifenförmige Wachstumsmuster der Haut erkennbar (»Blaschko-Linien«).

Da in der Anamnese Angaben über eine Entzündung fehlen, scheiden die Incontinentia pigmenti, der inflammatorische lineare verruköse epidermale Naevus sowie die Narbenbildung nach Zoster aus. Ein Naevuszellnaevus kann ebenfalls im Verlauf der Blaschko-Linien auftreten und klinisch gelegentlich nicht abzugrenzen sein. In diesem Fall muß die histologische Untersuchung die endgültige Diagnose erbringen.

Privatdozent Dr. W. Sterry, Universitäts-Hautklinik Kiel

Fall 1184

972

Kleinzelliges Bronchialkarzinom mit Myokardmetastasen und Perikarderguß. – Die zytologische Diagnose wurde wenige Wochen später autopsisch bestätigt. Bemerkenswert ist der Metastasenbefall ausschließlich des Myokards, was besonders in der frontalen Projektion gut sichtbar ist (Metastasendurchmesser bis 1,5 cm). Die Metastasen hatten die Wand der linken Kammer vollständig durchsetzt und waren zum Teil nekrotisch. Das freie Perikard war normal. Kardiale Arrhythmien bestanden nicht.

Privatdozent Dr. K. Hagemann, Abteilung Innere Medizin I, Krankenhäusern Dürren

Fall 1185

1011

Kongestive Kardiomyopathie. – Die primäre Herzmuskelerkrankung geht mit einer Texturstörung (»Webfehler«) des Herzmuskels einher und kommt familiär gehäuft vor. Schon lichtmikroskopisch waren abnorme Faserverläufe und die für solche Kardiomyopathien oft typische plexiforme Fibrose aufgefallen. Die elektronenmikroskopische Abbildung zeigt einen kleinen Ausschnitt einer Herzmuskelfaser, deren Fibrillen (Bündel von Aktin- und Myosinfilamenten) schräg von rechts unten nach links oben verlaufen. Rechts oben eine einigermaßen regelrechte Fibrille aus parallel gelagerten Filamenten mit dunklen Z-Streifen. In Bildmitte eine abnorme »Verknotung« einer unregelmäßig geknickt verlaufenden Fibrille, gleichzeitig erhebliche Vermehrung osmiophiler (schwarzer) Z-Streifensubstanz. Links unten (Pfeil) abrupt quer getroffene dicke Myosin- und dünne Aktinfilamente in einem sonst längs getroffenen Filamentbündel. Die Ätiologie der primären Kardiomyopathie ist unbekannt. Sie kommt als hypertrophische und als kongestive Form vor.

Pathologisches Institut, Katharinenhospital, Stuttgart

Fall 1186

1012

Verkalktes Hämatom. – Das Urogramm nach dem Trauma zeigte eine Nierenruptur mit Hämatom. Der verkalkte Bezirk wies im Computertomogramm eine 5–8 mm dicke Kalkschale auf und zeigte im Inneren mit 25 Hounsfield-Einheiten solide Dichtewerte ohne Kontrastanreicherung.

Bei einem malignen Tumor sind die nicht seltenen Verkalkungen meist schollig-diffus über den Tumor verteilt und unregelmäßig angeordnet. Bei einem Echinococcus cysticus finden sich außer eindeutig zystischen Anteilen feine, millimeterdünne Kalkschalen, die sonographisch keine oder nur eine geringe Reflexion ergeben. Zu einem verkalkten Aneurysma paßt die Lokalisation kranio-lateral im Parenchym der Niere nicht. Auch verkalkte Zysten weisen nur eine dünnere Kalkschale auf.

Dr. M. Zieger, Radiologisches Institut des Katharinenhospitals, Stuttgart

Namensverzeichnis¹

A

Abendroth, D. **334**
 Ackermann, R. **6, 92**
 Adam, W.-E. **403**
 Alberti, W. **750, 755**
 Albrecht, J. **1048**
 Albrecht, K. H. **800**
 Alexander, K. **947**
 Alt, E. **661**
 Althoff, P. H. **97**
 Amberger, H.-G. **745**
 Andresen, D. **532**
 Anselstetter, V. **840**
 Ansgor, R. **488**
 Anstätt, T. **817**
 Arndt, M. **616**
 Arnold, H. **910, 913, 976**
 Arnold, R. **806**
 Arnold, W. **460, 1028**
 Arntz, H. R. **513**
 Arribas, J. M. **195**
 Augustin, J. **965**
 Aul, C. **506**

B

Baedeker, W. **661**
 Bähr, R. **586**
 Bässler, K. H. **1043**
 Balcke, P. **157**
 Balzer, K. **1023**
 Balzereit, F. **987**
 Bamberg, M. **750, 755**
 Bartels, O. **824**
 Barth, V. **34**
 Bauernfeind, A. **697**
 Baumgartner, G. **170**
 Baur, X. **257**
 Beck, L. **1005**
 Beck, O. A. **330**
 Becker, E. **853**
 Becker, H. C. **569**
 Becker, H. D. **626**
 Becker, H. M. **295, 334**
 Begemann, H. **275**
 Berchtold, R. **626**
 Berger, H. **156, 174**
 Berger, M. **765, 1045**
 Bertram, B. **651**
 Besser, R. **922**
 Beyer, J. **355, 589**
 v. Bibra, H. **661**
 Bierich, J. R. **35**
 Bitsch, R. **476**
 Blaumeiser, G. **205**
 Bleckmann, H. **180**
 Bleifeld, W. **316, 403, 678**

Bleistein, J. **554**
 Bloch, R. **976**
 Blum, A. L. **845**
 Bockemühl, J. **243, 727**
 Bodemann, H. H. **910, 913**
 Boeckl, O. **581**
 Böhme, H. **745**
 Börsch, G. **395**
 Bohle, A. **437**
 Boisten, H. P. **6, 92**
 Bolla, K. **496**
 Bolm-Audorff, U. **853**
 Bosch, H. **1043**
 Botzenhart, K. **436**
 Braun, C. **651**
 Braun, J. **622**
 Braun-Falco, O. **884**
 Breckwoldt, M. **113**
 Brede, H. D. **10, 246**
 Breuer, G. **363**
 Breuer, N. **1023**
 Briel, R. C. **993**
 Brinkmann, Beate **483**
 Brittinger, G. **555**
 Brock, M. **68**
 Brölsch, C. **861**
 Brückner, R. **523**
 Brugger, E. **166**
 Bruhn, H. D. **556, 596**
 Brumen, L. **976**
 Brunner, H. **569**
 Buchenau, H. **1043**
 Buchwalsky, R. **645**
 Büchele, W. **941**
 Büchels, H. **295**
 Bücking, J. **671**
 Bühlmann, A. A. **783**
 Büll, U. **626**
 von Bülow, M. **702**
 Burger, L. **817**
 Burghardt, W. **166**
 Busch, F. W. **1015**

C

Callies, R. **755**
 Carton, J. A. **195**
 Caspary, W. F. **113**
 Cegla, U. **392**
 Classen, M. **10, 246, 422, 477, 817**
 Clemens, R. **987**
 Comberg, H.-U. **36**
 Cotta, H. **968**
 Creutzig, H. **861**
 Criée, C. P. **499**
 Curio, G. **68**

D

Därr, W. **437**
 Dalichau, H. **638**
 Dambacher, M. A. **74**
 Dammann, H. G. **640, 886**
 Dannehl, K. **174, 991**
 Danzer, E. **170**
 Daub, D. **638**
 Daum, R. **156**
 Davogg, S. **170**
 Deinhardt, F. **763**
 Delfs, F.-M. **515**
 Demeter, J. **597**
 Dennin, R. H. **214**
 Deufel, Th. **537**
 Diaz, J. **195**
 Dichgans, J. **369**
 Diederich, K.-W. **596**
 Diehl, V. **221, 261**
 Diehm, C. **745**
 Diener, H. C. **369**
 Dieterle, P. **1013**
 Dihlmann, W. **796**
 Dimroth, H. **745**
 Distler, A. **114, 285, 290**
 Djawari, D. **496**
 Doden, W. **395**
 Döring, A. **412**
 Domschke, S. **250**
 Domschke, W. **250**
 Donat, K. **645**
 Donhuijsen, K. **755**
 Dopstadt, K. **174**
 Dorow, P. **180**
 Doss, M. **1007**
 Driehorst, J. **197**
 Droese, M. **626**
 Duda, D. **388**
 Dürr, W. **805**

E

Ebert, W. **136**
 Eckhardt, R. **1028**
 Edler, L. **976**
 Effert, S. **651**
 Eggers, H. J. **483**
 Egloff, L. **1032**
 Eigler, F. W. **800**
 Elke, M. **514**
 Ell, Ch. **38**
 Emmerich, B. **24, 26**
 Emrich, D. **626**
 Enzensberger, R. **899**
 Enzmann, V. **478**
 v. Essen, R. **218, 651**
 Eversmann, T. **432**

F

Fabel, H. **392**
 Fahrlander, H. **73, 968**
 Federlin, K. **419**
 Feichter, G. E. **738**
 Felder, M. **105, 108**
 Feldmeier, H. **205**
 Felix, R. **870**
 Feller, A. **556**
 Fiedler, H. **77, 766**
 Fiegler, W. **870**
 Firnhaber, W. **438**
 Fischer, H. **205**
 Fischer, J. Th. **506**
 Fischer, M. **947**
 Fischer, P. **450**
 Fischer, P.-A. **987**
 Fliedner, T. M. **265**
 Förster, S. **1023**
 Follath, F. **340**
 Franke, D. **446**
 Frech, K. **697**
 Frentzel-Beyme, B. **75**
 Friesenwinkel, H. **927**
 Frimberger, E. **1020**
 Fritsch, H. **976**
 Fritze, D. **976**
 Fröhlich, J. **326**
 Frühmorgen, P. **553**
 Fuchs, E. **853**
 Fuchs, K.-H. **813**
 Fünfgeld, E.-W. **987**
 Fürst, H. **295, 334**

G

Gabka, J. **844**
 Gail, K. **927**
 Galvan, G. **581**
 Gamstätter, G. **606**
 Ganz, M. **426**
 Gebhardt, J. **429**
 Geisler, L. S. **392**
 Gerber, W. D. **369**
 Gerchow, J. **685**
 Gerok, W. **326**
 Gheorghiu, Th. **483**
 Glatzel, J. **194**
 Gleichmann, U. **645, 689**
 Gmähle, E. **36**
 Goebell, H. **1023**
 Goeckenjan, G. **563**
 Gödde-Salz, Elisabeth **596**
 Goedel-Meinen, L. **661**
 Görg, C. **357**
 Görg, K. **357**
 Görg, H. H. **68**
 Goerttler, K. **738**
 Göttfert, G. **656**

¹ Die fettgedruckten Zahlen bedeuten Originalarbeiten.

Goll, K. H. 684
 Gonska, B.-D. 666
 Goronzy, J. 323
 Gottesleben, A. 845
 Gratz, K. 861
 Greten, H. 807
 Grethel, K. U. 640
 Gries, F. A. 97, 156, 174, 991,
 1043
 Grodzicki, R. L. 92
 Gropp, C. 357
 Grosser, K. D. 645
 Groth, C. 1006
 Grube, E. 434
 Grünekle, D. 385
 Grüntzig, A. 675
 Gugler, R. 517, 906
 Gunzer, U. 684
 Gutekunst, R. 398
 Guthy, E. 116, 515

H

Haag, D. 738
 Haase, H.-J. 987
 Habermann, P. G. 547
 Hagenmüller, F. 422, 697
 Hahn, B. 231
 Halhuber, C. 645
 Hanefeld, F. 556
 Haneke, E. 496
 Hanisch, I. 976
 Hanrath, P. 403, 722
 Hansen, D. 15
 Harenberg, J. 55, 951
 Hartung, S. 92
 Haubenstock, A. 157
 Haupt, E. 210
 Hauri, D. 347
 Hausen, B. M. 300
 Havemann, K. 357
 Heber, A. 436
 Hedde, J. P. 870
 Heep, J. 738
 Heidemann, P. H. 773
 Heidrich, H. 745
 Heim, M. E. 976
 Heimpel, H. 83, 840
 Heinrich, F. 745
 Heinrich, J. 166
 Heinrich, R. 317
 Heizmann, W. 436
 Helm, Brigitte 697, 899
 Hendrickx, Ph. 145
 Henninger, S. 767
 Henschler, D. 74, 155, 763
 Henß, H. 976
 Hepp, K. D. 1043
 Heptner, G. 250
 Herhan, J. 214
 Herrmann, M. 941
 Herrmann, R. 976
 Herrmann, W. P. 6
 Hesselmann, J. 317
 v. Heyden, H. W. 15
 Heyes, H. 388
 Hildebrandt, J. 198
 Hilger, H. H. 714

Hinrichs, A. 722
 Hinterberger, R. 523
 Hintze, G. 875
 Hirche, H. 745
 Hochrein, H. 330
 Höpker, W. W. 738
 Hördegen, K. M. 887
 Hofer, T. 981
 Hoffmann, H. 15
 Hofmann, D. 392
 Hollstein, H. 75
 Holtkamp, W. 62
 Horn, K. 576, 1048
 Hotz, J. 1023
 Hrynyschyn, K. 957
 Hübner, G. 537
 Hürter, P. 97
 Hütteroth, T. H. 727
 Hundeshagen, H. 861
 Hunstein, W. 265

I

Irsigler, K. 97, 765

J

Jäger, K. 845
 Jahnke, K. 1043
 Jansen, W. 714
 Jenss, H. 438
 Jerusalem, F. 34, 554
 Jilg, W. 763
 Jonat, W. 46
 Joppich, I. 435
 Junginger, Th. 618

K

Kabatzki, J. 6, 92
 Kaboth, U. 15
 Kahles, H. 656
 Kaltenbach, M. 123, 403
 Kaltwasser, J. P. 235
 Kamps, H. 274
 Karnik, R. 356
 Kaschka, W. P. 1000
 Kaschka-Dierich, Christine
 1000
 Kasper, W. 87
 Katz, R. 976
 Kaufmann, L. 1046
 Kaufmann, M. 738
 Kaukel, E. 437
 Keck, E. W. 1046
 Keferstein, R. 616
 Kehl, O. 340
 Keil, U. 412
 Keitel, U. 75
 Keller, F. 285, 290
 Kern, H. F. 702
 Ketterl, W. 926
 Keymling, M. 976
 Kindermann, W. 31
 Kirchhoff, U. 882
 Klapdor, R. 702, 807
 Kleibel, F. 944

Klein, G. 661
 v. Klinggräff, G. 429
 Klöppel, G. 702
 Kluck, M. 369
 Knapp, W. 46
 Kneba, M. 499
 Knecht, M. 253
 Kniewald, T. 547
 Kochsiek, K. 656, 684
 Köbberling, J. 354, 875
 Köhler, U. 853
 Kömpf, D. 735
 König, A. 576
 König, F. 735
 König, H. 976
 König, H. G. 374
 König, H. J. 38
 Koenig, W. 412
 Köpcke, W. 709
 Körbling, M. 265
 Kötzner, H. 537
 Kolb, S. 824
 Koller, P. U. 97
 Koop, H. 806
 Kopsa, H. 157
 Korb, G. 110
 Kortmann, K.-B. 957
 Korz, R. 132
 Koschinsky, T. 97, 174, 991
 Krämer, B. 465
 Krämer, G. 922, 1028
 Krämer, K. L. 738
 Kraft, A. 910, 913
 Krause, E. 553
 Krause, W. 569
 Kremer, P. 722
 Kremp, H. 1048
 Krempien, B. 954
 Kreutz, G. 290
 Kreuzer, H. 499, 666
 Krüger, K. 6
 Kruse-Jarres, J. D. 783
 Kubli, F. 50, 738
 Kübler, W. 55, 403, 465
 Kühn, W. 738
 Kühner, W. 613, 1020
 Küllmer, B. 117
 Kuhlmann, H. 941
 Kuhlmann, J. 59
 Kukiolka, H. 369
 Kulhanek, F. 196
 Kunath, U. 450
 Kunert, H. 443
 Kunz, C. 147
 Kunze, St. 738
 Kupczyk, D. 622
 Kurschel, E. 779
 Kurth, R. 246
 Kurtz, W. 817
 Kuwert, E. 902

L

Lambertz, H. 218
 Lamerz, R. 276
 Landthaler, M. 884
 Lang, C. 718
 Lang, W. 861
 Lange, W. 864

Lankisch, P. G. 720
 Lanser, K. 868
 Larson, A. 773
 Laube, H. 1043
 Laubenthal, H. 36, 197
 Lauritzen, C. 1005
 Lauschke, G. 198
 Leblanc, S. 397
 Lehmann, H. J. 114
 Lehmann, Ulrike 807
 Lehoczky, D. 597
 Leisner, B. 626
 v. Leitner, E.-R. 290, 532
 Leitner, H. 356
 Lembcke, B. 720
 Leyendecker, G. 462
 Lichtlen, P. 403, 645
 Liebau, G. 656
 v. Lilienfeld-Toal, H. 147
 Lindemann, K. 527
 Lingenthal, G. 702
 Littmann, K. 800
 Löllgen, H. 350
 v. Lohr, R. 10, 246
 Lohse, A. 472
 Lucke, C. 792
 Ludwig, M. 857
 Lüderitz, B. 203, 316, 492, 595
 Lüscher, T. 345, 347
 Lüthy, R. 834
 Luska, G. 145

M

Maass, H. 46
 Maass, U. 745
 Madaus, W.-P. 158
 Mäser, Erika 419
 Magnussen, H. 392
 Maier, H. 738
 Maier, K. 640
 Mainzer, K. 853
 Maisch, B. 656, 684
 Manegold, Ch. 954
 Manegold, K. 422
 Marberger, M. 356
 Masihi, K. N. 864
 Mathey, D. G. 678
 Mathies, H. 382
 Matthes, K. J. 253
 Matthias, W. 557
 Matthys, H. 392
 Maurer, H.-J. 1008
 Mebs, D. 685
 Mecking, H. 927
 Medici, T. C. 753
 Meffert, O. 792
 Mehnert, H. 236, 916, 1043
 Meier, B. 675
 Meier, C. 828
 Meier, J. 378
 Meinertz, T. 87
 Menge, H. 844
 Menninger, H. 397
 Merx, W. 651
 Mester, H. 476
 Meßmer, K. 36
 Meuret, G. H. 350

Meusers, P. 555
 Meyer, J. 87
 Meyer, M. 378
 Meyer zum Büschenfelde, K. H. 727, 1028
 Meyer-Hoffmann, H. 483
 Modestin, J. 196
 Mörl, M. 501, 503, 745
 Molzahn, M. 285, 290
 Mraz, W. 412
 Mühlhauser, Ingrid 1045
 Müller, A. 50, 738
 Müller, H.-A. 845
 Müller, H. A. G. 783
 Müller, J. 127
 Müller, J. M. 618
 Müller, P. 640, 886
 Müller, S. C. 764
 Müller, St. 861
 Müller-Bühl, U. 745
 Müller-Lissner, St. A. 576, 1048
 Müller-Plathe, O. 527, 1048
 Müller-Vahl, H. 786
 Münch, R. 834
 Munderloh, K. H. 833
 Mundinger, A. 833
 Myhr, S.-O. 845

N

Nagel, G. A. 15, 62
 Nakrout, A. 97
 Nassauer, L. 1043
 Naumann, G. O. H. 64
 Nesser, H. J. 170
 Neuhaus, P. 861
 Neundörfer, B. 735
 Neuner, C. 326
 Niederle, N. 779
 Niethard, F. U. 194
 Nitsch, J. 492
 Nolte, D. 392

O

Oehler, G. 253
 Oehmichen, M. 101
 Offermann, G. 290
 Ohgke, H. 728
 Okonek, S. 75
 Ortner, W. 581
 Ostendorf, P. 1015
 Oster, P. 235, 884
 Osterspey, A. 714
 Ottenjann, R. 443, 613, 1020
 Otto, H. F. 187

P

Pacholke, H. 330
 Panahi, S. 76
 Panzram, G. 733
 Papadopoulos, I. 136
 Paumgartner, G. 709
 Paur, R. 363
 Pedal, I. 101, 374
 Permanetter, W. 511

Peter, J.-H. 853
 Peter, K. 36
 Petrides, P. 1045
 v. Petrykowski, W. 773
 Petzold, R. 1043
 Phillip, J. 422, 477
 Pichlmaier, H. 626
 Pichlmayr, R. 861
 Pircher, W. 616
 Pirovino, M. 378
 Plaumann, L. 221, 261
 Plewe, C. 355, 589
 Pochhammer, K.-F. 75
 Pöll, W. 285
 Pöppel, S. J. 412
 Pongratz, D. 537
 Pop, T. 87
 Poralla, T. 1028
 Praetorius, F. 766
 Presch, A. 576
 Prestar, F. J. 295
 Putschky, F. 210

Q

Queißer, W. 976

R

Raff, G. 101
 Raguse, T. 622
 Rahn, K. H. 933
 Ranft, K. 20
 Rapold, H. J. 340
 Rasenack, U. 226
 Rathert, P. 77
 Recker, S. 682
 Regal, H. 97
 Reinwein, D. 626
 Rether, J. R. 557
 Rettig, G. 817
 v. Reuss, K. 773
 Ricken, D. 395
 Richter, H. J. 800
 Riecken, E. O. 844
 Rieger, H.-J. 191, 314, 760, 1044
 Riegger, G. 656
 Riemann, J. F. 1047
 Rietbrock, N. 163
 Ritz, R. 340
 Rödelberger, K. 363
 Röher, H. D. 626
 Rösler, H. 626
 Rohner, H.-G. 517, 640
 Rosak, C. 97
 Roskamm, H. 645
 Rothmund, M. 523, 606
 Rudofsky, G. 745
 Rückert, K. 702
 Rüdiger, H. W. 315, 765
 Rügger, M. 753
 Rühland, D. 616
 Rummel, H. 738
 Runge, M. 959
 Runne, U. 6, 92
 Rustige, J. 218
 Ryser, J. 105, 108

S

Sabin, Stela 592
 Sachse, G. 419
 Sack, K. 214
 Sarubin, J. 478
 Saternus, K.-S. 893
 Sauer, H. 926
 Sauerbruch, T. 511, 709
 Schaadt, M. 221, 261
 Schäfer, P. K. 906
 Schanzenbacher, P. 656
 Scharf, R. E. 306
 Schattenkirchner, M. 885
 Schatz, H. 767
 Schaube, H. 813
 Schega, W. 43
 Scheiermann, N. 902
 Scherer, D. 123
 Schernthaner, G. 97
 Schiefer, H. G. 569
 Schieffer, H. 817
 Schlag, P. 738
 Schlierf, G. 235, 884
 Schlüter, M. 722
 Schmid, M. 378
 Schmidt, C.-D. 928
 Schmidt, C. G. 779
 Schmidt, Ellen 139
 Schmidt, F. W. 139
 Schmidt, G. 661, 944
 Schmidt, J. 198
 Schmidt, O.-P. 392
 Schmidt, P. 157
 Schmidt, R. E. 906
 Schmiegel, W. 437
 Schmitz, H. J. 651
 Schneider, B. 15
 Schneider, E. 987
 Schneider, M. U. 250
 Schneider, W. A. 83
 Schneider, W. 306, 506, 592
 Schnitzler, G. 976
 Schober, O. 861
 Schöffling, K. 97, 210, 1043
 Schölmerich, J. 326
 Schofer, J. 678
 Schrecker, O. 235
 Schreiber, H.-L. 153
 Schreiber, M. A. 511
 Schröder, F. 833
 Schröder, R. (Berlin) 532
 Schröder, R. (Köln) 1047
 Schröder, S. 187
 Schroll, P. 1047
 Schüren, K. P. 638
 Schürnbrand, P. 773
 Schüssler, P. 511
 Schudt, V. 557
 Schulz, E. 214
 Schulz, U. 750
 Schumann, B. 46
 Schumann, E. 97
 Schumpelick, V. 957
 Schuster, R. 666
 Schwartz, M. 671
 Schwarz, A. 285, 290
 Schwarz, F. 55
 Schwechheimer, K. 738
 Schweisfurth, H. 166

Scollo-Lavizzari, G. 340
 Scriba, P. C. 298
 Sechtem, U. 218
 Seeliger, H. 156, 243, 595
 Seib, H.-J. 443
 Seidel, D. 973
 Seidel, R. 563
 Seidl, S. 236
 Seiler, D. 115
 Sen, S. 817
 Senn, H. J. 1034
 Sertl, K. 157
 Seyfert, S. 285
 Siegenthaler, W. 345, 347
 Siewert, J. R. 603
 Siglow, V. 722
 Sill, V. 392
 Silny, J. 682
 Simon, B. 640, 886
 Simon, P. 714
 Sinkwitz, K.-D. 198
 Sitzman, F. C. 127
 Sold, G. 666
 Sonnenberg, A. 576
 Sonnenberg, Gabriele 765
 Staak, M. 893
 Stany, J. 356
 Stapelfeld, S. 1015
 Steck, A. 828
 Steere, A. C. 92
 Stehr, H. 55
 Steigleder, G. K. 3
 Stein, H. A. 205
 Steinke, B. 1015
 Steppert, C. 87
 Stieber, J. 412
 Stille, W. 899
 Stober, T. 817
 Stöhr, M. 968
 Stömmner, P. 454
 Strauer, B. E. 925
 Streuli, R. A. 347
 Stubbe, P. 773
 Stüttgen, G. 193
 Stumpe, K. O. 857
 Sybrecht, G. 392
 Szepesi, S. 422

T

Tauchert, M. 714
 Teschke, R. 541, 543
 Thaler, H. 283
 Thier, W. 722
 Thomae, U. 941
 Toeller, M. 174, 1043
 Töllner, U. 303, 304
 Tolon, M. 728
 Toomes, H. 935
 Trampisch, H. J. 563
 Trapp, H. 46
 Trautmann, F. 1028
 Treese, N. 87
 Trendelenburg, F. 392
 Trotnow, S. 547
 Trübenbach, T. 303, 304
 Trübestein, G. 745, 857
 Trübestein, R. 745, 857
 Trux, F. 976

Tschahargane, C. 50
Tschaikowski, K. L. 116
Tsotsalas, M. 1045

U

Uhlenbruck, W. 635
Uhlendorf, B. 845
Ulbrich, Th. 714
Ulm, K. 661
Ulmer, W. T. 392, 1005

V

Vallina, E. 195
Vandevelde, M. 828
Vanhecke, Ch. 46
Verspohl, E. J. 369
Vetter, H. 345, 347
Vetter, W. 345, 347
Vöhringer, H.-F. 290
Vogel, H. 845
Vogel, J. 906
Vogelsang, H. 947
Volk, B. A. 326

Vonesch, H.-J. 426
de Vries, J. X. 951

W

Wachsmuth, W. 153
Wahlen, W. 127
Walb, D. 183, 186
Waldmeier, P. 378
Walgenbach, S. 618
Waller, D. E. 398
Waller, H. D. 1015
Walter, P. 295
Walter, Th. A. 886
Wander, H.-E. 62
Wannenmacher, M. 910, 913
Watschinger, B. 170
Weber, Ellen 951
Wegscheider, K. 532
Wehr, M. 117
Weidner, W. 569
Weingart, J. 613
Weinmann, J. 290
Weinzierl, Marlene 709
Weiß, D. 792
Weizel, A. 640

Wendt, Th. 123
Wenske, C. 388
v. Werder, K. 432
Werning, C. 805
v. Wichert, P. 853, 868
Wiegand, G. 847
Wiek, K. 807
Wieland, O. H. 537
Wiemers, K. 350
Wienert, V. 997
Wießmann, K. J. 257
Wigger, E. 857
Wilbert, D. M. 396
Wildgrube, H. J. 10, 246
Wildhirt, E. 72
Wildt, L. 462
Wilgalis, M. 857
Wilhelms, E. 499
Wilke, H. 684
Willamowski, K.-D. 97
Willms, B. 97, 768, 1043
Windorfer, A. 127, 151
Winograd, B. 127
Wirth, A. 1006
Wirtz, H.-J. 813
Wirtzfeld, A. 683
Woitowitz, H.-J. 363

Wolkewitz, K. D. 976
Wolpers, C. 597
Woodcock, B. G. 163, 198
Worth, H. 563
Wündisch, G. 127
Wüthrich, B. 257, 981
Wurbs, D. 429

Y

Yousefian, M. 174

Z

Zazgornik, J. 157
Zdolsek, I. 97
Zillesen, E. 446
Zimmermann, R. 55, 951
Zippel, C. 483
Zoltobrocki, M. 210
Zumkley, H. 967
Zurborn, K.-H. 556, 596
Zwipp, H. 397

Personalnachrichten

Ernennungen, Berufungen

Altenkirch, H. 770
Altrup, U. 930
Angermeyer, M. C. 480
Baer, R. 930
Bähr, R. 600
Baltes, Margaret M. 1050
Bartholmes, P. 1010
v. Bassewitz, D.-B. 930
Bauer, Ch. 890
Baumann, J. U. 80
Baumeister, W. 730
Behrendt, Heidrun 1050
Berger, M. 1050
Berger, W. 930
Biniek, E. 560
Bircher, J. 810
Birnbaum, D. 770
Bischoff, K. O. 686
Boeckl, O. 320
Borchard, U. 1050
Brackertz, D. 480
Brandesky, G. 890
Brandt, Ingeborg 770
Brandt, Th. 642
Bratzke, H. 890
Braun, B. 890

Brölsch, Ch. E. 40, 1050
Bron, B. 970
Brühl, P. 810
Brunner, F. P. 520
Büdingen, H.-J. 600
Busse, H. 930
Castell, R. 642
Dauner, Iris 40
Dimpfel, W. 200
Dirnhofer, R. 890
v. Domarus, H. 240
Dreher, R. 200
Drepper, H. 730
Drost, H.-J. 480
Durrer, H. 930
Eicher, W. 280
Eisenhardt, H.-J. 850
Ewers, H. R. 890
Florin, Irmela 40
Flügel, K. A. 642
Fölsch, U. 810
Freudenberg, N. 600
Fritzemeier, C.-U. 1050
Fuchs, Ch. 970
Galaske, R. G. 280
Gebhardt, Ch. 970
Geier, G. 890
Geiger, W. 850
Gell, G. 40

Gerke, E. 686
Gernet, W. 1010
Glossmann, H. 520
Goebel, F.-D. 280
Gotzen, L. 810
Greim, H. 160
Greite, J.-H. 642
Groß-Selbeck, G. 730
Grube, E. 280
Gudat, F. 520
Günther, R. 1050
Gulotta, U. 970
Guthy, E. 810
Hack, G. 770
Hadorn, H.-B. 280
Hanfland, P. 280
Hasilik, A. 240
Hautmann, R. 850
Henn, V. 80
Henze, E. 1010
Hepp, H. R. 280
Herken, R. 40
Hess, W. 686
Hinz, H.-J. 120
Hirner, A. 890
Höcht, B. 480
Höpner, F. 280
Hofmann, N. 730
Hopf, A. 1050

Hoppen, H.-O. 240
Horch, H.-H. 360
Hübener, H.-H. 560
Hüfner, M. 850
Huhn, D. 440
Huk, W. 200
Hunsmann, G. 600
Jonas, D. 400
Jones, P. A. 686
de Jong, Renate 160, 400
Immenkamp, M. 240
Kaiser, W. H. 810
Keller, H. 320
Kim, J.-S. 1010
Klein, K. E. 320
Knoblauch, M. 80
Köhle, K. 1010
Köhler, H. 730, 1050
König, G. 320
Kotz, R. 520
Krisch, Brigitte 480
Krüger, Ch. 240
Kühn, K.-W. 810
Kunstýř, I. 280
Laffers, Z. 770
Lanksch, W. 280
Laux, U. 890
Lehmenkübler, A. 240
Lengeler, J. 40

- Lengfelder, E. 280
 Lenz, W. 850
 Leyendecker, G. 770
 Lob, G. 890
 Loch, E.-G. 890
 Löhlein, D. 810
 Loos, D. 730
 Luders Schmidt, Chr. 810
 Luthe, R. 686
 Lutz, F. 770
 Machleidt, W. 280
 Mahre, G. 360
 Maillot de la Treille, Frhr. von, K. 642
 Mann, F. 930
 Manz, F. 850
 Martinus, J. 560
 Matern, S. 850
 Mathias, K. 970
 Matter, A. 850
 Mehraein, P. 280
 Menges, V. 850
 Mense, S. 850
 Mertz, M. 40
 Metzger, H. 560
 Meves, M. 1050
 Meyerhoff, H. 240
 Möhler, H. 1050
 Müller, N. 40, 770
 Müller-Faßbender, H. 642
 Mutz, I. 40
 Neher, M. 850
 Neundörfer, B. 520
 Niederdelmann, H. 520
 Oberleithner, H. 480
 Ochs, H. 280
 Oelert, H. 642
 Opitz, H. J. 770
 Ostendorf, P. 560
 Pera, F. 280
 Peter, H.-H. 810
 Peters, H.-D. 480
 Peters, U. 1050
 Petritsch, P. 770
 Piekarski, C. 770
 Propping, P. 930
 v. Rad, M. 970
 Ravens, Ursula 890
 Reinhard, U. 560
 Reitter, B. 120, 1050
 Rentsch, F. 850
 Reulen, H.-J. 440
 Richard, K.-E. 360
 Rickham, P. P. 600
 Riehm, H. 520
 Riemann, J. F. 480
 Ritz, R. 930
 Roebuck, P. 850
 Röttscher, V. 1050
 Roggenkämper, P. 280
 Rohner, H. G. 120
 Rommelpacher, H. 890
 Roos, B. 440
 Säuberli, H. 80
 Schaal, K.-P. 850
 Schachenmayr, W. 1010
 Scherer, R. 240
 Schillinger, H. 1050
 Schindler, G. 480
 Schlake, W. 930
 Schmid, J. 770
 Schmidt, M. 890
 Schmidt, W. 480
 Schmitt, H.-E. 80
 Schnabel, R. 240
 Scholtysik, G. 730
 Schrader, J. 1050
 Schrör, K. 850
 Schultz, G. 850
 Schulz, G. 160
 Seichter, Ursula 1050
 Simon, H. 930
 Spanke, O. 770
 Spring, A. 280
 Stauber, M. 890
 Stauffer, U. G. 930
 Steinbrück, K. 600
 v. Stockhausen, B. 40
 Stöffler, G. 686
 Strecker, J. 890
 Striebel, J.-P. 850
 Sundmacher, R. 600
 Terruhn, V. 280
 Tharandt, L. 686
 Thoma, H. 280
 Thorns, U. 810
 Thümmler, P. 686
 Thürauf, J. 200
 de Tribolet, N. 600
 Tröger, H. D. 40
 Tyouyopoulos, Nelly 400
 Ungethüm, W. 642
 Utermann, G. 770
 Voigt, K.-H. 360, 890
 v. Voß, H. 1050
 Wannske, M. 280
 Weidenbecher, M. 200
 Weihe, E. 560
 Werner, H. 770
 Willital, G. H. 120
 Witting, Ute 120
 Wüthrich, B. 930
 Zabel, Maria 560
- Ehrungen,
Auszeichnungen**
 Akert, K. 80
 Bässler, R. 240
 Becker, R. 120
 Beckmann, R. 850
 Bircks, W. 730
 Burghardt, E. 200
 Cervós-Navarro, J. 770
 Christ, B. 440
 Creutzfeldt, W. 360
 Demling, L. 642
 Deppe, H.-U. 810
 Diethelm, L. 360
 Draeger, J. 1010
 Drecoll-Lütjen, Elke 160
 Eichelbaum, F. M. 120
 Eigen, M. 560
 Fassbender, H. G. 730
 Fichtner, G. 440
 Fischer, H. 480, 560
 Fliedner, Th. M. 890
 Franke, H. D. 970
 Freund, H.-J. 120, 400
 Friedebold, G. 770
 Friederich, H. C. 970
 Fritsche, P. 440
 Fuchs, W. A. 200
 Gaetgens, P. 850
 Geisler, L. S. 40
 Göbel, U. 120
 Goebell, H. 686
 Goerke, H. 642
 Gratwohl, A. A. 520
 Gross, R. 160
 Hampel, K. E. 850
 Hauff, G. 930
 zur Hausen, H. 1050
 Heene, L. 200
 Heilmann, K. 120
 Hellbrügge, Th. 280
 Henseler, H. 560
 Hess, W. 1010
 Hirschmann, J. 560
 Hünig, R. 520
 Humbel, R. 770, 890
 Hundeshagen, H. 1050
 Hutschenreuter, K. 440
 Jani, L. 200
 Jürgens, H. 120
 Kaufmann, H. J. 80
 Keul, J. 200
 Kirchhoff, P. G. 770
 Klein, W. 400
 Kleinsorge, H. 1050
 Klinner, W. 280
 Klüken, N. 120, 440
 Kornhuber, H. H. 1010
 Kraupp, O. 200
 Kröger, E. 400
 Kummer, B. 770
 Leithoff, H. 320
 Lembeck, F. 200
 Lesky, Erna 770
 Lichtlen, P. R. 40
 Linder, F. 480
 Lissner, J. 360, 1010
 Loebell, E. 810
 Löhr, G.-W. 890
 Loogen, F. 1050
 Loos, M. 320
 Luban-Plozza, B. 80
 Luchsinger, R. 440
 Madaus, R. 1010
 Mayer, K. 560
 Mayer, Ursula 642
 Meßmer, K. 200
 Muscholl, E. 200
 Oeser, H. 360
 Opderbecke, H. W. 200
 Ott, H. H. 560
 Petrides, P. 1050
 Pfeifer, G. 770
 Pfeiffer, E. F. 360
 Platt, D. 200
 Plattig, K.-H. 770
 Plester, D. 440
 Plewig, G. 120, 400
 Pulverer, G. 850
 Reubi, F. 200
 Rompe, G. 240
 Schär, M. 520
 Schettler, G. 80, 890
 Schink, W. 770
 Schirren, C. 520
 Schmäh, D. 890
 Schneider, H. P. G. 930
 Schneider, W. 1050
 Schriefers, H. 686
 Scriba, P. C. 440
 Seeliger, H. P. R. 40
 Seifert, G. 970
 Selbmann, H.-K. 280
 Siess, M. 440
 Staab, H. A. 160, 730
 Thofner, E. 40
 Ullmann, U. 200
 Valentin, H. 642
 Vaupel, P. 560
 Waller, H. D. 440, 560
 Wecker, E. 200
 Weller, S. 560
 Werner, J. 440
 Wirz, H. 200
 Witt, A. N. 280
 Zingg, E. 850
- Habilitationen,
Dozenturen**
 Abb, J. 280
 Abdelhamid, S. 560
 Adler, G. 1050
 Aktories, K. 850
 Albrich, W. 642
 Altemeyer, K.-H. 120
 Angstwurm, H. 642
 Asper, R. 930
 Athen, D. 280
 Bachmann, C. 930
 Bauer, G. 240
 Bauereiß, K. 890
 Bichler, E. 1010
 Binder, W. 890
 Bister, K. 560
 Birkmayer, J. 480
 Bode, Ch. 560
 Bodemer, W. 890
 Böhner, J. 560
 Bonzel, T. 240
 Both, A. 560
 Brass, H. 850
 Bratschko, R. 970
 Breitbart, E. 440
 Buchmann, P. 40
 v. Bülow, M. 560
 Burkart, Th. 440
 Chemnitz, G. 280
 Cremer, Th. 850
 Daldrup, Th. 730
 Dickhuth, H. H. 600
 Dorst, K.-G. 520
 Drasch, G. 280
 Dutz, W. 770
 Eder, E. 480
 Eichmann, A. 930
 Eide, M. 890
 Eiermann, W. 642
 Erasmi-Körber, Heide 360
 Fauser, A. 240
 Fiebig, H.-H. 240

- Fishedick, A. R. 520
 Franke, N. 280
 Frey, M. 930
 Frisch, H. 520
 Fritsch, G. 890
 Fuchs, H.-H. 686
 Gaab, M. 770
 Gabbert, H. 560
 Gaertner, H.-J. 560
 Galvan, M. 642
 Gerber, A. 930
 Gethmann, U. 440
 Gödde-Salz, Elisabeth 200
 Granditsch, G. 400
 Grehn, F. 600
 Greulich, M. 480
 Grote, B. 730
 Grünberger, W. 400
 Gründer, K. 440
 Grüneberger, A. 120
 Haasters, J. 686
 Hagmaier, V. 930
 Hancke, E. 850
 Hanka, H.-U. 280
 Haschke, E. 520
 Hasse, Th. J. 280
 Heim, F. A. 440
 Herbst, M. 890
 Herrlinger, A. 642
 Hesse, A. 80
 Heß, G. 240
 Heuser, L. 360
 Hoeffken, H. 850
 Höfling, B. 280
 Hölscher, M. 360
 Hörtnagl, H. 400
 Holzer, H. 400
 Hopt, U. T. 560
 Huth, Ch. 560
 Illes, P. 600
 Imig, H. 850
 Jürgens, G. 400
 Kalembe, J. 320
 Kamanabroo, D. 520
 Karstens, J. H. 1050
 Kasper, W. 970
 Katz, G. 520
 Kauert, G. 642
 Kaufmann, M. 850
 Kemkes, B.-M. 280
 Kiosz, G.-D. 360
 Kirch, W. 120, 686
 Kirkpatrick, Ch. J. 890
 Klingemann, H.-G. 280
 Koenig, Annelie 360
 König, H. 200
 Krämer, R. 280
 Krause, K.-H. 850
 Krienberg, R. 320
 Kreußner, W. 850
 Kuntz, Barbara 400
 Lamm, E. 1050
 Larbig, D. 320
 Lipowsky, G. 642
 Maida, Eva-Maria 520
 Maier, M. 890
 Mangold, U. 360
 Manthey, J. 850
 Matek, W. 890
 Mees, K. 642
 Meier, H. 642
 Mensing, H. 360
 Merkle, N. 360
 v. Meyer, L. 280
 Müller, B. 890
 Möller, P. 850
 Mühlemann, H. R. 400
 Müller, M. 890
 Müller, R. 80
 Müller, W. 850
 Müller-Klieser, W. 240
 Nauth, H.-F. 360
 Nees, St. 642
 Neugebauer, R. 360
 v. Nicolai, H. 1050
 Niederle, N. 686
 Nitsch, Cordula 280
 Nix, W. 320
 Oesch-Amrein, Irene 930
 Olbrisch, R. R. 730
 Opitz, A. 520
 Oppel, O. 730
 Osborn, J.-F. 600
 Pape, G.-R. 280
 Passia, D. 730
 Peters, F. D. 560
 Petersen, K.-U. 320
 Petrin, P. 600
 Pfefferkorn, J. 520
 Pflüger, H. 520
 Pflüger, W. 360
 Pfreundschuh, M. 480
 Pinter, H. 200
 Pöllmann, L. 280
 Preuner, J. 360
 Puchstein, Ch. 520
 Reinecke, M. 850
 Reske, S.-N. 360
 Rinke, H. 642
 Ritter, G. 480
 Rösen, P. 730
 Roggendorf, M. 280
 Roscher, A. 600
 Rossiwall, B. 160
 Rumpold, H. 520
 Sahl, H.-G. 360
 Salzer, H. 400
 Sauerbruch, T. 642
 Scheidegger, D. 730
 Schmengler, K. 440
 Schmid, L. 280
 Schmidt, Angela 686
 Schmitz, J. E. 1010
 Schneider, D. 730
 Schober, O. 280
 Schreier, M. H. 930
 Schuck, M. 642
 Schwerdtfeger, W. K. 160
 See, W.-R. 440
 Spengel, F. A. 280
 Städtler, P. 850
 Stammberger, H. 770
 Stampfel, O. 400
 Stein, W. 560
 Steinmeyer, E. M. 320
 Straube, E. 560
 Streeck, U. 400
 Stula, D. 850
 Stummvoll, H.-K. 890
 Szepesi, T. 520
 Teichmann, R. 642
 Teusch, L. 686
 Thon, K. 770
 Towfigh, A.-H. 686
 Tritthardt, H. 400
 Vonnahme, F.-J. 280
 Vozech, S. 280
 Wagner, P. K. 560
 Waltherbusch, G. 810
 Walz, P. H. 320
 Wambach, G. 850
 Weidler, B. 200
 Weisweiler, P. 280
 Wenzel, H. 560
 Windeck, R. 686
 Winneke, G. 730
 Wolff, F. 360
 Wood, W. G. 440
 Zidek, W. 520
 Zimmermann, V. 480
 Zschiedrich, H. 320
- Rücktritte,
Emeritierungen**
 Benedetti, G. 320
 Eckmann, L. 930
 Ehrengut, W. 890
 Ehring, F. 730
 Frik, W. 320
 Gartmann, H. 770
 Hess, J. 642
 v. Hochstetter, A. 970
 Klingmüller, G. 890
 Kremer, K. 730
 Lenz, W. 320
 Leuner, H.-C. 810
 Lüdin, M. 890
 Marquardt, H.-D. 200
 Meier, A. L. 320
 Moll, G. 890
 Mosebach, K.-O. 890
 Niermann, H. 730
 Piper, H.-F. 440
 Scherer, E. 686
 Schrader, A. 280
 Schweitzer, H. 730
 Simmer, H. 200
 Trube-Becker, Elisabeth 730
 Viehweger, G. 40
 Willich, E. 850
- Geburtstage**
 Adebahr, G. 890
 Akert, K. 810
 Amelung, W. 520
 Baeyer, Ritter von, W. 850
 Bäßler, K.-H. 80
 Bauer, H.-J. 520
 Bauer, K. F. 970
 Bein, H. J. 280
 Bernhard, K. 280
 Binder, H. 560
 Böke, W. 40
 Braun, O. H. 810
 Bretschneider, H. 80
 Brussatis, F. 520
 Buchholz, R. 770
 Burner, M. 560
 Corboz, R. 160
 Creutzfeldt, W. 770
 Dittrich, W. 400
 Ehrhardt, H. 480
 Eßbach, H. 400
 Fehr, A. M. 560
 Fellingner, K. 1010
 Fischer, C.-H. 160
 Friedrich, J.-C. 280
 Fritz, H. 560
 Gardiol, D. 730
 Geks, F. J. 440
 Gles, P. 280
 Grüner, O. 480
 Grütznert, A. 400
 Gukelberger, M. 1010
 Häßler, E. 642
 Haffter, C. 120
 Hallermann, W. 810
 Halter, K. 80
 Hamelmann, H. 850
 Harmsen, H. 730
 Helbig, H.-D. 970
 Hienzsch, E. 810
 Hoepke, H. 770
 Holder, E. 810
 Holle, F. 686
 Hollmann, S. 686
 Holzmann, M. 520
 Idelberger, Kh. 600
 Isler, W. 360
 Jäger, A. 810
 Kaeser, H. E. 480
 Kaufmann, H. J. 930
 Keiderling, W. 770
 Klages, W. 600
 Klingenberg, G. 40
 Knothe, H. 560
 Koch, F. 560
 Koller, Th. H. 600
 Kracht, J. 440
 Krauß, H. 686
 Krenkel, W. 200
 Krentz, K. 850
 Kummer, B. 600
 Lachnit, V. 890
 Lapp, H. 320
 Lax, H. 120
 Lehnhardt, E. 642
 Lembcke, W. 520
 Lenz, W. 200
 Leydhecker, W. 686
 Lindner, A. 440
 Lüdeke, H. 810
 Lüllmann, H. 560
 Magenat, P. 850
 Maier, C. 320
 Martius, G. 160
 v. Massenbach, W. 40
 Maurer, W. 890
 Mayor, G. 520
 Merz, W. 686
 Meyer, H.-H. 930
 Moser, F. 642
 Nevinny-Stickel, J. 160
 Oberdalloff, H. 970
 Ort, V. R. 810
 Paletta, B. 80

Pampus, F. 400
Pietruschka, G. 686
Rausch-Stroomann, J.-G. 560
Roemer, G.-B. 480
Rosemann, H.-U. 400
Schäfer, H.-E. 1010
Scharf, J. 400
Schlegel, K.-F. 930
Schmid, W. 80
Schreier, K. 320
Schweitzer, H. 480
Schwenk, A. 850
Seiferth, B. 1010
Selbach, H. 850
Senn, A. 930
Sonnenschein, C. 360

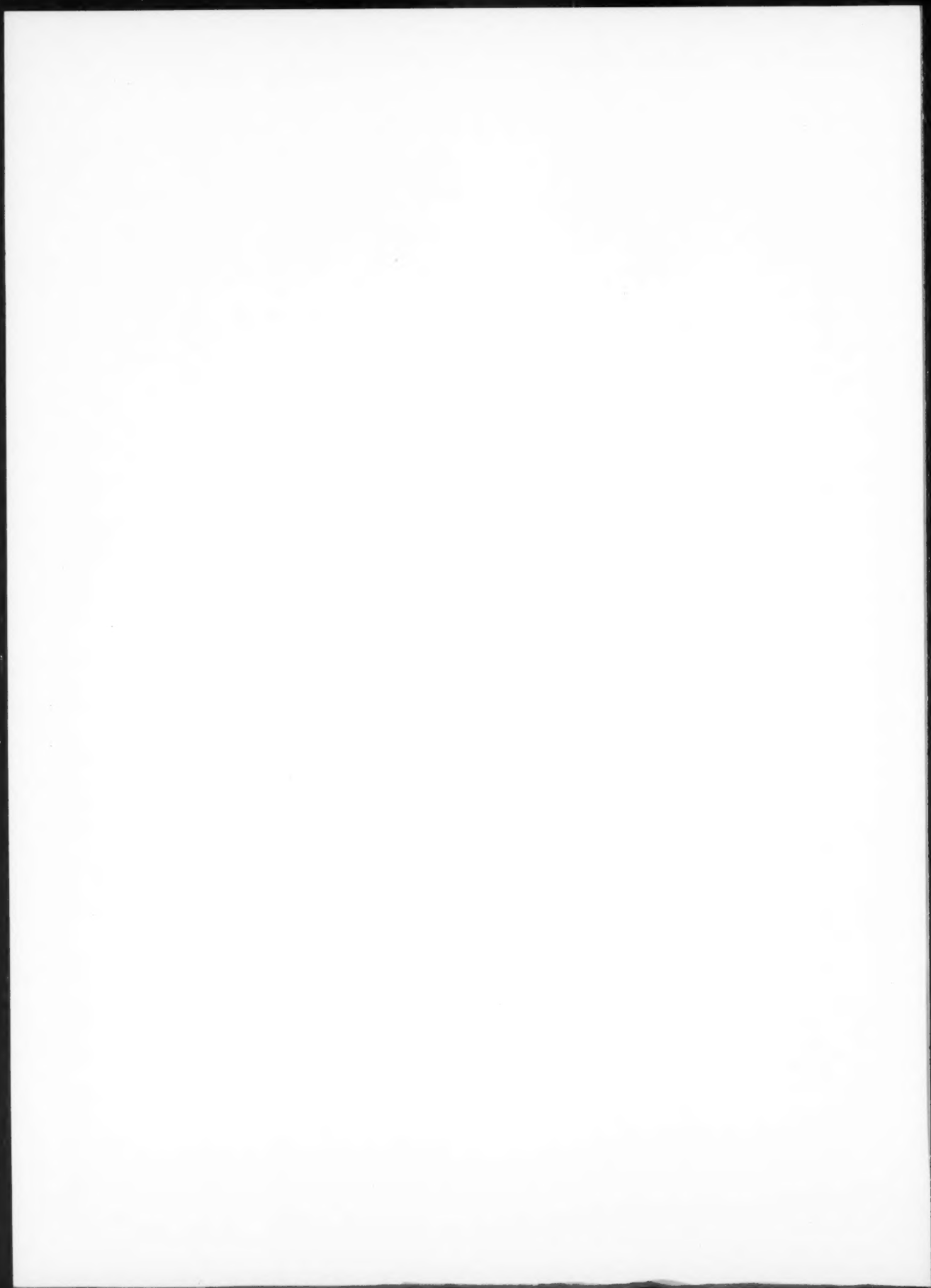
Spang, K. 930
Spohn, K. 970
Stämpfli, R. 930
Steinhardt, G. 810
Stochdorph, O. 520
Strupler, W. 970
Stüttgen, G. 120
Tonutti, E. 200
Urban, H. 890
Vorlaender, K.-O. 930
Wagner, H.-J. 400
Wende, K. 1010
Wetterer, E. 120
Wildhirt, E. 480
Windorfer, A. 200
Witt, N. 200

Wohlzogen, F. X. 400
Zuppinger, A. 850

Todesfälle

Breuninger, H. 480
Dahr, P. 520
Francillon, M. R. 120
Gesenius, H. 1010
Gross, F. 600
Gumrich, H. 730
Hagen, J. 360
Höring, F. O. 480
Holländer, L. P. 80

Kepp, R. K. 730
Kunkel, H. G. 686
Linzbach, J. 600
Mall, G. 560
Menghini, G. 72
du Mesnil de Rochemont, R.
686
Naumann, E. 160
Pfaender, P. 810
Püttner, J. 440
Trautscholdt, I. 480
Vetter, K. 40
Vöge, A. 970
Wacker, A. 770
de Watteville, H.-P. 560
Zenker, R. 200



Deutsche Medizinische Wochenschrift

Anschrift für Schriftleitung und Georg Thieme Verlag: 7000 Stuttgart 30, Rüdigerstraße 14

Schriftleitung:

Prof. Dr. P. C. Scriba Lübeck

Prof. Dr. F. Kümmerle Mainz

Prof. Dr. W. Siegenthaler Zürich

Dr. R. H. Rosie Stuttgart

Prof. Dr. A. Sturm Herne/Bochum

Dr. W. Kuhn Stuttgart

Inhaltsverzeichnis für den 109. Jahrgang

2. Halbjahr 1984 Hefte 27–51/52



Georg Thieme Verlag Stuttgart · New York

Diejenigen Bezeichnungen, die zugleich eingetragene Warenzeichen sind, wurden *nicht* besonders kenntlich gemacht. Es kann also aus der Bezeichnung einer Ware mit dem für diese eingetragenen Warenzeichen nicht geschlossen werden, daß die Bezeichnung ein freier Warenname ist. Ebenso wenig ist zu entnehmen, ob Patente oder Gebrauchsmuster vorliegen.

Alle Rechte, insbesondere das Recht der Vervielfältigung und Verbreitung sowie der Übersetzung, vorbehalten. Kein Teil des Werkes darf in irgendeiner Form (durch Photokopie, Mikrofilm oder ein anderes Verfahren) ohne schriftliche Genehmigung des Verlages reproduziert oder unter Verwendung elektronischer Systeme verarbeitet, vervielfältigt oder verbreitet werden.

Some of the product names, patents and registered designs referred to are in fact registered trademarks or proprietary names even though specific reference to this fact is not always made in the text. Therefore, the appearance of a name without designation as proprietary is not to be construed as a representation by the publisher that it is in the public domain.

All rights, including the rights of publication, distribution and sales, as well as the right to translation, are reserved. No part of this work covered by the copyrights hereon may be reproduced or copied in any form or by any means – graphic, electronic or mechanical including photocopying, recording, taping, or information and retrieval systems – without written permission of the publisher.

© Georg Thieme Verlag Stuttgart · New York 1984 – Printed in Germany – Druckhaus Dörr, Inh. Adam Götz, Ludwigsburg

Sachverzeichnis¹

A

- Acetylsalicylsäure, Divergenz pharmakologischer und klinischer Wirkungen **1211**
 -, Nebenwirkungen **1301**
 Aciclovir, Herpes-simplex-Prophylaxe bei Immunsuppression **1346**
 Adenom, autonomes, der Schilddrüse **1588**
 - der Brunnerschen Drüsen **1227**
 Adipositas, Implantation eines Magenballons **1200, 1263**
 Adrenalin-Schock bei Phäochromozytom **1885**
 »Adult respiratory distress syndrome«, Therapie **1135**
 Äthanol, Blut-, Einfluß von Metoprolol auf Eliminationskinetik **1557**
 Agoraphobie, Atemtherapie **1944**
 AIDS, Klinik und Verlauf **1955**
 - mit Glomerulosklerose **1178**
 Akrosyndrom, papulovesikulöses **1467**
 Akupunktur, Ohr- **1090**
 Alkohol bei Knollenblätterpilzvergiftung **1263**
 -, Blut-, Einfluß von Metoprolol auf Eliminationskinetik **1557**
 - und Krebs **1089**
 -, Wirkung auf Blutbildung **1247**
 Alkoholismus, Diagnose **1502**
 -, Hyperlipämie-Induktion **1728**
 -, Leberschäden **1516**
 - und diabetische Retinopathie **1505**
 Allergie, Strumpffarben- **1469**
 Alter, Polyneuropathie bei Porphyrie **1343**
 -, Schenkelhalsfrakturen und Osteoporose bei Frauen **1138**
 Aluminium und Blasenkrebs **1865**
 Amöbenabsatz, nekrotisieren der **1180**
 Amylase, Bestimmung im Serum oder Urin? **1134**
 Amylase, chronische Erhöhung bei primärem Sicca-Syndrom **1604**
 Amyloid A, Serum-, Erhöhung bei Typ-I-Diabetes-Behandlung mit Insulinpumpe **1089**
 Amyloidose **1179**
 - des Dünndarms **1908**
 Anämie, aplastische, Pathogenese und Therapie **1816**
 - bei Astrozytom **1946**
 -, sideroachrestische, bei M. Crohn **1023, 1424**
 - und Hyposiderinämie bei M. Crohn **1744**
 Analgesie, On-Demand-, mit Tramadol bei Rippenserienfraktur **1449**
 Aneurysma der Aorta thoracica **1788**
 - der Koronararterien **1236**
 Angina pectoris, antianginöse Wirksamkeit von zellulosegebundenem oralem Nitroglycerin **1187**
 -, aortokoronarer Bypass **1671**
 -, Diät **1465**
 -, Dipyridamol-Test **1481**
 Angiodysplasie, gastrointestinale, prophylaktische Sklerosierungsbehandlung **1942**
 -, kolorektale **1549**
 Angiographie, Diagnostik extrakranieller Stenosen und Verschlüssen **1595**
 Angiotensin-Converting-Enzym, Hemmsubstanzen zur Therapie von Hypertonie und Herzinsuffizienz **1295**
 Angstvorstellungen **1546**
 Antigen CA 12-5 bei Pankreas- und Kolonkarzinom **1949**
 - CA 19-9, diagnostische Bedeutung bei Karzinomen des Verdauungstraktes und kolorektalem Karzinom **1141, 1309, 1410, 1869, 1935, 1949**
 -, carcinoembryonales, Aussagekraft als Tumormarker **1219**
 -, -, bei Frischzellentherapie **1741**
 -, -, bei kolorektalen Tumoren **1309, 1949**
 Antigen, carcinoembryonales, Pankreaskarzinom-Diagnostik **1410, 1949**
 Antikoagulantien, Auslösung intramuraler Darmwandblutung **1686**
 -, hämorrhagische neurologische Komplikationen **1653**
 - und Östrogene, Interaktion **1725**
 Antikörper, IgG- und IgA-, gegen EBV-assoziierte Antigene bei Tumoren und infektiöser Mononukleose **1837**
 -, monoklonale, Nachweis maligner Zellen im Liquor **1466**
 Antikonzeption und Cyclosporin A, Leberschädigung bei Kombination **1989**
 Aortenklappe, bikuspidale **1748**
 Apoplexie, akute, Therapie **1780**
 Arrhythmie, supraventrikuläre, transvenöse elektrische His-Bündel-Ablation **1329**
 Arsen, Vergiftung durch imprägniertes Brennholz **1466**
 Arteria carotis, Diagnostik von Stenosen und Verschlüssen **1595**
 Arteriopathie, obliterierende, Einfluß von Ticlopidin **1240**
 Arteriosklerose extrakranieller Halsgefäße, Diagnostik mit zweidimensionalem Ultraschall **1878**
 -, Beeinflussung durch Hyperlipidämie-Behandlung **1090**
 -, gesteigerte Prostacyclin-Biosynthese **1946**
 - und Ernährung **1862**
 - und Vasektomie **1501**
 Arthroskopie, Knie- **1178**
 Arzneimittel, Bioverfügbarkeit **1381**
 Arztbrief, Nutzen **1585**
 Arztrecht, ärztliche Behandlungspflicht in Selbstmordfällen **1738**
 -, ärztliche Weiterbildung setzt Anleitung durch ermächtigten Arzt voraus **1619**
 -, Aufzeichnungen während des Bereitschaftsdienstes und ärztliche Schweigepflicht **1215**
 -, Aushandigung fremder Arztunterlagen an Sozialgerichte **1083**
 Arztrecht, rechtliche Maßstäbe des medizinischen Standards **1458**
 -, Schwangerschaftsabbruch durch niedergelassene Ärzte **1259**
 -, Schweigepflicht und Schweigerecht gegen den Willen des Krankenhausträgers **1379**
 -, Wegnahme von Medikamenten zum eigenen Schutz des Patienten **1860**
 Asphyxie, tödliche, durch Nahrungsmittel bei Kindern **1991**
 Asthma bronchiale, Selbstkontrolle der Lungenfunktion mit Peak-flow-Meter **1529**
 Astrozytom und Anämie **1946**
 Aszites und Endoskopie, Ateminsuffizienz als Komplikation **1626**
 Atemlähmung bei Quadriplegie, Zwerchfellstimulation **1546**
 Atemnotsyndrom, akutes, des Erwachsenen, bei Mykoplasma-Infektion der Lunge, Dialysebehandlung **1175**
 - des Erwachsenen und Leukopenie **1545**
 Atemtherapie bei Agoraphobie **1944**
 -, postoperative **1084**
 Atemwegserkrankungen, epidemische, in klimatisierten Räumen **1864**
 -, Behandlung mit Fusafungin **1940**
 -, obstruktive, Sauerstoffbehandlung **1425**
 Atenolol, Propranolol und Nifedipin bei Zigarettenrauchern **1945**
 Athrombozytose unter Cefotaxim-Azlocillin-Kombinationstherapie **1423**
 Audiometrie, Impedanz-, bei Schulkindern **1905**
 Augentropfen, jodhaltige, und Hyperthyreose **1304**
 Aurikulothérapie **1090**
 Autotransplantation in der endokrinen Chirurgie **1609**
 Azathioprin, Immunsuppression nach Nierentransplantation **1689**

¹ Die fettgedruckten Zahlen bedeuten Originalarbeiten, die Kursivzahlen Mediquiz.

B

- Baker-Zyste 1548
 Beatmungstuben, Adhäsion von Mikroorganismen **1148**
 Becken-Bein-Venenthrombose, tiefe, Therapie **1336**
 Bikuspidale Aortenklappe 1748
 Biopsie, ungezielte, bei Gastroskopie **1509**, 1990
 Bioverfügbarkeit von Arzneistoffen 1381
 Bisoprolol bei koronarer Herzkrankheit **1914**
 Blasenkrebs bei Aluminium-Arbeitern 1865
 Blut, okkultes, im Stuhl, Diagnostik **1890**
 Blutbildung unter Alkoholeinwirkung **1247**
 Blutdruck, Einfluß der Armposition auf Meßergebnis 1865
 Blutgase, arterielle, Punktion zur Bestimmung 1621
 Blutviskosität und Fischöl 1545
 Blutzucker, Selbstmessung bei Diabetes Typ I, Qualitätskontrolle **1553**
 Bromocriptin und Levodopa, Behandlung des Parkinson-Syndroms **1279**
 Bronchialkarzinom, nicht-kleinzelliges, Therapie mit Ifosfamid und Cisplatin **1059**
 Bronchiolo-alveoläres Karzinom 1307
 Brunnerom 1227
 Burkitt-Lymphom, IgG- und IgA-Antikörper gegen EBV-assoziierte Antigene **1837**
 Bypass, aortokoronarer, bei schwerer Angina pectoris **1671**

C

- CA 12-5 bei Pankreas- und Kolonkarzinom **1949**
 CA 19-9, diagnostische Bedeutung bei Pankreaskarzinom und kolorektalen Tumoren **1141**, **1309**, **1410**, **1869**, **1935**, **1949**
 Cadmium-Dämpfe, Ursache von Lungenschäden 1426
 Calcinosis cutis dystrophica am Knie 1626
 Calcitonin bei akuter Pankreatitis? 1903
 Cannabis, Psychose als Abususfolge 1225
 Captopril, Beeinflussung ergotamin-induzierter peripherer Ischämien 1090
 – bei Hypertonie und Herzinsuffizienz **1295**
 Carboxypeptidase N **1254**

- Carcinoembryonales Antigen, diagnostische Bedeutung bei Karzinomen des Verdauungstraktes **1141**, **1309**, **1410**
 Cardiakarzinom, relative Zunahme 1303
 Carotisstenose, Diagnostik mit zweidimensionalem Ultraschall **1878**
 – und -verschuß, Diagnostik **1595**
 Carotisverschuß, mikrochirurgische Bypass-Operation **1413**
 Chlamydia trachomatis, Genitalinfektionen, Zunahme 1426
 Chlorgasvergiftung durch hypochlorithaltige Sanitärreiniger **1874**
 Choledochus-Rezidivsteine, Chemolitholyse über nasobiliäre Verweilsonde **1232**, **1462**
 Cholegraphie, intravenöse **1927**
 Cholelithiasis, atypische Symptomatik im Alter 1586
 – bei Diabetes mellitus, autonome Neuropathie als Risikofaktor **1712**
 – und akute Pankreatitis **1349**, **1704**
 Cholestase, intrahepatische, nach Propafenon **1525**
 Cholesterin, Nahrungs-, und Plasma-Lipoproteine 1385
 –, Serum-, und Kaffeekonsum 1865
 Choleszintigraphie, Galleleck-Diagnostik **1398**
 Cholezystolithiasis, koloskopische transtuläre Exzision 1384
 –, Prophylaxe durch Weizenkleie **1284**
 Chordae tendineae der Mitralklappe, rupturierte 1627
 β -Choriongonadotropin, Aussagekraft als Tumormarker 1219
 Chymotrypsin im Stuhl, indirekter Pankreasfunktionstest **1527**
 Cimetidin bei Ulcus duodeni 1344
 –, Dosierungsvergleich bei Ulcus duodeni 1087
 –, Hemmung der intragastralen Acidität **1767**
 Cineangiographie, Größenbestimmung des linken Vorhofs 1221
 Cisplatin und Ifosfamid bei nicht-kleinzelligem Bronchialkarzinom **1059**
 Clostridien-Sepsis 1876
 Codein, Induktion akuter Pankreatitis? 1544

- Co-Dergocrinmesylat, hämodynamische Wirkung bei Hypertonie **1064**
 Coffein, Wirkungsmechanismus **1491**
 Colitis ulcerosa, Autoantikörper gegen intestinale Becherzellen **1963**
 Computertomographie bei Insulinom 1783
 – bei Nebennierentumoren **1494**
 –, Diagnose intramuraler Darmwandblutung bei Phenprocoumon-Behandlung **1686**
 –, Diagnostik retroperitonealer Gasansammlung **1313**
 –, Emissions-, zerebrale, mit ^{123}J -markierten Amphetaminen **1155**
 – vor Lumbalpunktion? 1902
 Corpus callosum, Agenesie 1707
 Corticosteroide, Maskierung einer Lepra-Infektion 1546
 Cumarine, hämorrhagische neurologische Komplikationen **1653**
 Cyclosporin A, Immunsuppression nach Nierentransplantation **1689**
 – und Antikonception, Leberschädigung bei Kombination 1989

D

- Darmspülung, orthograde, mit Ringer-Lactat-Lösung 1824
 Darmwandblutung, intramurale, während Phenprocoumon-Behandlung **1686**
 Deferoxamin bei Hämosiderose **1669**, **1682**
 Dermatitis atopica, Therapie 1940
 Desinfektion, Flächen-, im Krankenhaus **1696**
 –, Fußboden-, im Krankenhaus 1303
 Diabetes mellitus, autonome Neuropathie und Cholelithiasis **1712**
 – –, Empfehlungen zur Beratung über Berufswahl und Berufsausübung **1499**
 – –, Früherkennung einer parasymphatischen Neuropathie 1546
 – –, »Frühmorgen-Phänomen« 1464
 – –, Hyponatriämie 1426
 – –, und Myokardinfarkt 1345
 – –, Retinopathie und Alkoholmißbrauch 1505
 – –, Wachstumshormon und Spätkomplikationen **1181**

- Diabetes mellitus, Wissensstand bei Ärzten und Patienten 1663
 – – Typ I, Einfluß von Fett auf Blutzucker und Insulinverbrauch nach Kartoffel-, Reis- und Apfelkonsum **1589**
 – –, Qualitätskontrolle der Blutzuckerselbstmessung **1553**
 – –, Serum-Amyloid-A-Erhöhung bei Behandlung mit Insulinpumpe 1089
 – – Typ II, Plasmapherese-Behandlung **1571**, 1904
 Diarrhoe, chronische, durch Laxantienabusus, Diagnostik **1607**
 Dipyridamol, Divergenz pharmakologischer und klinischer Wirkungen **1211**
 – – Test, Sensitivität **1481**
 Diuretika und Plasma-Kreatinin 1421
 Down-Syndrom und Schilddrüsensyndrom 1425
 Drogenabhängigkeit, katamnestiche Ergebnisse **1101**
 Drüsenkörperzysten des Magens, Häufigkeit und Bedeutung **1753**
 Ductus arteriosus persistens, transfemorale Verschuß **1322**
 Duodenalkarzinom, Diagnostik **1809**
 Duodenalpolypen **1183**
 Durchblutungsstörungen, zerebrale, mikrochirurgische Bypass-Operation **1413**
 Dysmorphismus, lobärer, der Nieren 1268
 Dysostosis cleidocranialis 1308

E

- Echinococcus cysticus 1092
 Echinokokkose, Mebendazol-Therapie **1521**
 Echokardiographie, Größenbestimmung des linken Vorhofs 1221
 Eikosapentaensäure und Blutviskosität 1545
 Eisen, Resorptionsstörung bei M. Crohn **1023**, **1424**
 Ekzem, endogenes, Therapie 1940
 Elektrokardiogramm, Veränderungen bei zentralnervösen Affektionen 1821
 Embolia cutis medicamentosa 1947
 Emissions-Computertomographie, zerebrale, mit ^{123}J -markierten Amphetaminen **1155**

Enalapril bei Hypertonie und Herzinsuffizienz **1295**
 Endokrinopathien, autoimmunne, Plasmapherese-Behandlung **1571**, 1904
 Endoskopie und Aszites, Ateminsuffizienz als Komplikation 1626
 Enzephalitis, Herpes-simplex-1623
 -, Röteln-, ungewöhnlicher Verlauf bei einem Erwachsenen **1796**
 Epilepsie, Diagnostik mit zerebraler Emissions-Computertomographie **1155**
 -, vorgetäuschte, bei Kindern 1585
 Ergotismus, Beeinflussung durch Captopril 1090
 Erkenntnislehre und Medizin **1538**
 Ernährung, enterale, durch perkutane endoskopische Gastrostomie **1203**
 -, parenterale, Katheterkomplikationen **1053**
 -, -, Subclavia-Thrombose als Katheterkomplikation 1305
 - und Arteriosklerose 1862
 Ersatz-Normalschlagbigeminus 1948
 Eretinat, teratogene Wirkung **1476**
 Exsikkose als Katarakt-Risikofaktor? 1991
 Extrasystolie, stabile ventrikuläre, Wirkung von Lorcaïnid **1829**

F

Faktor-VIII-Konzentrate bei v.-Willebrand-Jürgens-Syndrom **1800**
 Famotidin, Hemmung der intragastralen Acidität **1767**
 Fasciola hepatica, Wirkung von Praziquantel **1486**
 Femoralisparese nach vaginaler Hysterektomie **1848**
 α -Fetoprotein, Aussagekraft als Tumormarker 1219
 Fettleber, Alkohol- **1516**
 Fett, Nahrungs-, Einfluß auf Blutzucker und Insulinverbrauch nach Kartoffel-, Reis- und Apfelkonsum bei Typ-I-Diabetikern **1589**
 Fettsäuren, ungesättigte, und Blutviskosität 1545
 Fibrinolytika, hämorrhagische neurologische Komplikationen **1653**
 Fibrinopeptid A, Plasma-, zytostatika-induzierter Anstieg 1823

Fibroadenom 1427
 Fischöl und Blutviskosität 1545
 Flächendesinfektion im Krankenhaus **1696**
 Flecainid, cholestatischer Ikterus als Komplikation 1863
 Flugreisen bei chronisch-obstruktiver Lungenkrankheit 1464
 Fluoridprophylaxe der Zahnkaries 1220
 Fosfestrol-Tetranatrium, Induktion rezidivierender Thrombose trotz oraler Antikoagulantienbehandlung **1725**
 Frischzellentherapie, Einfluß auf CEA-Spiegel 1741
 Fusafungin bei Infekten der oberen Luftwege 1940
 Fußbodendesinfektion im Krankenhaus 1303

G

Galleleck, cholezzintigraphische Diagnostik **1398**
 Gallenblase, Kontraktilität bei Diabetes mellitus **1712**
 Gallenblasenstein, koloskopische transstuläre Exzision 1384
 Gallenblasenwand, polypoiden Läsionen **1068**
 Gallengangsdrainage, ultraschallgesteuerte perkutane transhepatische **1072**
 Gallensteinbildung, Prophylaxe durch Weizenkleie **1284**
 Gallensteine, atypische Symptomatik im Alter 1586
 Gas, retroperitoneal, Diagnostik durch bildgebende Verfahren **1313**
 Gasbrandinfektion, endogene 1867
 Gastritis, Oberflächen- 1542
 Gastroskopie, ungezielte Biopsie **1509**, 1990
 Gastrostomie, perkutane endoskopische, zur enteralen Ernährung **1203**
 Gelbfieber in Zentralafrika, Epidemiologie 1135
 Gen-Transfer durch Retroviren 1625
 Gesellschaft zur Erforschung des plötzlichen Säuglingstodes 1225
 Gesichtsverletzungen durch Hundeisse 1865
 Gianotti-Crosti-Syndrom 1467
 Glomerulonephritis 1547
 Glomerulonephritis bei AIDS 1178
 Glucose, Blut-, Selbstmessung bei Diabetes Typ I, Qualitätskontrolle **1553**

Glutamat-Dehydrogenase, Serum-, Bedeutung massiv erhöhter Aktivität **1789**
 Gold-Kolitis 1583
 Gonorrhoe, Rückgang aus Furcht vor AIDS 1346
 Gynäkomastie, Diagnostik **1850**
 -, Tamoxifen-Behandlung **1678**

H

Hämodialyse bei akutem Atemnotsyndrom des Erwachsenen mit Mykoplasma-Infektion der Lunge 1175
 -, Langzeit-, psychiatrische Aspekte **1614**
 -, Überlebenszeit und Todesursachen **1833**
 Hämodilution bei Hyperviskositätssyndrom infolge Polyzthämie **1643**
 -, isovolämische, mit mittel-molekularer Hydroxyäthylstärke bei peripherer arterieller Verschlusskrankheit **1844**
 Hämoglobine, glykosylierte 1423
 Hämphilie mit hämphilem Pseudotumor 1140
 Hämosiderose, Deferoxamin-Therapie **1669**, **1682**
 Handschuhe bei Verrichtungen am Krankenbett? 1940
 Harnwegsinfekte, Ätiologie und Therapie **1370**
 Hashimoto-Thyreoiditis, Pathogenese und Diagnostik **1574**
 -, Therapie 1421
 Hauttumoren nach Sonnenexposition bei Immunsuppression 1545
 Hemeralopie, Behandlung mit Vitamin A 1346
 Heparin, Anstieg der Serum-Transaminasen 1466
 -, Blutprobenentnahme 1826
 -, hämorrhagische neurologische Komplikationen **1653**
 -, niedermolekulares Analog, bei heparin-induzierter kutaner Reaktion **1326**
 Hepatitis, Alkohol- **1516**
 - B, Endemie bei leukämiekranken Kindern 1941
 -, eingeschränkter Schutimpfungserfolg? 1136, 1422
 - non A-non B, Kombination mit akuter Polyneuritis **1160**
 -, -, und Schwangerschaft 1461
 Herpes-simplex-Enzephalitis 1623
 -, Prophylaxe bei Immunsuppression mit Aciclovir 1346

Herpes zoster, traumatische Auslösung 1461
 Herzinsuffizienz, Wirkung von Captopril und Enalapril **1295**
 Herzkrankheit, angeborene zyanotische, intellektuelle Entwicklung ohne Operation verzögert 1946
 -, koronare, antianginöse Wirksamkeit von zellulosegebundenem oralem Nitroglycerin **1187**
 -, -, aortokoronarer Bypass **1671**
 -, -, Diät 1465
 -, -, Dipyridamol-Test **1481**
 -, -, Wirkung von Bisoprolol **1914**
 Herz-Lungen-Maschine und Hirndurchblutung 1864
 Herzrhythmusstörung, supraventrikuläre, transvenöse elektrische His-Bündel-Ablation **1329**
 Herzschrittmacher, Fehlfunktion bei Batterie-Erschöpfung 1708
 -, Stimulationshemmung durch Muskelpotentiale 1628
 Herzvorhof, linker, Größenbestimmung bei Mitralvitium 1221
 Hirndurchblutung nach extrakorporaler Zirkulation 1864
 Hirndurchblutungsstörungen, mikrochirurgische Bypass-Operation **1413**
 His-Bündel-Ablation, transvenöse elektrische, bei supraventrikulärer Arrhythmie **1329**
 Hörschäden durch Lärm **1429**
 Hörverlust, Vitamin-D-Therapie? 1085
 Hüftgelenke Neugeborener, Untersuchung 1089
 Hüftgelenkdysplasie, sonographische Frühdiagnostik 1178
 Hundebiß, Gesichtsverletzungen 1865
 Husten und Rauchen bei Schulkindern 1825
 Hydroxyäthylstärke, mittel-molekulare, bei peripherer arterieller Verschlusskrankheit **1844**
 Hypercholesterinämie, Therapie 1781
 Hyperglykämie und Hyponatriämie 1426
 Hyperkapnie und Zwerchfellfunktion 1945
 Hyperkinesen, späte, nach Neuroleptika-Behandlung **1533**
 Hyperlipidämie, alkohol-induzierte, Diagnostik **1728**
 -, antiatherogener Effekt der Therapie 1090
 Hypernephrom 1828

- Hyperparathyreoidismus, sonographische Lokalisation von Nebenschilddrüsenadenomen **1108**, 1382
- Hyperplasie, fokale epitheliale, Virusgenese **1763**
- Hyperthyreose, jod-induzierte **1077**, **1081**
- nach jodhaltigen Augentropfen 1304
- , Plasmapherese-Behandlung **1571**, 1904
- Hypertonie, arterielle, Behandlung mit Nifedipin 1302
- , –, Blutdruckverhalten bei kurklinischer Behandlung 1823
- , –, hämodynamische Wirkung von Co-Dergocrinmesylat **1064**
- , –, in der Schwangerschaft, Entspannungstraining 1825
- , –, Patienten-Compliance 1705
- , –, β -Rezeptorenblocker zur Belastungsdrucksenkung 1582
- , –, Wirkung von Captopril und Enalapril **1295**
- Hypochlorithaltige Sanitärreiniger **1874**
- Hypoglykämie und Hypothermie 1586
- Hyponatriämie bei Hyperglykämie 1426
- Hyposiderinämie und Anämie bei M. Crohn 1744
- Hypothermie und Hypoglykämie 1586
- Hypothyreose, jod-induzierte **1077**
- , kongenitale, in Südbayern **1918**
- Hysterektomie, vaginale, Femoralisparsese als Komplikation **1848**
- I**
- Ichthyosis, Zusammenhang mit γ -GT-Erhöhung? 1342
- Ifosfamid und Cisplatin bei nicht-kleinzelligem Bronchialkarzinom **1059**
- Iktus, cholestatischer, bei Flecainid-Therapie 1863
- bei Paracetamol-Überdosierung 1225
- Iloprost, Behandlung des Raynaud-Phänomens bei Sklerodermie **1433**
- Immundefekt-Syndrom, erworbenes, Antikörper gegen menschliches T-Zell-Leukämie-Virus Typ III **1709**
- , –, Autopsiebefunde 1991
- , –, mit Glomerulosklerose 1178
- Immundefekt-Syndrom, erworbenes, Klinik und Verlauf **1955**
- Immunglobulin-D-Plasmozytom **1775**
- Immunglobuline, unspezifische Therapie 1987
- Immunthyreoiditis, Therapie 1421
- Impedanz-Audiometrie bei Schulkindern 1905
- Impetigo herpetiformis 1667
- Infertilität, kein Zusammenhang mit Mykoplasma-Infektion 1346
- Influenzavirus, Immunität gegen Typ A und B **1970**
- Infrarot-Koagulation, Zulassung zur Kassenabrechnung 1546
- Injektion, intramuskuläre, Komplikationen 1503
- Insuffizienz, respiratorische, bei Aszites nach endoskopischer Verödung von Ösophagusvarizen 1626
- , –, Sauerstoffbehandlung 1425
- , –, zerebrovaskuläre, Diagnostik mit zerebraler Emissions-Computertomographie **1155**
- , –, mikrochirurgische Bypass-Operation **1413**
- Insulinom, periodisch aktives 1543
- und intraoperativer Einsatz bildgebender Verfahren 1783
- Insult, akuter zerebraler ischämischer, Therapie 1780
- Intensionspotential, motorisches **1692**
- Isosorbiddinitrat, Toleranzentwicklung **1124**
- J**
- Jod in Augentropfen und Hyperthyreose 1304
- , exzessive Zufuhr und ihre Folgen **1077**
- , Resorption aus PVP-Jod-Präparaten **1401**
- Jodmangel, kongenitale Struma und kongenitale Hypothyreose in Südbayern **1918**
- Juckreiz bei atopischer Dermatitis, Therapie 1940
- K**
- Kaffee und Serum-Cholesterin 1865
- Kaposi-Sarkom 1267
- Kardiomyopathie, hypertrophische obstruktive 1868
- , –, Septumresektion **1749**
- Kardioversion, endokardiale, bei ventrikulärer Tachykardie **1443**
- Karpaltunnelsyndrom, Leitsymptom bei generalisierter Tendomyopathie **1793**
- Karzinom, bronchiolo-alveoläres 1307
- , kolorektales, diagnostische Bedeutung von CA 19-9 **1935**
- , –, – – – und CEA **1141**
- , –, Untersuchung auf okkultes Blut im Stuhl **1890**
- Katarakt, Exsikkose als Risikofaktor? 1991
- Katheter, zentralvenöser, perkutane transluminale Extraktraktion bei intrakardialer Embolisation **1361**
- , –, Subclavia-Thrombose als Komplikation 1305
- Keratoakanthom 1387
- Kiefernzyste 1507
- Kinder aus Armenvierteln, Klinikeinweisungen 1945
- Kindesmißhandlung oder Bewegungsübung? 1345
- Kindstod, plötzlicher, und Virusinfektion der Atemwege 1825
- Kinetose, Prophylaxe mit TTS-Scopolamin **1881**
- Klinikeinweisung von Kindern aus Armenvierteln 1945
- Knie, Arthroskopie 1178
- , Calcinosis cutis dystrophica 1626
- Knochenmarktransplantation bei chronischer myeloischer Leukämie **1074**
- bei Panmyelopathie und Leukämien **1909**
- Knotenstruma, Malignomhäufigkeit und Operationsindikation **1319**
- , thyreotrope Hypophysenfunktion und Schilddrüsenhormone postoperativ **1757**
- Körpergewicht und Rauchen 1137
- Kohlenhydrate, Einfluß von Nahrungsfett auf Resorption bei Typ-I-Diabetikern **1589**
- Kolitis, Gold- 1583
- Kolon-Doppelkontrast nach Rektoskopie 1304
- Kolonkarzinom, CA 12-5 im Vergleich mit CA 19-9 und CEA **1949**
- Kolorektale Angiodysplasien **1549**
- Tumoren, Diagnostik mit CEA und CA 19-9 **1309**
- Koloskopie, endoskopisch-radiologisch dokumentierte **1197**, 1462
- mit Milzruptur-Folge 1782
- Kontaktdermatitis, chronische photoallergische 1827
- Kontrastmittelreaktionen, Prophylaxe und Therapie 1264
- Kontrazeption, hormonale, und Porphyrie 1701
- Kopfschmerzen, chronische, durch Nasenseptum-Deviation 1224
- im Kindesalter, Diagnostik und Therapie **1930**
- Koronararterienaneurysmen **1236**
- Kotstein der Appendix 1052
- Kreatinin, Plasma-, und Diuretika 1421
- Kreatinkinase, Serum-, erhöhte Aktivität 1172, 1305, 1462, 1822
- Krebs, Kenntnisse der Patienten 1864
- Krebshäufigkeit in der Bundesrepublik **1735**
- Kreislauf, extrakorporaler, und Hirndurchblutung 1864
- L**
- Lärm, Hörschäden **1429**
- Läsionen, polypoide, der Gallenblasenwand **1068**
- Laxantienabusus, Ursache chronischer Diarrhoe, Diagnostik **1607**
- Lebensjahre, verlorene 1264
- Leberkarzinom, fibrolamelläres, Neutrotenin als Tumormarker 1625
- Leberresektion, Indikation und Risiko **1730**
- Leberschädigung durch Kombination von Antikonzeption und Cyclosporin A 1989
- Leberzirrhose, Alkohol- **1516**
- , dekompensierte, Rekomposition durch peritoneo-pleuralen Shunt? 1703
- Lepra, Maskierung durch Corticosteroide 1546
- Léri-Syndrom 1508
- Leukämie, akute, Knochenmarktransplantation **1909**
- , –, zytostatika-bedingter Anstieg des Fibrinogenpeptid-A-Plasmaspiegels 1823
- bei Kindern, Hepatitis-B-Epidemie 1941
- , chronische lymphatische, IgG- und IgA-Antikörper gegen EBV-assoziierte Antigene **1837**
- , –, myeloische, Knochenmarktransplantation **1074**, **1909**
- , –, molekulargenetische Aspekte **1894**
- , lymphatische, akute und chronische, biochemische Marker **1375**

- Leukoplakie, enorale und pharyngeale, Koinzidenz mit Unterlippenkarzinom **1229**
- Levodopa und Bromocriptin, Behandlung des Parkinson-Syndroms **1279**
- Lichen ruber erosivus **1051**
- Lichtdermatose, polymorphe **1139**
- Lipomate **1542**
- Lipoproteine, Plasma-, und Nahrungs-Cholesterin **1385**
- Lippenkarzinome und -präkanzerosen **1229**
- Liquor, Nachweis maligner Zellen durch monoklonale Antikörper **1466**
- Liquorzellen, Oberflächenmarker-Analyse zur Differentialdiagnose intrathekalen Lymphoplozytosen **1760**
- Litholyse, chemische, von Cholelithen-Rezidivsteinen **1232, 1462**
- Lorcainid bei stabiler ventrikulärer Extrasystolie **1829**
- Lumbalpunktion nach Computertomographie **1902**
- Lungenfunktion bei Asthma bronchiale, Selbstkontrolle mit Peak-flow-Meter **1529**
- Lungenkrankheit, chronisch-obstruktive, und Flugreisen **1464**
- Lungentuberkulose, Behandlungsergebnisse **1418**
- Lyell-Syndrom **1747**
- Lymphadenopathie-Syndrom, Antikörper gegen menschliches T-Zell-Leukämie-Virus Typ III **1709**
- , Klinik und Verlauf **1955**
- Lymphom, Burkitt-, IgG- und IgA-Antikörper gegen EBV-assoziierte Antigene **1837**
- , malignes, des Dünndarms nach langjähriger Sprue **1988**
- Lymphome, maligne, biochemische Marker **1375**
- Lymphoplozytose, intrathekale, Oberflächenmarker-Analyse auf Liquorzellen zur Differentialdiagnose zwischen Entzündung und Lymphom **1760**
- Lymphozytenkonzentrate **1382**
- M**
- Magen, Drüsenkörperzysten, Häufigkeit und Bedeutung **1753**
- , Röntgendiagnostik **1261**
- Magenballon bei Adipositas **1200, 1263**
- Magenkarzinom, Bedeutung von CA 19-9 und CEA **1141**
- Magenkarzinom, metastasierendes, Chemotherapie **1463, 1704**
- , relative Zunahme im Cardia-Bereich **1303**
- Magensäure, Sekretionshemmung durch H₂-Rezeptor-Antagonisten **1767**
- Magnetfeldtherapie bei Periarthropathia humeroscapularis **1224**
- , Tibia-Pseudarthrosen **1665**
- Malaria, gentechnologische Voraussetzungen zur aktiven Immunisierung **1705**
- Mammakarzinom, metastasierendes, Korrelation zwischen Kurzzeitinkubationstest und Therapie-Ergebnis **1356**
- , Mortalitätsenkung durch Mammographie-Screening **1505**
- , Skelettszintigraphie in der Nachsorge? **1639**
- , Steroidhormonrezeptoren und Überlebenszeit **1785**
- Mammographie-Screening und Brustkrebs-Mortalität **1505**
- Masern, Forderung nach Wiedereinführung der Meldepflicht **1345**
- Mebendazol bei Echinokokkose **1521**
- Meclozin, Seekrankheits-Prophylaxe **1881**
- Medizin und Erkenntnislehre **1538**
- Meloreostose **1508**
- Meningitis, karzinomatöse, Nachweis maligner Zellen im Liquor durch monoklonale Antikörper **1466**
- Meteorologischer Informationsservice für Ärzte **1745**
- Metoprolol, Einfluß auf Blutalkoholkonzentration **1557**
- Migräne, Angstvorstellungen **1466**
- , Diagnostik mit zerebraler Emissions-Computertomographie **1155**
- , im Kindesalter, Diagnostik und Therapie **1930**
- Milzexstirpation und OPSI-Syndrom **1249**
- Milzruptur als Koloskopiefolge **1782**
- Minderwuchs, Therapie **1342**
- Misoprostol bei Ulcus duodeni **1224**
- Mitralvitium, Größenbestimmung des linken Vorhofs **1221**
- Molsidomin, Toleranzentwicklung **1124**
- Mononukleose, infektiöse, IgG- und IgA-Antikörper gegen EBV-assoziierte Antigene **1837**
- Morbus Basedow, Pathogenese und Diagnostik **1574**
- Morbus Crohn, Autoantikörper gegen exokrines Pankreas **1963, 1984**
- , Diagnostik **1770**
- , Genese von Hyposiderinämie und Anämie **1023, 1424**
- 1744
- , Immunpathogenese **1984**
- , medikamentöse und operative Therapie **1093, 1811**
- , und C-reaktives Protein **1301**
- , Heck, Virusgenese **1763**
- , Mnière, Diagnostik **1566**
- , Therapie **1569**
- , Paget **1388**
- , Whipple und Polyarthrit **1176**
- Mucoviscidose, Selbstbehandlung **1626**
- Multiple Sklerose, DNS-Antikörper **1422**
- Muskeldystrophie Duchenne, erhöhte Kreatinkinase-Aktivität **1305**
- , progressive, Notwendigkeit der Früherkennung **1346**
- Myasthenia gravis, begleitende, bei malignem Thymom, Therapie **1244**
- , Thymektomie **1166**
- Myelofibrose **1787**
- Mykoplasma-Infektion der Lunge mit akutem Atemnotsyndrom des Erwachsenen, Dialysebehandlung **1175**
- , kein Zusammenhang mit Infertilität **1346**
- Myokardinfarkt bei Diabetes mellitus **1345**
- , Entstehungsmechanismus **1660**
- , medikamentöse Rezidivprophylaxe **1892**
- , mit Koronarthrombose ohne Einengung der Herzkranzgefäße **1622**
- , Rehabilitation **1663**
- Myokarditis, Katecholamin-, bei Phäochromozytom **1885**
- Myxödem, primäres, Pathogenese und Diagnostik **1574**
- N**
- Nachtblindheit, Behandlung mit Vitamin A **1346**
- Naevus, blauer, der Prostata **1091**
- Nahrungsmittel, tödliche Asphyxie-Ursache bei Kindern **1991**
- Naloxon, kardiovaskuläre Nebenwirkungen **1090**
- Narkolepsie, Therapie **1262**
- Nasenseptum-Deviation und chronische Kopfschmerzen **1224**
- Nasopharynxkarzinom, IgG- und IgA-Antikörper gegen EBV-assoziierte Antigene **1837**
- Nebennieren, Autotransplantation **1609**
- Nebennierentumoren, Computertomographie **1494**
- Nebenschilddrüsen, Autotransplantation **1609**
- Nebenschilddrüsenadenom bei Hyperparathyreoidismus, sonographische Lokalisation **1108, 1382**
- Neugeborene, Untersuchung der Hüftgelenke **1089**
- Neuroblastom, Olfactorius-, extrakranielles, Diagnostik **1164**
- Neurodermitis, Therapie **1940**
- Neuroleptika, Spätdyskinesien als Nebenwirkungen **1533**
- Neuropathie, autonome, bei Diabetes mellitus und Cholelithiasis **1712**
- , diabetische, Früherkennung **1546**
- Neurotensin bei fibrolamellärem Leberkarzinom **1625**
- Niere, urographisch stumme **1987**
- Nieren, lobärer Dysmorphismus als Normvariante **1268**
- , polyzystische **1428, 1664**
- Niereninsuffizienz, terminale, Überlebenszeit und Todesursachen bei Dialysepatienten **1833**
- Nierensteine, Therapie **1460**
- Nierentransplantation, postoperative Immunsuppression **1689**
- , serologische Zytomegalie-Diagnostik **1222**
- , und Schwangerschaft **1721**
- Nierenversagen, akutes, Diagnostik **1289**
- , Therapie **1293**
- Nierenzysten und Polyglobulie **1364**
- Nifedipin, Atenolol und Propranolol bei Zigarettenrauchen **1945**
- , bei Hypertonie **1302**
- , erhöhte Plasmakonzentration durch Ranitidin **1223**
- Nitratoleranz, Pro und Contra **1124**
- Nitroglycerin, Toleranzentwicklung **1124**
- , zellulosegebundenes, anti-anginöse Wirksamkeit bei oraler Einnahme **1187**
- Nobelpreis für Chemie **1984**
- 1901**
- , Medizin **1984**
- 1705**

O

- Oberflächengastritis 1542
 Ödem, hereditäres angioneurosisches, Diagnostik und Therapie 1331
 –, idiopathisches, Diagnostik und Therapie 1581
 Ösophagitis und duodenogastraler Reflux 1205, 1623
 Ösophagus, Spontanruptur nach Varizensklerosierung mit Polidocanol 1086
 –, Talgdrüsen-Heterotopie 1503
 Ösophagusstenose, endoskopische Injektionsbehandlung mit Polidocanol 1973
 Ösophagusvarizenblutung, chirurgische Indikationen 1453
 Östradiol, Serum-, bei Gynäkomastie 1678
 Östrogene, Induktion rezidivierender Thrombose trotz oraler Antikoagulantienbehandlung 1725
 Ohr-Akupunktur 1090
 Olfactorius-Neuroblastom, extrakranielles, Diagnostik 1164
 On-Demand-Analgesie mit Tramadol bei doppelseitiger Rippenserienfraktur 1449
 Ophthalmopathie, endokrine, Pathogenese und Diagnostik 1574
 –, –, Plasmapherese-Behandlung 1571, 1904
 Opiatabhängigkeit, katamnestische Ergebnisse 1101
 OPSI-Syndrom nach Splenektomie 1249
 Orthograde Darmspülung mit Ringer-Lactat-Lösung 1824
 Osteogenesis imperfecta nach der Menopause 1944
 Osteoporose und Schenkelhalsfrakturen bei älteren Frauen 1138
 Oxmetidin, Hemmung der intragastralen Acidität 1767

P

- Pankreas, Autotransplantation 1609
 Pankreasfunktionstest, indirekter, durch Chymotrypsinbestimmung im Stuhl 1527
 Pankreaskarzinom, diagnostische Bedeutung des Tumormarkers CA 19-9 1141, 1869, 1935
 –, CA 12-5 im Vergleich mit CA 19-9 und CEA 1949
 –, Rezidivdiagnostik und Verlaufsbeobachtung 1410

- Pankreatitis, akute, Behandlung mit Calcitonin? 1903
 –, –, durch Codein? 1544
 –, –, biliäre, und Cholelithiasis 1349, 1704
 –, chronisch rezidivierende, Schmerzbekämpfung 1621
 –, chronische, Überwachung und Verlaufsdiagnostik 1489
 Panmyelopathie, Knochenmarktransplantation 1909
 –, Pathogenese und Therapie 1816
 Papillinkarzinom, Klinik und Feinstruktur 1629
 Paracetamol, Ikterus bei Überdosierung 1225
 Parkinson-Syndrom, Behandlung mit Bromocriptin und Levodopa 1279
 Peak-flow-Meter zur Selbstkontrolle der Lungenfunktion bei Asthma bronchiale 1529
 Penis-Prothesen 1662
 Periarthropathia humeroscapularis, Magnetfeldtherapie 1224
 Perikarderguß, Diagnostik und Therapie mit Pig-tail-Katheter 1151, 1704
 Phäochromozytom mit Hypotension und Schock 1885
 Phantomschmerz, Therapie 1301
 Phenprocoumon, Auslösung intramuraler Darmwandblutung 1686
 – und Fosfestrol-Tetrantrium, Interaktion 1725
 Phlebothrombose, tiefe, Therapie 1336
 Piracetam, Monographie-Entwurf des BGA 1905
 Piroxicamvergiftung, Klinik und Verlauf 1583
 Plantarwarzen, Übertragungsmöglichkeit und Behandlung 1085
 Plasmapherese bei autoimmunem Endokrinopathien 1571, 1904
 – bei thrombotisch-thrombozytopenischer Purpura 1922
 Plasmozytom, kappa-Leichtkettentyp, bei nephrotischem Syndrom 1405
 –, IgD- 1775
 Polidocanol, endoskopische Injektion bei Ösophagusstenosen 1973
 Polyarthritiden bei M. Whipple 1176
 –, chronische, Langzeit-Behandlungsergebnisse 1264
 Polyglobulie bei Nierenzysten 1364
 Polymyalgia rheumatica und Riesenzellarteriitis 1635

- Polyneuritis, akute, bei Hepatitis-nonaA-nonB 1160
 Polyneuropathie bei Porphyrie im höheren Lebensalter 1343
 Polypen der Gallenblasenwand 1068
 –, kolorektale, endoskopische Ektomie 1861
 Polyzythämie, Ursache von Papillenödem und Fundusblutungen, Therapie 1643
 Porokeratose, aktinische disseminierte superfizielle 1347
 Porphyrie, Möglichkeit von Fehlgeburten 1174
 – und Polyneuropathie im Alter 1343
 Praziquantel gegen Fasciola hepatica 1486
 Prednison, Immunsuppression nach Nierentransplantation 1689
 Propafenon, Induktion intrahepatischer Cholestase 1525
 Propranolol, Atenolol und Nifedipin bei Zigarettenrauchern 1945
 Prostacyclin, gesteigerte Biosynthese bei Arteriosklerose 1946
 Prostatakarzinom, fortgeschrittenes, Therapie 1975
 –, verringerte postoperative Impotenz durch modifizierte retropubische Prostataektomie 1178
 Protein, C-reaktives, bei M. Crohn 1301
 Pseudozysten, pulmonale, traumatisch bedingte 1116
 Psychische Störungen bei nicht-psychiatrischen Klinikpatienten 1438, 1664
 Psychose nach Cannabis-Abusus 1225
 Pubertas tarda, männliche, Diagnostik 1647
 –, –, Therapie 1651
 Pulmonalklappenstenose, perkutane Klappensprengung mit Ballonkatheter 1106
 Purpura Schönlein-Henoch 1907
 Purpura, thrombotisch-thrombozytopenische, Plasmapherese-Behandlung 1922
- R
- Ranitidin, Hemmung der intragastralen Acidität 1767
 –, Interaktion mit Nifedipin 1223
 Rauchen, Atenolol, Propranolol und Nifedipin 1945
 – im Schulkindalter 1785
 – und Husten bei Schulkindern 1825
 – und Körpergewicht 1137

- Rauchvergiftung durch Zinkchlorid 1905
 Raynaud-Phänomen bei Sklerodermie, Behandlung mit Iloprost 1433
 Reanimation, Arzt-Patienten-Gespräch 1385
 –, Erfolgsaussichten 1346
 Reflux, duodenogastraler 1205, 1623
 Rektoskopie vor Kolon-Kontrasteinlauf 1304
 Retikuloid, aktinisches 1827
 Retinopathie, diabetische, und Alkoholmißbrauch 1505
 –, –, und Wachstumshormone 1181
 Retroviren, Antikörper bei erworbenem Immundefekt-Syndrom und Lymphadenopathie 1709
 Retrovirus, Genübertragung 1625
 Reye-Syndrom in Großbritannien 1745
 Rhinophym 1587
 Riesenzellarteriitis und Polymyalgia rheumatica 1635
 Röntgendiagnostik des Magens 1261
 Röteln, konnatale, IgM-enzymimmunologischer Suchtest 1600
 Rötelnzephalitis bei einer Erwachsenen mit ungewöhnlichem Verlauf 1796
 Rötelnschutzimpfung, akzidentelle, in der Schwangerschaft 1806
 Rumination, habituelle 1225
- S
- Sanitärreiniger, hypochlorithaltige 1874
 Sarkom, Kaposi- 1267
 Sauerstoffbehandlung bei obstruktiver Lungenerkrankung 1425
 Schenkelhalsfrakturen und Osteoporose bei älteren Frauen 1138
 Schilddrüsenadenom 1588
 –, atypisches, Therapie und Prognose 1133
 Schilddrüsendysfunktion bei Kindern mit Down-Syndrom 1425
 Schilddrüsenfunktion, Bewertung bei schwerkranken Patienten 1981
 Schilddrüsenkarzinom bei Knotenstruma 1319
 Schilddrüsenkrankheiten, autoimmune, Pathogenese und Diagnostik 1574
 Schlafwandeln 1826
 Schlaganfall, akuter, Therapie 1780

- Schmerzempfindlichkeit, situationsabhängige 1178
 Schock, Adrenalin-, bei Phäochromozytom **1885**
 Schocklunge, Therapie 1135
 Schulkinder, Rauchergewohnheiten 1785
 –, – und Husten 1825
 Schutzimpfung, Hepatitis-B, eingeschränkter Erfolg? 1136, 1422
 –, Röteln-, akzidentelle, in der Schwangerschaft **1806**
 Schwangerschaft, Entspannungstraining bei Hypertonie 1825
 –, teratogene Wirkung von Etreinat **1476**
 – und akzidentelle Röteln-schutzimpfung **1806**
 – – Nierentransplantation **1721**
 – – NonA-nonB-Hepatitis 1461
 – – Windpocken **1192**
 Scopolamin, transdermal, Seerkrankheit-Prophylaxe **1881**
 Seerkrankheit, Prophylaxe mit TTS-Scopolamin **1881**
 Sézary-Syndrom, biochemische Marker **1375**
 Shunt, arteriovenöser, nach Katheterisierung der V. jugularis interna 1626
 Sicca-Syndrom, chronische Amylase-Erhöhung **1604**
 Sjögren-Syndrom, chronische Amylase-Erhöhung **1604**
 Sklerodermie, progressive, mit Raynaud-Phänomen, Behandlung mit Iloprost **1433**
 –, – systemische **1389**
 Sklerose, multiple, DNS-Antikörper 1422
 Sonographie bei Insulinom 1783
 –, Diagnose intramuraler Darmwandblutung bei Phenprocoumon-Behandlung **1686**
 –, – extrakranieller Stenosen und Verschlüsse **1595**
 –, – polypoider Läsionen der Gallenblasenwand **1068**
 –, – retroperitonealer Gasansammlung **1313**
 –, Frühdiagnostik der Hüftgelenksdysplasie 1178
 –, Lokalisation von Nebenschilddrüsenadenomen bei Hyperparathyreoidismus **1108**, 1382
 –, Pankreaskarzinom-Diagnostik **1410**
 –, zweidimensionale, zur Diagnostik von Carotisstenosen **1878**
 Spätdyskinesien, Nebenwirkungen der Neuroleptika-behandlung **1533**
 Speiseöl, toxisches, Vergiftungen in Spanien 1506
 Splenektomie und OPSI-Syndrom **1249**
 Sport bei banalen Infekten? 1172, 1423
 Sprue, Übergang in malignes Lymphom des Dünndarms 1988
 Sterben, Patientenbetreuung 1665
 Straßenverkehrsunfälle durch überhöhte Geschwindigkeit 1785
 Streptokinase, hämorrhagische neurologische Komplikationen **1653**
 Streß-Ulcus und duodenogastri-
 straler Reflux **1205**, 1623
 Struma, jod-induzierte **1077**
 –, kongenitale, und Jodmangel **1918**
 –, nodöse, Malignomhäufigkeit und Operationsindikation **1319**
 –, –, thyreotrope Hypophysenfunktion und periphere Schilddrüsenhormone postoperativ **1757**
 Strumpffarben-Allergie **1469**
 Studenten im Sommersemester 1984 1665
 Stuhl, Untersuchung auf okkultes Blut **1890**
 Subclavia-Thrombose 1468
 – – als Katheterkomplikation 1305
 Suizid und Wetter **1716**
 Sulfinpyrazon, Divergenz pharmakologischer und klinischer Wirkungen **1211**
 Syndrom, Atemnot-, akutes, des Erwachsenen, bei Mykoplasma-Infektion der Lunge, Dialysebehandlung 1175
 –, –, bei Erwachsenen, Therapie 1135
 –, Down-, und Schilddrüsen-dysfunktion 1425
 – durch toxisches Speiseöl 1506
 –, Gianotti-Crosti- 1467
 –, Hyperviskositäts-, durch Polyzythämie, Therapie **1643**
 –, Immundefekt-, erworbenes, Antikörper gegen menschliches T-Zell-Leukämie-Virus Typ III **1709**
 –, –, Klinik und Verlauf **1955**
 –, Karpaltunnel-, Leitsymptom bei generalisierter Tendomyopathie **1793**
 –, Lévi- 1508
 –, Lyell- 1747
 –, Lymphadenopathie-, Antikörper gegen menschliches T-Zell-Leukämie-Virus Typ III **1709**
 –, –, Klinik und Verlauf **1955**
 Syndrom, nephrotisches, durch Plasmazytom vom kappa-Leichtkettentyp **1405**
 –, OPSI-, nach Splenektomie **1249**
 –, Parkinson-, Behandlung mit Bromocriptin und Levodopa **1279**
 –, Reye-, in Großbritannien 1745
 –, Sézary-, biochemische Marker **1375**
 –, Sicca-, chronische Amylase-Erhöhung **1604**
 –, Sjögren-, chronische Amylase-Erhöhung **1604**
 –, Toxic-oil- 1265
 –, v.-Willebrand-Jürgens-, Behandlung mit Faktor-VIII-Konzentraten **1800**
 Synovialzyste 1548
 Szintigraphie mit Indium-111-markierten Blutplättchen **1853**
 –, Skelett-, nach Mammakarzinomoperation **1639**
- ### T
- Tachykardie, ventrikuläre, endokardiale Kardioversion **1443**
 Talgdrüsen-Heterotopien im Ösophagus 1503
 Tamoxifen bei Gynäkomastie des Mannes **1678**
 Tendomyopathie, generalisierte, Grundkrankheit bei idiopathischem Karpaltunnelsyndrom **1793**
 Testosteron, Serum-, bei Gynäkomastie **1678**
 Thalliumvergiftung, chronische **1561**
 Thromboembolie, Prophylaxe 1460
 Thrombose der Vena lienalis und der Pfortader 1348
 – der Vena subclavia 1468
 – – – als Katheterkomplikation 1305
 –, Venen-, tiefe **1336**
 Thrombozyten, Indium-111-markierte, Möglichkeiten szintigraphischer Diagnostik **1853**
 Thymektomie bei Myasthenia gravis **1166**
 Thymoltrübungs-Test 1661
 Thymom, malignes, und begleitende Myasthenia gravis, zytostatische Therapie **1244**
 Thyreoiditis, Hashimoto-, Pathogenese und Diagnostik **1574**
 –, –, Therapie 1421
- Thyreotoxikose, Plasmapherese-Behandlung **1571**, 1904
 Ticlopidin, Einfluß auf periphere obliterierende Arteriopathie **1240**
 Todesursachenstatistik, Sinn und Unsinn **1269**
 Tollwutvirus im Speichel infizierter Tiere vor Ausbruch der klinischen Symptome 1781
 Tonsillektomie bei Kindern 1177, 1424
 »Toxic-oil«-Syndrom 1265
 Tramadol, On-Demand-Analgesie bei Rippenserienfraktur **1449**
 Transaminasen, Serum-, Anstieg durch Heparin 1466
 Tremor, essentieller, Therapie 1262
 Tuben, Beatmungs-, Adhäsion von Mikroorganismen **1148**
 Tuberkulose, Lungen-, Behandlungsergebnisse **1418**
 Tumoren, epitheliale, und Alkoholkonsum 1089
 –, kolorektale, Diagnostik mit CEA und CA 19-9 **1309**
 Tumormarker bei lymphatischen Neoplasien **1375**
 – CA 12-5 bei Pankreas- und Kolonkarzinom **1949**
 – CA 19-9, diagnostische Bedeutung beim Pankreaskarzinom und kolorektalen Karzinom **1869**, **1935**, **1949**
 – CEA und CA 19-9 bei Pankreaskarzinom **1410**
- ### U
- Ulcus duodeni, Behandlung mit Misoprostol 1224
 – – und duodenogastri-
 straler Reflux **1205**, 1623
 –, Heilungsraten nach Einmalgabe von Ranitidin und Cimetidin **1767**
 –, Operationshäufigkeit nach Einführung der H₂-Rezeptorenblocker **1122**
 –, Vergleich zweier Cimetidin-Dosierungen 1087
 –, Wirkung von Cimetidin 1344
 – ventriculi, Operationshäufigkeit nach Einführung der H₂-Rezeptorenblocker **1122**
 – – und duodenogastri-
 straler Reflux **1205**, 1623
 –, Streß-, und duodenogastri-
 straler Reflux **1205**, 1623
 Ultraschall, Kongreß über biologische Wirkungen 1225
 Unfälle von Kindern in Irland 1586
 –, tödliche, durch Nahrungsmittel bei Kindern 1991

Unguis incarnatus, Therapie **1451**
 Unterlippe, Präkanzerosen und Karzinome **1229**

V

Varizellen, Risiko in Schwangerschaft und Neonatalperiode **1192**
 Vasektomie und Arteriosklerose 1501
 Vena jugularis interna, arteriovenöser Shunt nach Katheterisierung als Komplikation 1626
 Venenkatheter, zentraler, Hypoglossus-Lähmung als Komplikation 1826
 -, -, Komplikationen bei parenteraler Ernährung **1053**
 Venenthrombose, tiefe, Therapie **1336**
 Ventrikeltrombus 1668
 Vergiftung, Arsen-, durch imprägniertes Brennholz 1466

Vergiftung durch hypochlorithaltige Sanitärreiniger **1874**

- - toxisches Speiseöl 1506
 -, Knollenblätterpilz-, und Alkohol 1263
 -, Piroxicam-, Klinik und Verlauf 1583
 -, Thallium-, chronische **1561**
 Verschlusskrankheit, periphere arterielle, Einfluß von Ticlopidin **1240**
 -, -, rheologische Wirkung von mittelmolekularer Hydroxyäthylstärke **1844**
 Videospiel, Neuropathie-Ursache 1826
 Virus, T-Zell-Leukämie-, Typ III, Antikörper bei erworbenem Immundefekt-Syndrom und Lymphadenopathie **1709**
 Virusinfektionen der Atemwege und plötzlicher Kindstod 1825
 Vitamin A bei Nachtblindheit 1346

Vitamin D bei Hörverlust? 1085
 - E, Erfassung von Mangelzuständen 1546
 Vorhofrhythmus, links-atrialer anteriorer inferiorer 1228

W

Wachstumshormon und diabetische Spätkomplikationen **1181**
 Wachstumstörung, Therapie 1342
 Warfarin, stereoselektive Wirkung 1943
 Warzen nach Sonnenexposition bei Immunsuppression 1545
 Weizenkleie zur Prophylaxe der Gallensteinbildung **1284**
 Wetter und Suizid **1716**
 von-Willebrand-Jürgens-Syndrom, Behandlung mit Faktor-VIII-Konzentraten **1800**
 Windpocken, Risiko in Schwangerschaft und Neonatalperiode **1192**

X

Xanthodermie 1661

Z

Zahnkaries, Fluoridprophylaxe 1220
 Zehennagel, eingewachsener, Therapie **1451**
 Zinkchlorid, Rauchvergiftung 1905
 Zoster, traumatische Auslösung 1461
 Zwerchfellfunktion und Hyperkapnie 1945
 Zwerchfellstimulation bei Quardriplegie mit Atemlähmung 1546
 Zyste, Baker- 1548
 -, radikuläre 1507
 Zystennieren 1428, 1664
 Zytomegalie, serologische Diagnostik bei Nierentransplantatierten 1222
 Zytostatika, Induktion erhöhter Fibrinopeptid-A-Plasmaspiegel 1823

